

Г. Н. Яковенко

КРАТКИЙ КУРС  
ТЕОРЕТИЧЕСКОЙ МЕХАНИКИ

2005

УДК 531(075.8)

ББК 22.21

Я47

Издание осуществлено при поддержке Российского фонда  
фундаментальных исследований по проекту 02-01-00697 и  
Совета Программ поддержки ведущих научных школ  
по гранту НШ-2094-2003.1

Рецензенты:

кафедра прикладной математики

Нижегородского государственного университета,  
член-корреспондент РАН, д.ф.-м.н Ю.Н. Павловский

**Яковенко Г.Н.**

Я47 Краткий курс теоретической механики / Г.Н. Яковенко — 2005.  
ISBN 5-94774-124-5

Курс посвящён изложению первоначальных сведений по теоретической механике. Курс содержит два раздела: кинематика и динамика. В разделе кинематики кроме традиционных вопросов в отдельной главе обсуждается теория скользящих векторов. В разделе динамики рассмотрено движение систем переменного состава. Особое внимание уделено кватернионному описанию движения твёрдого тела.

Курс предназначен для студентов, аспирантов и преподавателей университетов, физико-технических и инженерно-физических вузов. Он будет полезен студентам технических вузов при изучении теоретической механики, а также специалистам, желающим углубить и расширить свои знания в области механики.

**УДК 531(075.8)**

**ББК 22.21**

Рисунки А.Р. Шакурова

ISBN 5-94774-124-5

© Г.Н. Яковенко, 2005

# ОГЛАВЛЕНИЕ

Введение .....	5
----------------	---

## КИНЕМАТИКА

### Глава 1. Кинематика точки

§ 1. Траектория, скорость, ускорение .....	6
§ 2. Декартовы координаты .....	10
§ 3. Криволинейные (обобщённые) координаты .....	12

### Глава 2. Кинематика твёрдого тела

§ 4. Угловая скорость. Скорости точек твёрдого тела .....	16
§ 5. Угловое ускорение. Ускорения точек твёрдого тела .....	20
§ 6. Примеры вычисления угловой скорости и углового ускорения ...	22

### Глава 3. Сложное движение

§ 7. Скорость и ускорение точки в сложном движении .....	25
§ 8. Полярные координаты .....	28
§ 9. Угловая скорость и угловое ускорение тела в сложном движении .....	31
§ 10. Регулярная прецессия .....	33
§ 11. Сложение вращений твёрдого тела .....	37

### Глава 4. Скользящие векторы

§ 12. Эквивалентные преобразования и их инварианты .....	42
§ 13. Приведение множества скользящих векторов к винту. Эквивалентность двух множеств скользящих векторов .....	47
§ 14. Статико-кинематические аналогии. Примеры приведения к винту .....	51

# ДИНАМИКА

## Глава 5. Основные законы динамики в инерциальных и неинерциальных системах отсчёта

§ 15. Динамика материальной точки .....	54
§ 16. Система материальных точек. Закон изменения импульса .....	57
§ 17. Закон изменения момента импульса. Динамика плоского движения .....	60
§ 18. Закон изменения кинетической энергии .....	64
§ 19. Потенциальные силы.	
Закон изменения полной механической энергии .....	69

## Глава 6. Движение материальной точки по воздействием центральной силы

§ 20. Уравнения движения .....	72
§ 21. Потенциальный случай. Движение в поле всемирного тяготения .....	75
§ 22. Взаимное тяготение двух и трёх точек .....	79

## Глава 7. Динамика системы переменного состава

§ 23. Законы изменения импульса, момента импульса, кинетической энергии .....	81
§ 24. Поступательное движение тела переменного состава.	
Реактивное движение .....	83
§ 25. Вращение тела переменного состава вокруг неподвижной оси.	
Вытекание жидкости из подвижной цистерны .....	85

## Глава 8. Задание положения твёрдого тела

§ 26. Матрица поворота. Углы Эйлера .....	88
§ 27. Алгебра кватернионов .....	92
§ 28. Сложение поворотов. Параметры Родрига–Гамильтона .....	95
§ 29. Кинематические уравнения в параметрах Родрига–Гамильтона .....	100

## Глава 9. Динамика твёрдого тела

§ 30. Геометрия масс .....	102
§ 31. Кинетическая энергия и кинетический момент при движении твёрдого тела с неподвижной точкой .....	107
§ 32. Динамические уравнения Эйлера .....	110
§ 33. Случай Эйлера. Регулярная прецессия в случае Эйлера .....	112
§ 34. Случай Эйлера. Интерпретация Пуансо .....	116
§ 35. Вынужденная регулярная прецессия тела с динамической симметрией. Регулярная прецессия в случае Лагранжа .....	118
§ 36. Свободное движение твёрдого тела .....	120

## Литература .....

# ВВЕДЕНИЕ

Рассматривается **конечномерная механическая система**, состоящая из конечного числа **материальных точек** и конечного числа **твёрдых тел**. Каждый представитель системы — точка или тело — совершает движение и испытывает воздействие извне. Соответственно, механика состоит из трёх разделов. Первый — **кинематика** — изучает движение вне зависимости от причин его возникновения. Второй — **статика** — изучает взаимодействие с внешней средой и характеристики этого взаимодействия. В настоящем курсе раздел статики специально не выделен и вопросы, связанные с ним, подробно не рассматриваются. Наконец, третий раздел — **динамика** — изучает связь движения и воздействия извне.

Механическая система движется в трехмерном евклидовом пространстве — **системе отсчёта**. Предполагается, что есть возможность различать и называть точки пространства.

Теоретическая механика строится аксиоматически. Некоторые утверждения — аксиомы, постулаты, законы, начала — принимаются за истину. Они будут формулироваться по мере необходимости. Прочие утверждения следуют из аксиом (правильные) или аксиомам противоречат (неправильные).

Нестандартные обозначения объяснены в тексте.

Предполагается, что

- функции, участвующие в построениях, — достаточно гладкие;
- рассуждения, определения, утверждения — локальны.

Продолжение настоящего “Краткого курса...” в “Кратком курсе...” [15].

“Движене — счасти-и-е моё, движе-е-нье...”

“В путь”, из цикла “Прекрасная мельничиха”,  
Опус 25, 1823 год

Музыка Франца Шуберта, стихи Вильгельма Мюллера

# КИНЕМАТИКА

## ГЛАВА 1 КИНЕМАТИКА ТОЧКИ

### § 1. ТРАЕКТОРИЯ, СКОРОСТЬ, УСКОРЕНИЕ

**Определение 1.1.** Материальная точка — геометрическая точка, которой поставлено в соответствие положительное число  $m$  — масса.

В системе отсчёта фиксируется точка  $O$ , а положение материальной точки  $A$  в каждый момент времени  $t$  определяется радиус-вектором  $\mathbf{r}$ : начальная точка радиус-вектора  $\mathbf{r}$  в точке  $O$ , материальная точка  $A$  совпадает с конечной точкой  $\mathbf{r}$ . Задать движение материальной точки  $A$  — задать тем или иным способом вектор-функцию  $\mathbf{r}(t)$ . Вектор-функция  $\mathbf{r}(t)$  определяет три кинематические характеристики движущейся точки: траекторию, скорость, ускорение.

**Определение 1.2.** Траектория материальной точки — годограф радиус-вектора  $\mathbf{r}(t)$ .

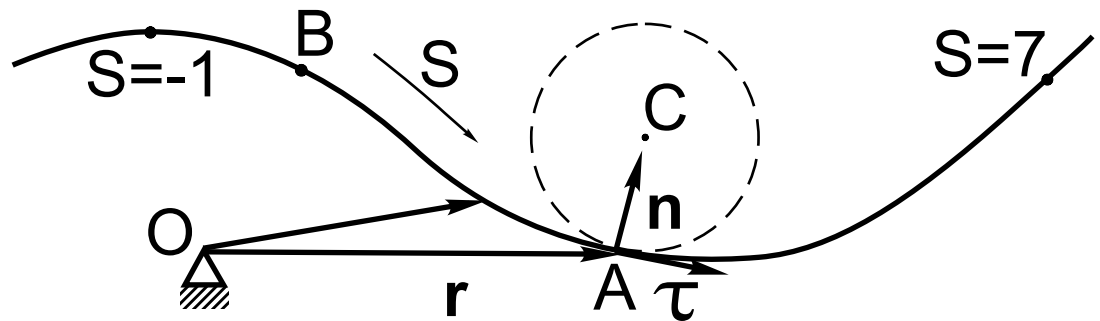


Рис. 1.1

Введём геометрические характеристики траектории [13, § 22]. Фиксируем на траектории точку  $B$ , от которой вычисляется длина дуги  $s$ , и направление положительного отсчёта дуги (рис. 1.1). Таким образом, каждой точке  $A$  траектории ставится в соответствие число  $s$  (положительное или отрицательное) — расстояние по траектории между точками  $A$  и  $B$ . Радиус-вектор, проведённый к некоторой точке траектории, также становится функцией длины дуги  $s$ :  $\mathbf{r}(s)$ . По этой функции вычисляются орты **相伴隨三邊向量**.

### Орт касательной

$$\tau = \frac{d\mathbf{r}}{ds}. \quad (1.1)$$

Подчеркнём, что  $\tau$  — орт:

$$(\tau, \tau) = 1 \quad (1.2)$$

(здесь и далее используются обозначения:  $(\cdot, \cdot)$  — скалярное произведение векторов,  $[\cdot, \cdot]$  — векторное). Орт  $\tau$  располагается на касательной к траектории и направлен в сторону увеличения длины дуги.

### Орт нормали. Вводится вектор кривизны

$$\mathbf{K} = \frac{d\tau}{ds} = \frac{d^2\mathbf{r}}{ds^2}, \quad (1.3)$$

который характеризует скорость поворота орта касательной. Орт нормали  $\mathbf{n}$  — орт, задающий направление вектора кривизны:

$$\mathbf{K} = \frac{d\tau}{ds} = K\mathbf{n} = \frac{1}{\rho}\mathbf{n}, \quad K = \frac{1}{\rho}. \quad (1.4)$$

Вместо величины  $K$  кривизны удобно использовать **радиус кривизны**  $\rho$  — радиус окружности, аппроксимирующей траекторию в данной точке (рис. 1.1). Центр  $C$  этой окружности называется **центром кривизны**. Орт  $\mathbf{n}$  направлен к центру кривизны  $C$ . Из (1.2) — (1.4) следует ортогональность ортов  $\tau$  и  $\mathbf{n}$ :

$$0 = \frac{d}{ds}(\tau, \tau) = 2\left(\frac{d\tau}{ds}, \tau\right) = 2(\mathbf{K}, \tau) = 2\frac{1}{\rho}(\mathbf{n}, \tau).$$

Вместо термина “орт нормали” используется также термин “орт главной нормали”.

**Орт бинормали**  $\mathbf{b}$  вводится так, чтобы три вектора  $\{\tau, \mathbf{n}, \mathbf{b}\}$  —相伴隨三邊向量 — представляли собой правый ортонормированный базис:  $\mathbf{b} = [\tau, \mathbf{n}]$ .

Одним из способов задания движения материальной точки —  $\mathbf{r}(t)$  — является задание траектории  $\mathbf{r}(s)$  и движения по ней  $s(t)$ .

**Определение 1.3.** Скорость материальной точки определяется следующим образом

$$\mathbf{V} = \frac{d\mathbf{r}}{dt} = \dot{\mathbf{r}}. \quad (1.5)$$

Из формул (1.5) и (1.1) следует

$$\mathbf{V} = \frac{d\mathbf{r}}{dt} = \frac{d\mathbf{r}}{ds} \frac{ds}{dt} = \boldsymbol{\tau} \frac{ds}{dt} = V \boldsymbol{\tau}, \quad (1.6)$$

то есть, во-первых, скорость  $\mathbf{V}$  направлена по касательной к траектории, во-вторых, величина скорости  $V$  равна производной по времени  $t$  от пройденного пути:

$$V = \frac{ds}{dt}. \quad (1.7)$$

Определение 1.3 скорости открывает возможность вычислять производные от времени от векторов  $\mathbf{a}(t)$  разной природы.

**Теорема 1.1 (А. Резаль)** [1, 10] Пусть  $A$  и  $B$  начальная и конечная точки вектора  $\mathbf{a}(t) = \overrightarrow{AB}$ . Справедлива следующая формула

$$\frac{d\mathbf{a}}{dt} = \dot{\mathbf{a}} = \mathbf{V}_B - \mathbf{V}_A. \quad (1.8)$$

□ Введём неподвижную в системе отсчёта точку  $O$  и отложим от неё радиус-векторы  $\mathbf{r}_A$  и  $\mathbf{r}_B$ , проведённые к точкам  $A$  и  $B$  (рис. 1.2). Утверждение (1.8) теоремы следует из определения 1.3 и формул

$$\mathbf{a} = \mathbf{r}_B - \mathbf{r}_A, \quad \dot{\mathbf{a}} = \dot{\mathbf{r}}_B - \dot{\mathbf{r}}_A = \mathbf{V}_B - \mathbf{V}_A. \blacksquare$$

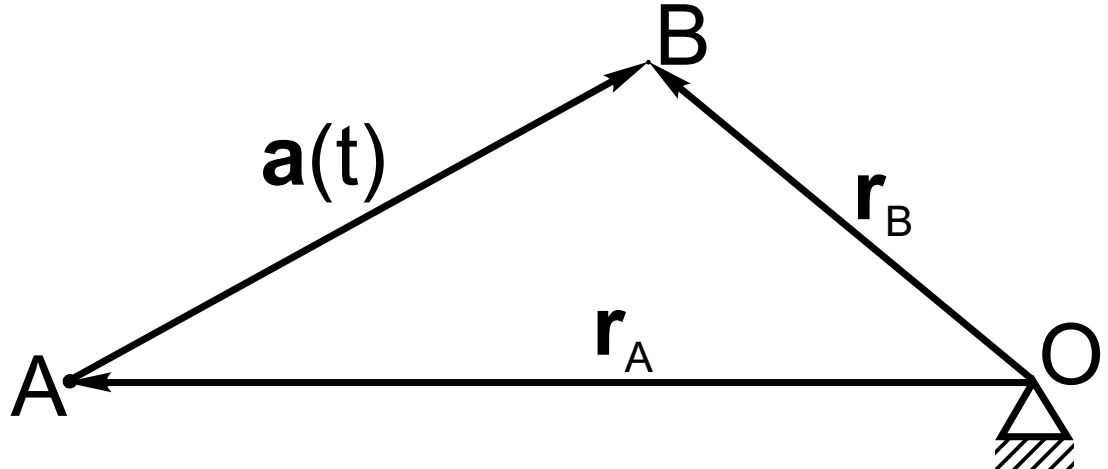


Рис. 1.2

**Определение 1.4.** Ускорение материальной точки определяется следующим образом

$$\mathbf{W} = \frac{d\mathbf{V}}{dt} = \dot{\mathbf{V}} = \frac{d^2\mathbf{r}}{dt^2} = \ddot{\mathbf{r}}. \quad (1.9)$$

Из формул (1.6) и (1.9) следует

$$\mathbf{W} = \frac{d\mathbf{V}}{dt} = \frac{d(V\boldsymbol{\tau})}{dt} = \frac{dV}{dt}\boldsymbol{\tau} + V\frac{d\boldsymbol{\tau}}{dt}.$$

Вычисления с учётом (1.4) и (1.7)

$$\frac{d\boldsymbol{\tau}}{dt} = \frac{d\boldsymbol{\tau}}{ds} \frac{ds}{dt} = \frac{\mathbf{n}}{\rho} V$$

приводят к результату

$$\mathbf{W} = \frac{dV}{dt}\boldsymbol{\tau} + \frac{V^2}{\rho}\mathbf{n} = \mathbf{W}_\tau + \mathbf{W}_n : \quad (1.10)$$

разложению ускорения  $\mathbf{W}$  по ортам сопровождающего трёхгранника. Компоненты разложения называются:  **$\mathbf{W}_\tau$  — касательное или тангенциальное ускорение,  $\mathbf{W}_n$  — нормальное ускорение**, — и имеют величины

$$W_\tau = \frac{dV}{dt}, \quad W_n = \frac{V^2}{\rho}. \quad (1.11)$$

Так как векторы  $\boldsymbol{\tau}$  и  $\mathbf{n}$  ортогональны, справедливо равенство

$$W^2 = W_\tau^2 + W_n^2. \quad (1.12)$$

## § 2. ДЕКАРТОВЫ КООРДИНАТЫ

Одна из возможностей именовать точки системы отсчёта (см. введение) — задание правого ортонормированного базиса: в пространстве фиксируются такие четыре точки:  $O, A_1, A_2, A_3$ , что для базисных векторов  $\mathbf{i}_k = \overrightarrow{OA_k}$  справедливо равенство

$$(\mathbf{i}_k, \mathbf{i}_l) = \delta_{kl} = \begin{cases} 1, & k = l, \\ 0, & k \neq l. \end{cases} \quad (2.1)$$

“Фамилия, имя, отчество” произвольной точки  $B$  — коэффициенты  $x_k = (\mathbf{r}, \mathbf{i}_k)$  разложения радиус-вектора  $\mathbf{r} = \overrightarrow{OB}$  по базису  $\mathbf{i}_k$ :  $\mathbf{r} = \sum_{k=1}^3 x_k \mathbf{i}_k$  (рис. 2.1). Далее числа  $x_1, x_2, x_3$  для краткости называются декартовыми координатами (вместо “прямоугольные декартовы”).

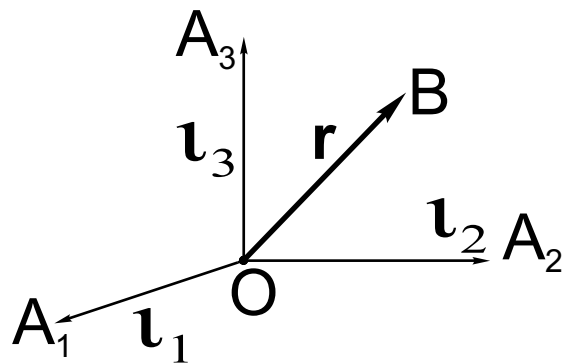


Рис. 2.1

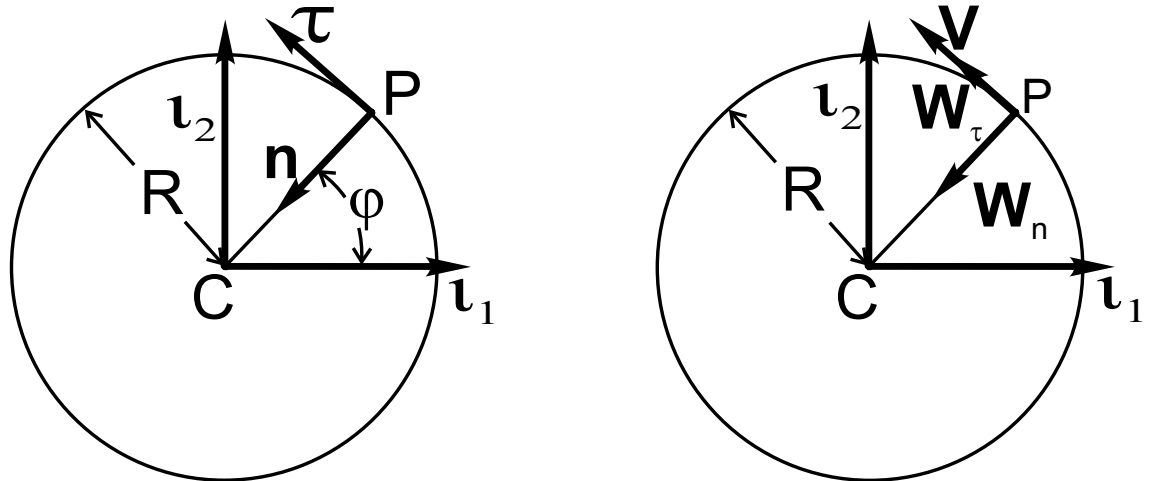


Рис. 2.2

С применением декартовых координат проиллюстрируем понятия, введённые в § 1.

**Пример 2.1.** Точка P совершает движение по окружности радиуса  $R$  (рис. 2.2). Положение точки определяет радиус-вектор  $\mathbf{r} = \overline{CP} = R(\mathbf{i}_1 \cos \varphi + \mathbf{i}_2 \sin \varphi)$ , где  $\varphi$  — угол между векторами  $\mathbf{r}$  и  $\mathbf{i}_1$ . Длина дуги  $\widehat{OP}$  равна  $s = R\varphi$ , откуда следует равенство  $\varphi = s/R$ . По формуле (1.1) вычисляется орт касательной

$$\boldsymbol{\tau} = \frac{d\mathbf{r}}{ds} = \frac{d\mathbf{r}}{d\varphi} \frac{d\varphi}{ds} = -\mathbf{i}_1 \sin \varphi + \mathbf{i}_2 \cos \varphi.$$

По формуле (1.3) вычисляется вектор кривизны

$$\mathbf{K} = \frac{d\boldsymbol{\tau}}{ds} = \frac{d\boldsymbol{\tau}}{d\varphi} \frac{d\varphi}{ds} = -\frac{1}{R}(\mathbf{i}_1 \cos \varphi + \mathbf{i}_2 \sin \varphi) = -\frac{1}{R}\mathbf{n},$$

откуда следуют выражения для радиуса кривизны  $\rho$  и орта нормали  $\mathbf{n}$ :

$$\rho = R, \quad \mathbf{n} = -(\mathbf{i}_1 \cos \varphi + \mathbf{i}_2 \sin \varphi).$$

По формуле (1.5) скорость точки равна

$$\mathbf{V} = \dot{\mathbf{r}} = R\dot{\varphi}(-\mathbf{i}_1 \sin \varphi + \mathbf{i}_2 \cos \varphi) = R\dot{\varphi}\boldsymbol{\tau},$$

а величина скорости при движении точки по окружности равна  $V = R\dot{\varphi}$ . По формуле (1.9) ускорение точки равно

$$\mathbf{W} = \dot{\mathbf{V}} = R\ddot{\varphi}(-\mathbf{i}_1 \sin \varphi + \mathbf{i}_2 \cos \varphi) - R\dot{\varphi}^2(\mathbf{i}_1 \cos \varphi + \mathbf{i}_2 \sin \varphi) = R\ddot{\varphi}\boldsymbol{\tau} + R\dot{\varphi}^2\mathbf{n},$$

а величины касательного и нормального ускорений при движении точки по окружности равны  $W_\tau = R\ddot{\varphi}$ ,  $W_n = R\dot{\varphi}^2$ .

### § 3. КРИВОЛИНЕЙНЫЕ (ОБОБЩЕННЫЕ) КООРДИНАТЫ

Положение материальной точки в системе отсчёта определяется положением радиус-вектора  $\mathbf{r}$ , начальная точка которого неподвижна, а конечная точка совпадает с материальной точкой. Положение радиус-вектора в трёхмерном пространстве можно задавать тремя числами:  $\mathbf{r}(q_1, q_2, q_3)$ .

**Определение 2.1.** Числа  $q_1, q_2, q_3$  называются **криволинейными (обобщенными) координатами** при выполнении двух условий.

1. Три числа  $q_1, q_2, q_3$  находятся в взаимно однозначном соответствии с любым положением точки в системе отсчёта.

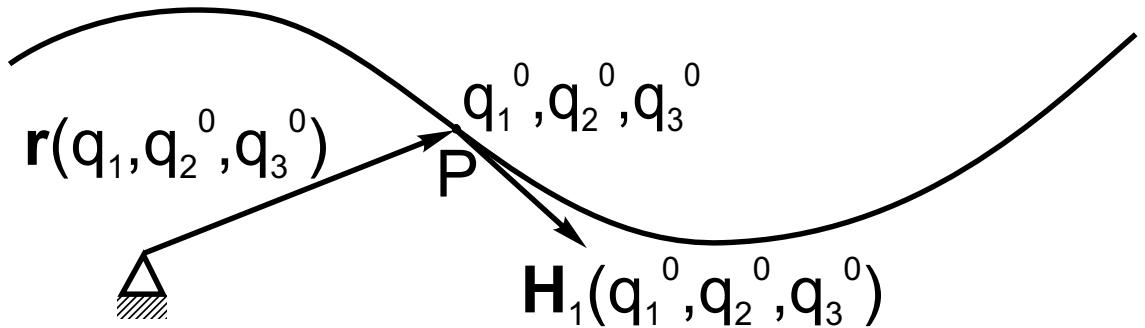


Рис. 3.1

2. Фиксируем точку  $q_1^0, q_2^0, q_3^0$  в системе отсчёта. Две координаты  $q_2^0, q_3^0$  оставим фиксированными, а одной  $q_1$  дозволим изменяться. Конечная точка радиус-вектора  $\mathbf{r}(q_1, q_2^0, q_3^0)$  прочертит кривую, которая называется **координатной линией**, соответствующей координате  $q_1$  (рис. 3.1). Вектор  $\mathbf{H}_1(q) = \partial \mathbf{r}(q)/\partial q_1$  – **касательный вектор к координатной линии** (здесь и в подобных случаях используется обозначение  $q = (q_1, q_2, q_3)$ ). Аналогично строятся другие координатные линии и касательные векторы к ним

$$\mathbf{H}_i(q) = \frac{\partial \mathbf{r}(q)}{\partial q_i}. \quad (3.1)$$

Второе условие требует линейную независимость касательных векторов  $\mathbf{H}_1(q), \mathbf{H}_2(q), \mathbf{H}_3(q)$  в каждой точке  $q$  системы отсчёта.

При выполнении условий 1 и 2 три вектора  $\mathbf{H}_1(q), \mathbf{H}_2(q), \mathbf{H}_3(q)$  образуют в каждой точке системы отсчёта **локальный базис**, соответствующий конкретным криволинейным координатам. Скалярные функции

$$H_i(q) = |\mathbf{H}_i(q)| \quad (3.2)$$

называются **коэффициентами Ламе**, криволинейные координаты, для которых выполняется

$$(\mathbf{H}_i, \mathbf{H}_k) = 0, \quad i \neq k, \quad (3.3)$$

называются ортогональной системой координат.

Задать движение  $\mathbf{r}(t)$  материальной точки в криволинейных координатах это, во-первых, задать связь  $\mathbf{r}(q)$  положения точки в системе отсчёта с координатами  $q$ , во-вторых, определить изменение координат  $q(t)$  во времени  $t$ . Если обе зависимости заданы, скорость точки равна

$$\mathbf{V}(q, \dot{q}) = \sum_{i=1}^3 \frac{\partial \mathbf{r}(q)}{\partial q_i} \dot{q}_i = \sum_{i=1}^3 \mathbf{H}_i(q) \dot{q}_i \quad (3.4)$$

— использовано обозначение (3.1). Для величины скорости из (3.4) следует

$$V^2(q, \dot{q}) = (\mathbf{V}, \mathbf{V}) = \sum_{i,k=1}^3 (\mathbf{H}_i(q), \mathbf{H}_k(q)) \dot{q}_i \dot{q}_k. \quad (3.5)$$

Для ортогональных систем координат (см. (3.2), (3.3)) формула (3.5) упрощается:

$$V^2(q, \dot{q}) = \sum_{i=1}^3 H_i^2(q) \dot{q}_i^2. \quad (3.6)$$

Из выражения (3.4) следует

$$\frac{\partial \mathbf{V}}{\partial \dot{q}_i} = \frac{\partial \mathbf{r}}{\partial q_i} \quad (3.7)$$

( $q_i$  и  $\dot{q}_i$  — независимые переменные). Выражение (3.4) влечёт также формулу

$$\frac{\partial \mathbf{V}}{\partial q_i} = \frac{d}{dt} \frac{\partial \mathbf{r}}{\partial q_i}, \quad (3.8)$$

для обоснования которой сравнивается результат вычисления производной по  $t$  в правой части формулы (3.8) с результатом дифференцирования по  $q_k$  выражения (3.4).

С учётом обозначений (1.9), (3.1), формул (3.7), (3.8) и правила дифференцирования произведения выведем соотношение

$$(\mathbf{H}_i, \mathbf{W}) = \frac{d}{dt} \frac{\partial}{\partial \dot{q}_i} \left( \frac{V^2(q, \dot{q})}{2} \right) - \frac{\partial}{\partial q_i} \left( \frac{V^2(q, \dot{q})}{2} \right) \quad (3.9)$$

для ускорения  $\mathbf{W}$  точки:

$$\begin{aligned} (\mathbf{H}_i, \mathbf{W}) &= \left( \frac{\partial \mathbf{r}}{\partial q_i}, \frac{d \mathbf{V}}{dt} \right) = \frac{d}{dt} \left( \frac{\partial \mathbf{r}}{\partial q_i}, \mathbf{V} \right) - \left( \frac{d}{dt} \frac{\partial \mathbf{r}}{\partial q_i}, \mathbf{V} \right) \stackrel{(3.7),(3.8)}{=} \\ &= \frac{d}{dt} \left( \frac{\partial \mathbf{V}}{\partial \dot{q}_i}, \mathbf{V} \right) - \left( \frac{\partial \mathbf{V}}{\partial q_i}, \mathbf{V} \right) = \frac{d}{dt} \frac{\partial}{\partial \dot{q}_i} \left( \frac{V^2}{2} \right) - \frac{\partial}{\partial q_i} \left( \frac{V^2}{2} \right). \end{aligned}$$

Последний переход есть результат очевидных вычислений ( $z$  — некоторая переменная):

$$\left( \frac{\partial \mathbf{V}}{\partial z}, \mathbf{V} \right) = \frac{1}{2} \frac{\partial}{\partial z} (\mathbf{V}, \mathbf{V}) = \frac{\partial}{\partial z} \left( \frac{V^2}{2} \right).$$

В частности, если обе части второго закона Ньютона  $m\mathbf{W} = \mathbf{F}$  (§ 15) умножить скалярно на вектор  $\mathbf{H}_i$ , ввести обозначения для кинетической энергии  $T(q, \dot{q}) = mV^2(q, \dot{q})/2$  и для обобщённой силы  $Q_i = (\mathbf{F}, \mathbf{H}_i) = (\mathbf{F}, \partial \mathbf{r}/\partial \mathbf{q}_i)$ , то с учётом формулы (3.9) получим уравнения Лагранжа

$$\frac{d}{dt} \frac{\partial T}{\partial \dot{q}_i} - \frac{\partial T}{\partial q_i} = Q_i \quad (3.10)$$

для свободной материальной точки.

Формула (3.9) определяет также проекцию ускорения  $\mathbf{W}$  на касательную к координатной линии

$$\frac{1}{H_i} (\mathbf{H}_i, \mathbf{W}) = \frac{1}{H_i} \left\{ \frac{d}{dt} \frac{\partial}{\partial \dot{q}_i} \left( \frac{V^2(q, \dot{q})}{2} \right) - \frac{\partial}{\partial q_i} \left( \frac{V^2(q, \dot{q})}{2} \right) \right\}. \quad (3.11)$$

Для ортогональной системы координат (см. (3.3)) выражения (3.11) есть коэффициенты  $W_i$  разложения ускорения  $\mathbf{W} = \sum_{i=1}^3 W_i \mathbf{e}_i$  по ортам  $\mathbf{e}_i$ , связанным с касательными к координатным линиям.

Проиллюстрируем введённые в этом параграфе понятия на примере.

**Пример 3.1.** На рис 3.2 положение точки  $P$  определено цилиндрическими координатами  $r, \varphi, z$ . Радиус-вектор раскладывается по ортонормированному базису  $\mathbf{i}, \mathbf{j}, \mathbf{k}$  следующим образом:

$$\mathbf{r} = \mathbf{i}r \cos \varphi + \mathbf{j}r \sin \varphi + \mathbf{k}z. \quad (3.12)$$

В соответствии с формулами (3.1) и (3.2) вычисляются векторы, касательные к координатным линиям, и коэффициенты Ламе:

$$\mathbf{H}_r = \frac{\partial \mathbf{r}}{\partial r} = \mathbf{i} \cos \varphi + \mathbf{j} \sin \varphi, \quad H_r = 1,$$

$$\mathbf{H}_\varphi = \frac{\partial \mathbf{r}}{\partial \varphi} = -\mathbf{i}r \sin \varphi + \mathbf{j}r \cos \varphi, \quad H_\varphi = r,$$

$$\mathbf{H}_z = \frac{\partial \mathbf{r}}{\partial z} = \mathbf{k}, \quad H_z = 1.$$

По формуле (3.4) скорость точки, движение которой задано цилиндрическими координатами  $r(t), \varphi(t), z(t)$ , равна

$$\mathbf{V} = \mathbf{H}_r \dot{r} + \mathbf{H}_\varphi \dot{\varphi} + \mathbf{H}_z \dot{z}.$$

Вычисления  $(\mathbf{H}_r, \mathbf{H}_\varphi) = 0$ ,  $(\mathbf{H}_r, \mathbf{H}_z) = 0$ ,  $(\mathbf{H}_z, \mathbf{H}_\varphi) = 0$  приводят к выводу (см. (3.3)): цилиндрические координаты являются ортогональными, вследствие чего величина скорости вычисляется по формуле (3.6):

$$V^2 = \dot{r}^2 + r^2\dot{\varphi}^2 + \dot{z}^2.$$

Учёт этого результата в соотношении (3.9) определит левые части уравнений Лагранжа (3.10):

$$m(\mathbf{H}_r, \mathbf{W}) = m(\ddot{r} - r\dot{\varphi}^2), \quad m(\mathbf{H}_\varphi, \mathbf{W}) = m(r^2\ddot{\varphi} + 2r\dot{r}\dot{\varphi}), \quad m(\mathbf{H}_z, \mathbf{W}) = m\ddot{z} \quad (3.13)$$

и проекции ускорения  $\mathbf{W}$  на касательные к координатным линиям (см. (3.11)):

$$(\mathbf{H}_r, \mathbf{W}) = \ddot{r} - r\dot{\varphi}^2, \quad (\mathbf{H}_\varphi, \mathbf{W})/r = r\ddot{\varphi} + 2\dot{r}\dot{\varphi}, \quad (\mathbf{H}_z, \mathbf{W}) = \ddot{z}.$$

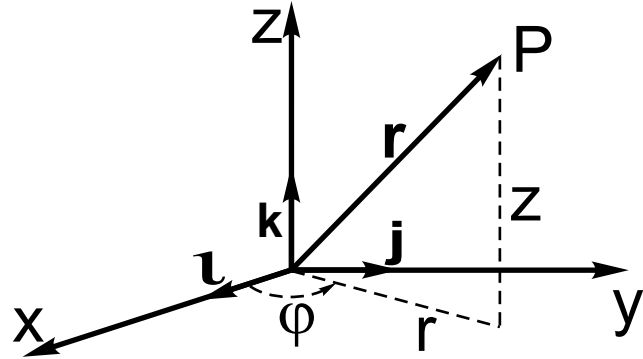


Рис. 3.2

## ГЛАВА 2

# КИНЕМАТИКА ТВЁРДОГО ТЕЛА

### § 4. УГЛОВАЯ СКОРОСТЬ. СКОРОСТИ ТОЧЕК ТВЁРДОГО ТЕЛА

**Определение 4.1.** Твёрдое тело — такая совокупность материальных точек, что расстояние между любыми двумя неизменно.

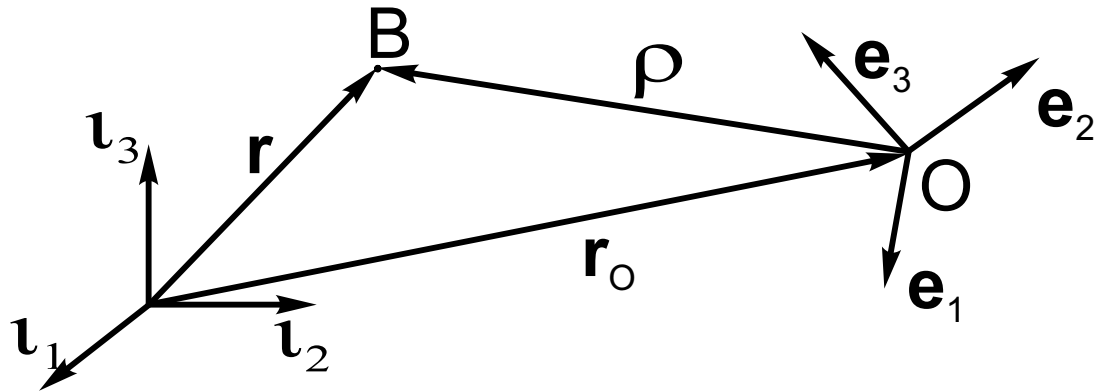


Рис. 4.1

Твёрдое тело совершает движение в системе отсчёта, с которой связан ортонормированный базис  $\mathbf{i}_1, \mathbf{i}_2, \mathbf{i}_3$  (см. (2.1), рис. 2.1 и рис. 4.1). Так как в кинематике нет масс, а есть только геометрические точки, под твёрдым телом удобно подразумевать абсолютно жёсткое трёхмерное пространство. Выделим в теле точку  $O$  и с началом в ней правый ортонормированный базис  $\mathbf{e}_1, \mathbf{e}_2, \mathbf{e}_3$  (рис. 4.1), для представителей которого выполняется

$$(\mathbf{e}_k, \mathbf{e}_l) = \delta_{kl}. \quad (4.1)$$

Дифференцирование (4.1) по времени  $t$  приводит результату

$$(\dot{\mathbf{e}}_k, \mathbf{e}_l) = -(\mathbf{e}_k, \dot{\mathbf{e}}_l). \quad (4.2)$$

Задать движение твёрдого тела — задать тем или иным способом вектор-функции  $\mathbf{r}_0(t), \mathbf{e}_1(t), \mathbf{e}_2(t), \mathbf{e}_3(t)$  (рис. 4.1). Убедимся, что этой информации достаточно для определения движения любой точки тела  $B$ . Конкретная точка тела именуется координатами  $y_k$  разложения

$$\boldsymbol{\rho} = \sum_{k=1}^3 y_k \mathbf{e}_k, \quad y_k = \text{const} \quad (4.3)$$

радиус–вектора  $\rho = \overline{OB}$  по ортам  $\mathbf{e}_1, \mathbf{e}_2, \mathbf{e}_3$ , связанным с телом. Поведение точки относительно системы отсчёта задаётся формулой (рис. 4.1)

$$\mathbf{r} = \mathbf{r}_0 + \rho = \mathbf{r}_0 + \sum_{k=1}^3 y_k \mathbf{e}_k, \quad (4.4)$$

в правой части которой находятся информация  $\mathbf{r}_0(t), \mathbf{e}_1(t), \mathbf{e}_2(t), \mathbf{e}_3(t)$  о движении тела и “фамилия, имя, отчество” —  $y_1, y_2, y_3$  — точки  $B$ .

Для вычисления скорости точки  $B$  тела продифференцируем по  $t$  формулу (4.4):

$$\dot{\mathbf{V}} = \dot{\mathbf{r}}_0 + \dot{\rho} = \mathbf{V}_0 + \sum_{k=1}^3 y_k \dot{\mathbf{e}}_k. \quad (4.5)$$

Из (4.5) видно, что для нахождения скорости произвольной точки требуется дополнительно знать три вектора  $\dot{\mathbf{e}}_1, \dot{\mathbf{e}}_2, \dot{\mathbf{e}}_3$ . Как показывает следующая лемма, на самом деле дополнительно требуется знать один вектор: угловую скорость  $\omega$ .

**Лемма 4.1.** В любой момент времени  $t$  существует такой единственный вектор  $\omega$  (угловая скорость), что для каждого базисного вектора  $\mathbf{e}_k$  выполняется соотношение

$$\dot{\mathbf{e}}_k = [\omega, \mathbf{e}_k], \quad k = 1, 2, 3. \quad (4.6)$$

В качестве  $\omega$  можно взять

$$\omega = \frac{1}{2} \sum_{i=1}^3 [\mathbf{e}_i, \dot{\mathbf{e}}_i]. \quad (4.7)$$

□ Для обоснования существования нужно подставить (4.7) в правую часть (4.6), раскрыть двойное векторное произведение и использовать (4.1), (4.2):

$$\begin{aligned} [\omega, \mathbf{e}_k] &= \frac{1}{2} \sum_{i=1}^3 [[\mathbf{e}_i, \dot{\mathbf{e}}_i], \mathbf{e}_k] = \frac{1}{2} \sum_{i=1}^3 \{\dot{\mathbf{e}}_i(\mathbf{e}_i, \mathbf{e}_k) - \mathbf{e}_i(\dot{\mathbf{e}}_i, \mathbf{e}_k)\} = \\ &= \frac{1}{2} \sum_{i=1}^3 \{\dot{\mathbf{e}}_i \delta_{ik} + (\mathbf{e}_i, \dot{\mathbf{e}}_k) \mathbf{e}_i\} = \frac{1}{2} (\dot{\mathbf{e}}_k + \dot{\mathbf{e}}_k) = \dot{\mathbf{e}}_k. \end{aligned}$$

При вычислении учтено свойство разложения вектора по ортонормированному базису:  $\mathbf{a} = \sum_{i=1}^3 a_i \mathbf{e}_i = \sum_{i=1}^3 (\mathbf{e}_i, \mathbf{a}) \mathbf{e}_i$ .

Для доказательства единственности предполагаем, что существует два вектора  $\omega_1, \omega_2$ , удовлетворяющие условию (4.6) леммы, вычитаем выражения (4.6), в которые подставлены  $\omega_1$  и  $\omega_2$ , получаем уравнение

$$[\omega_1 - \omega_2, \mathbf{e}_k] = 0, \quad k = 1, 2, 3,$$

справедливое только при  $\omega_1 = \omega_2$ . ■

**Лемма 4.2.** В любой момент времени  $t$  существует такой единственный вектор  $\omega$  (угловая скорость), что для любого вектора  $\rho = \overline{OB}$ , связанного с телом, справедливо

$$\dot{\rho} = [\omega, \rho]. \quad (4.8)$$

□ Лемма доказывается дифференцированием с учетом (4.6) формулы (4.3):

$$\dot{\rho} = \sum_{k=1}^3 y_k \dot{\mathbf{e}}_k = \sum_{k=1}^3 y_k [\omega, \mathbf{e}_k] = [\omega, \sum_{k=1}^3 y_k \mathbf{e}_k] = [\omega, \rho]. \quad (4.9)$$

■

**Теорема 4.1 (об угловой скорости).** В любой момент времени  $t$  существует такой единственный вектор  $\omega$  (угловая скорость), что скорости любых двух точек  $O$  и  $B$  твердого тела связаны соотношением

$$\mathbf{V}_B = \mathbf{V}_O + [\omega, \rho], \quad (4.10)$$

где  $\rho = \overline{OB}$ .

□ Теорема доказывается дифференцированием по времени  $t$  с учетом (4.8) выражения (4.4). ■

**Следствие.** Если для скорости точки  $O$  тела выполняется  $\mathbf{V}_O = 0$ , то скорость любой другой точки  $B$  твердого тела равна

$$\mathbf{V}_B = [\omega, \mathbf{r}], \quad (4.11)$$

где  $\mathbf{r} = \overline{OB}$ . Такое движение названо в § 11 чистым вращением.

**Определение 4.2.** Угловой скоростью твёрдого тела называется вектор  $\omega$ , связывающий скорости любых двух точек  $O$  и  $B$  тела формулой (4.10).

Отметим, что угловая скорость  $\omega$  тела — свободный вектор: у него есть величина, есть направление, но нет точки приложения.

Формула (4.10) показывает, что для вычисления скорости  $\mathbf{V}_B$  произвольной точки тела — распределения скоростей в теле — требуется знать скорость  $\mathbf{V}_O$  некоторой фиксированной точки  $O$  тела и его угловую скорость  $\omega$  (рис. 4.2).

Сформулируем и докажем полезный для приложений результат.

**Теорема 4.2.** Угловая скорость  $\omega$  раскладывается по ортонормированному базису  $\mathbf{e}_1, \mathbf{e}_2, \mathbf{e}_3$ , связанному с телом, следующим образом:

$$\omega = \sum_{i=1}^3 \omega_i \mathbf{e}_i,$$

$$\omega_1 = (\dot{\mathbf{e}}_2, \mathbf{e}_3) = -(\mathbf{e}_2, \dot{\mathbf{e}}_3), \quad \omega_2 = (\dot{\mathbf{e}}_3, \mathbf{e}_1) = -(\mathbf{e}_3, \dot{\mathbf{e}}_1), \quad (4.12)$$

$$\omega_3 = (\dot{\mathbf{e}}_1, \mathbf{e}_2) = -(\mathbf{e}_1, \dot{\mathbf{e}}_2).$$

□ Проведем доказательство для  $\omega_1$ :

$$\omega_1 = (\mathbf{e}_1, \boldsymbol{\omega}) = ([\mathbf{e}_2, \mathbf{e}_3], \boldsymbol{\omega}) = ([\boldsymbol{\omega}, \mathbf{e}_2], \mathbf{e}_3) = (\dot{\mathbf{e}}_2, \mathbf{e}_3) = -(\mathbf{e}_2, \dot{\mathbf{e}}_3).$$

При доказательстве использованы возможность в смешанном произведении циклически перемещать сомножители и формулы: (4.2), (4.6),  $\mathbf{e}_1 = [\mathbf{e}_2, \mathbf{e}_3]$ . ■

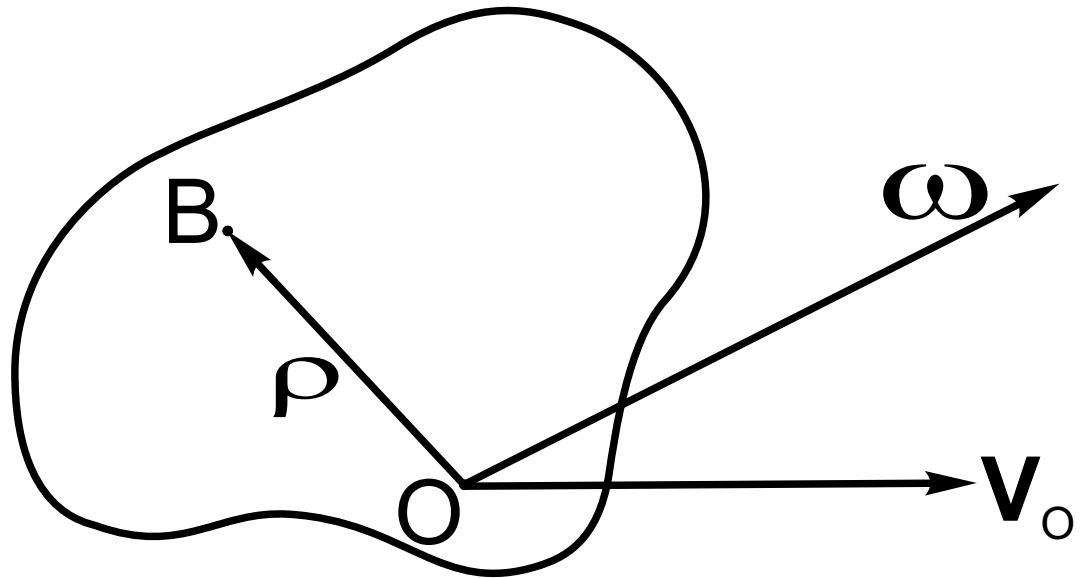


Рис. 4.2

## § 5. УГЛОВОЕ УСКОРЕНИЕ. УСКОРЕНИЯ ТОЧЕК ТВЁРДОГО ТЕЛА

**Определение 5.1.** Угловое ускорение  $\boldsymbol{\varepsilon}$  твёрдого тела следующим образом определяется через угловую скорость  $\boldsymbol{\omega}$

$$\boldsymbol{\varepsilon} = \dot{\boldsymbol{\omega}}. \quad (5.1)$$

Угловое ускорение  $\boldsymbol{\varepsilon}$ , как и угловая скорость  $\boldsymbol{\omega}$ , — свободный вектор.

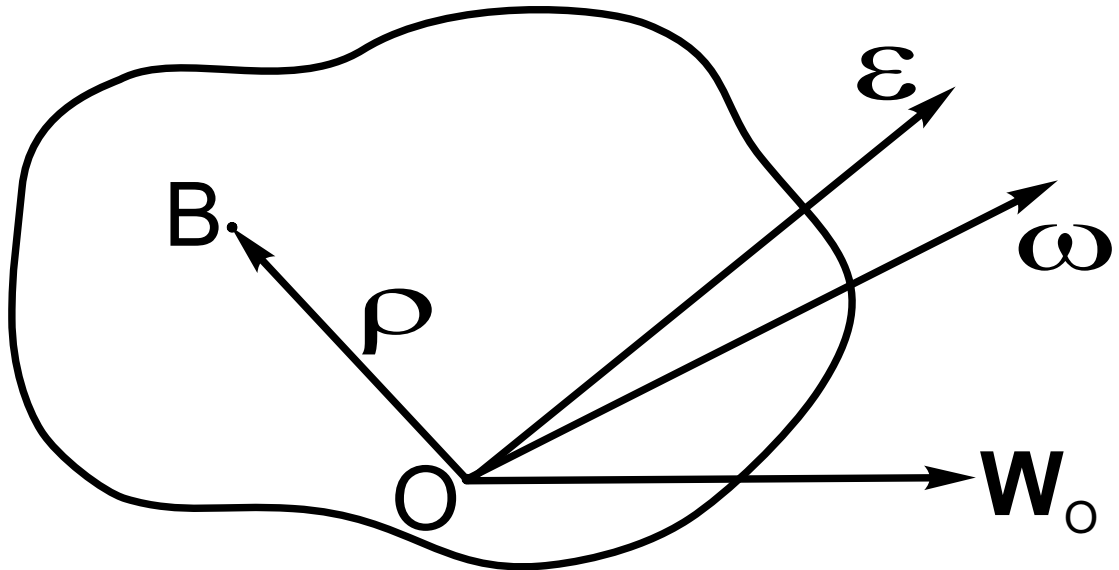


Рис. 5.1

**Теорема 5.1.** Ускорения любых двух точек  $O$  и  $B$  твердого тела связаны соотношением

$$\mathbf{W}_B = \mathbf{W}_O + [\boldsymbol{\varepsilon}, \rho] + [\boldsymbol{\omega}, [\boldsymbol{\omega}, \rho]], \quad (5.2)$$

где  $\rho = \overline{OB}$ .

□ Для доказательства нужно продифференцировать по времени  $t$  формулу (4.10), использовать определения 1.4, 5.1 и формулу (4.8). ■

**Следствие.** Если для ускорения точки  $O$  тела выполняется  $\mathbf{W}_O = 0$ , то ускорение любой другой точки  $B$  твердого тела равно (см. (4.11))

$$\mathbf{W}_B = [\boldsymbol{\varepsilon}, \mathbf{r}] + [\boldsymbol{\omega}, [\boldsymbol{\omega}, \mathbf{r}]] = [\boldsymbol{\varepsilon}, \mathbf{r}] + [\boldsymbol{\omega}, \mathbf{V}_B], \quad (5.3)$$

где  $\mathbf{r} = \overline{OB}$ .

**Определение 5.2.** Вектор  $\mathbf{W}_{bp} = [\boldsymbol{\varepsilon}, \rho]$  называется **вращательным ускорением**, вектор  $\mathbf{W}_{oc} = [\boldsymbol{\omega}, [\boldsymbol{\omega}, \rho]]$  — **осестремительным ускорением**.

Формула (5.2) показывает, что для вычисления ускорения  $\mathbf{W}_B$  произвольной точки  $B$  тела — распределения ускорений в теле — требуется знать ускорение  $\mathbf{W}_O$  некоторой фиксированной точки  $O$  тела, угловую скорость  $\boldsymbol{\omega}$  тела и его угловое ускорение  $\boldsymbol{\varepsilon}$  (рис. 5.1).

## § 6. ПРИМЕРЫ ВЫЧИСЛЕНИЯ УГОЛОВОЙ СКОРОСТИ И УГЛОВОГО УСКОРЕНИЯ

**Пример 6.1.** Прямая, связанная с телом, перемещается параллельно самой себе. Такому условию удовлетворяют практически интересные случаи движения твёрдого тела: вращение вокруг неподвижной оси, движение плоской фигуры в плоскости, винтовое движение (гайка накручивается на винт). Ортонормированные базисы  $\mathbf{i}_1, \mathbf{i}_2, \mathbf{i}_3$  и  $\mathbf{e}_1, \mathbf{e}_2, \mathbf{e}_3$ , связанные с системой отсчёта и с телом, выберем так, чтобы орт  $\mathbf{e}_3$  располагался на этой прямой, а орт  $\mathbf{i}_3$  системы отсчёта был бы этой прямой параллелен:

$$\mathbf{e}_3 = \mathbf{i}_3 = \text{const.} \quad (6.1)$$

Ортам  $\mathbf{e}_1, \mathbf{e}_2$  остаётся возможность вращаться вокруг орта  $\mathbf{e}_3 = \mathbf{i}_3$  (рис. 6.1).

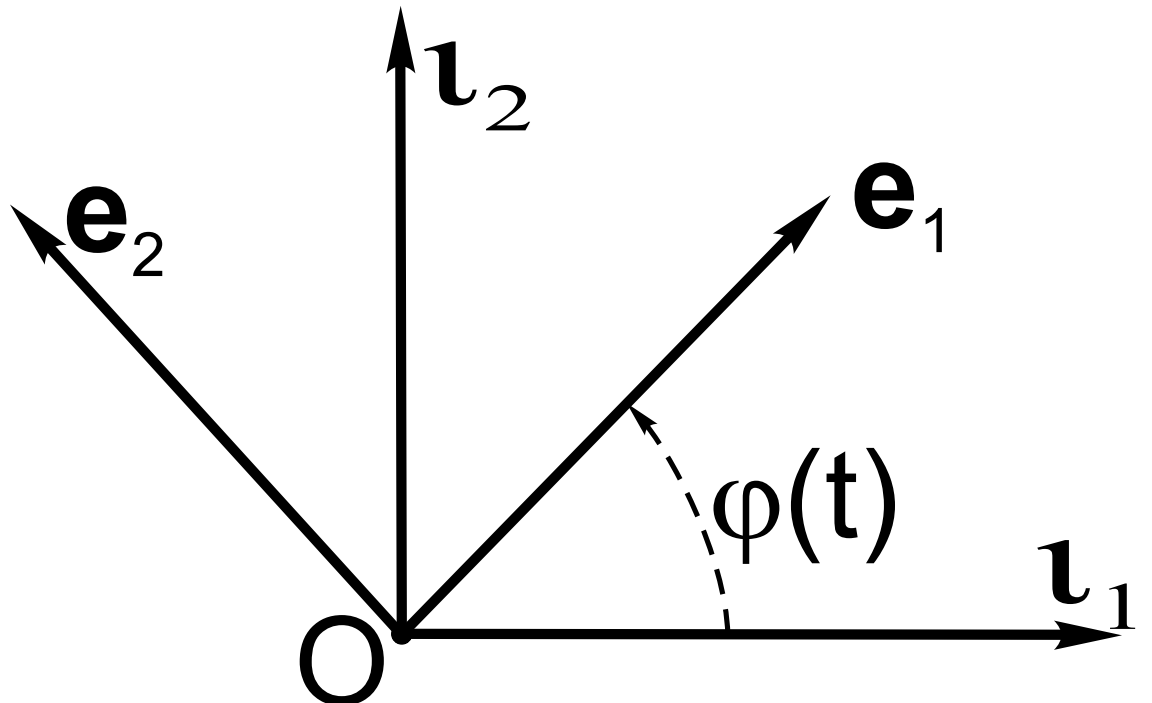


Рис. 6.1

Орты  $\mathbf{e}_1, \mathbf{e}_2$  раскладываются по неподвижным ортам  $\mathbf{i}_1, \mathbf{i}_2$  системы отсчёта следующим образом ( $\varphi$  — угол между ортами  $\mathbf{i}_1$  и  $\mathbf{e}_1$ , см. рис 6.1):

$$\begin{aligned}\mathbf{e}_1 &= \mathbf{i}_1 \cos \varphi + \mathbf{i}_2 \sin \varphi, \\ \mathbf{e}_2 &= -\mathbf{i}_1 \sin \varphi + \mathbf{i}_2 \cos \varphi.\end{aligned} \quad (6.2)$$

Дифференцирование этих выражений по времени  $t$  с учётом (6.1) приводит к результатам:

$$\begin{aligned}\dot{\mathbf{e}}_1 &= (-\mathbf{i}_1 \sin \varphi + \mathbf{i}_2 \cos \varphi)\dot{\varphi} = \mathbf{e}_2 \dot{\varphi}, \\ \dot{\mathbf{e}}_2 &= (-\mathbf{i}_1 \cos \varphi + \mathbf{i}_2 \sin \varphi)\dot{\varphi} = -\mathbf{e}_1 \dot{\varphi}.\end{aligned}\quad (6.3)$$

С учётом соотношений (6.1) — (6.3) вычислим по формуле (4.7) угловую скорость  $\boldsymbol{\omega}$  тела:

$$\boldsymbol{\omega} = \frac{1}{2} \sum_{i=1}^3 [\mathbf{e}_i, \dot{\mathbf{e}}_i] = \frac{1}{2} ([\mathbf{e}_1, \dot{\mathbf{e}}_1] + [\mathbf{e}_2, \dot{\mathbf{e}}_2]) = \frac{1}{2} ([\mathbf{e}_1, \mathbf{e}_2] - [\mathbf{e}_2, \mathbf{e}_1]) \dot{\varphi} = \dot{\varphi} \mathbf{e}_3.$$

Таким образом, в случае, когда прямая, связанная с телом, перемещается параллельно себе самой, направление угловой скорости

$$\boldsymbol{\omega} = \dot{\varphi} \mathbf{e}_3 = \omega \mathbf{e}_3 \quad (6.4)$$

совпадает с постоянным направлением  $\mathbf{e}_3 = \mathbf{i}_3$ , а величина угловой скорости равна  $\omega = \dot{\varphi}$  — производной по  $t$  угла поворота.

Угловое ускорение  $\boldsymbol{\varepsilon}$  вычисляется по формуле (5.1), исходя из выражений (6.1) и (6.4):

$$\boldsymbol{\varepsilon} = \dot{\boldsymbol{\omega}} = \ddot{\varphi} \mathbf{e}_3 = \dot{\omega} \mathbf{e}_3, \quad (6.5)$$

то есть направление углового ускорения также совпадает с постоянным направлением  $\mathbf{e}_3 = \mathbf{i}_3$ , а величина углового ускорения равна  $\varepsilon = \ddot{\varphi} = \dot{\omega}$ .

**Пример 6.2.** Прямой круговой конус равномерно катится без скольжения по плоскости (рис. 6.2). Требуется найти его угловую скорость и угловое ускорение.

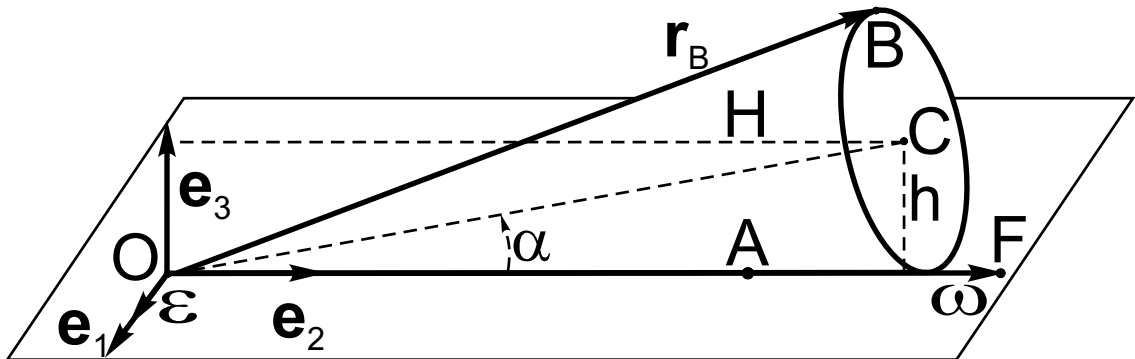


Рис. 6.2

Отсутствие скольжения означает, что каждая точка  $A$  соприкосновения конуса с плоскостью имеют нулевую скорость:  $\mathbf{V}_A = 0$ . Скорость вершины  $O$  конуса всегда равна нулю:  $\mathbf{V}_O \equiv 0$ , а скорости других точек  $B$  конуса определяются формулой (4.11):  $\mathbf{V}_B = [\boldsymbol{\omega}, \mathbf{r}]$ ,  $\mathbf{r} = \overline{OB}$ . Для точек  $A$  соприкосновения из этого результата следует:  $\mathbf{V}_A = [\boldsymbol{\omega}, \mathbf{r}] = 0$ ,  $\mathbf{r} = \overline{OA}$ , то есть направление угловой

скорости  $\boldsymbol{\omega}$  должно совпадать с линией соприкосновения:  $\boldsymbol{\omega} = \omega \mathbf{e}_2$  ( $\mathbf{e}_2$  — орт, расположенный на линии соприкосновения). Если известна скорость какой-нибудь точки конуса, например, центра  $C$  основания:  $\mathbf{V}_C$ , — то находится и величина  $\omega$  угловой скорости:  $\omega = V_C/h$ , где  $h$  — расстояние от точки  $C$  до вектора  $\boldsymbol{\omega}$ . Угловое ускорение  $\boldsymbol{\varepsilon}$  проще всего вычислить как скорость конечной точки  $F$  вектора  $\boldsymbol{\omega}$  (см. теорему 1.1):  $\boldsymbol{\varepsilon} = \dot{\boldsymbol{\omega}} = \mathbf{V}_F$ . При равномерном вращении конуса точка  $F$  есть точка твёрдого тела — плоскости  $\{\mathbf{e}_2, \mathbf{e}_3\}$ ,  $\mathbf{e}_3$  — орт, перпендикулярный плоскости качения. Скорость  $\mathbf{V}_F$  по формуле (4.11) равна  $\mathbf{V}_F = [\boldsymbol{\Omega}, \boldsymbol{\omega}]$ , где  $\boldsymbol{\Omega} = \Omega \mathbf{e}_3$  — угловая скорость плоскости  $\{\mathbf{e}_2, \mathbf{e}_3\}$ , ( $\Omega = V_C/H$ , рис. 6.2),  $\boldsymbol{\omega}$  — радиус-вектор  $\overline{OF}$ . Окончательно: угловое ускорение  $\boldsymbol{\varepsilon} = \varepsilon \mathbf{e}_1$  конуса направлено перпендикулярно плоскости  $\{\mathbf{e}_2, \mathbf{e}_3\}$  (рис. 6.2), а по величине равно  $\varepsilon = \Omega\omega = V_C^2/Hh = (V_C^2/h^2) \tan \alpha = \omega^2 \tan \alpha$  (угол  $\alpha$  указан на рис. 6.2).

## ГЛАВА 3

# СЛОЖНОЕ ДВИЖЕНИЕ

### § 7. СКОРОСТЬ И УСКОРЕНИЕ ТОЧКИ В СЛОЖНОМ ДВИЖЕНИИ

**Определение 7.1.** Сложное движение механического объекта это, когда, во-первых, задано движение трёхмерного пространства (**подвижное пространство**) относительно системы отсчёта, во-вторых, задано движение объекта относительно подвижного пространства. Характеристики движения (скорость, угловое ускорение и т. д.) относительно подвижного пространства называются характеристиками **относительного движения**, характеристики движения вместе с подвижным пространством (при остановленном относительном движении) называются характеристиками **переносного движения**, характеристики движения относительно исходной системы отсчёта называются характеристиками **абсолютного движения**.

Пусть обе составляющие (переносная и относительная) движения заданы, ставится задача определить характеристики абсолютного движения.

Для материальной точки  $B$  эта задача конкретизируется следующим образом (см. рис. 7.1, повторяющий рис. 4.1).

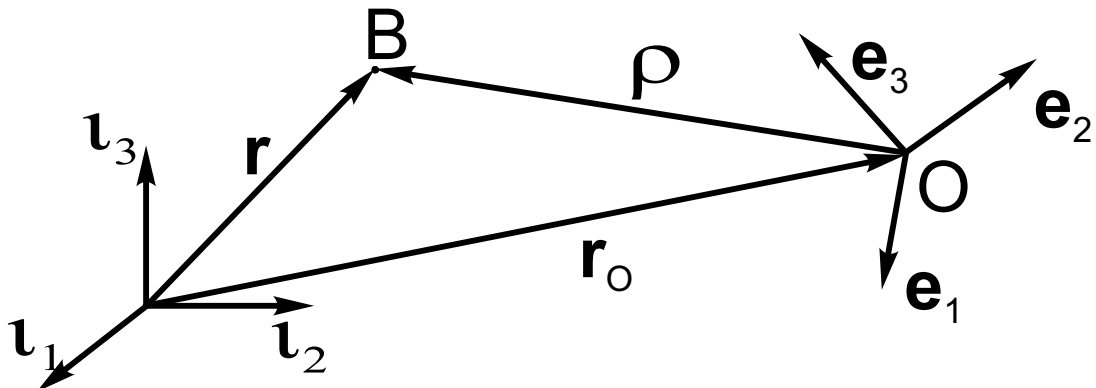


Рис. 7.1

Переносное движение — поведение подвижной системы — определяется вектор-функциями  $\mathbf{r}_0(t)$ ,  $\mathbf{e}_1(t)$ ,  $\mathbf{e}_2(t)$ ,  $\mathbf{e}_3(t)$ . Относительное движение точки  $B$  — движение относительно подвижной системы — определяется коэффициентами  $y_k(t)$  разложения

$$\rho = \sum_{k=1}^3 y_k \mathbf{e}_k, \quad (7.1)$$

радиус–вектора  $\rho = \overline{OB}$  по ортам  $\mathbf{e}_1, \mathbf{e}_2, \mathbf{e}_3$ , связанным с подвижной системой. Абсолютное движение точки  $B$  задаётся формулой (рис.7.1)

$$\mathbf{r} = \mathbf{r}_0 + \rho = \mathbf{r}_0 + \sum_{k=1}^3 y_k \mathbf{e}_k, \quad (7.2)$$

в правой части которой находятся информация  $\mathbf{r}_0(t), \mathbf{e}_1(t), \mathbf{e}_2(t), \mathbf{e}_3(t)$  о движении подвижной системы и информация об относительном движении  $y_1(t), y_2(t), y_3(t)$  точки  $B$ .

Для вычисления характеристик абсолютного движения надо отдельно рассмотреть переносное движение и относительное.

**Переносное движение точки** — это когда в (7.2) зафиксировано относительное движение:  $\rho = \text{const}$ . Дифференцирование (7.2) по времени  $t$  с учётом  $\rho = \text{const}$  приводит к формулам для **переносной скорости**  $\mathbf{V}_{\text{пер}}$  и **переносного ускорения**  $\mathbf{W}_{\text{пер}}$  — скорость и ускорение точки твёрдого тела:

$$\mathbf{V}_{\text{пер}} = \dot{\mathbf{r}}_0 + \sum_{k=1}^3 y_k \dot{\mathbf{e}}_k, \quad (7.3)$$

$$\mathbf{W}_{\text{пер}} = \ddot{\mathbf{r}}_0 + \sum_{k=1}^3 y_k \ddot{\mathbf{e}}_k. \quad (7.4)$$

**Относительное движение точки** — это когда в (7.2) зафиксировано переносное движение:  $\mathbf{r}_0 = \text{const}, \mathbf{e}_1 = \text{const}, \mathbf{e}_2 = \text{const}, \mathbf{e}_3 = \text{const}$ . Дифференцирование (7.2) по времени  $t$  в этом случае приводит к формулам для **относительной скорости**  $\mathbf{V}_{\text{отн}}$  и **относительного ускорения**  $\mathbf{W}_{\text{отн}}$  — скорость и ускорение точки в неподвижной системе отсчёта:

$$\mathbf{V}_{\text{отн}} = \sum_{k=1}^3 \dot{y}_k \mathbf{e}_k, \quad (7.5)$$

$$\mathbf{W}_{\text{отн}} = \sum_{k=1}^3 \ddot{y}_k \mathbf{e}_k. \quad (7.6)$$

В литературе употребляются также обозначения:  $\mathbf{V}_e, \mathbf{W}_e$  для переносных скорости и ускорения (от английского слова *endure*);  $\mathbf{V}_r, \mathbf{W}_r$  для относительных скорости и ускорения (от английского слова *relative*).

В **абсолютном движении точки** учитывается вклад всех участников сложного движения: подвижной системы  $\mathbf{r}_0(t), \mathbf{e}_1(t), \mathbf{e}_2(t), \mathbf{e}_3(t)$  и перемещения точки относительно подвижной системы  $y_1(t), y_2(t), y_3(t)$ .

**Теорема 7.1 (о сложении скоростей).** Абсолютная скорость  $\mathbf{V}_{\text{абс}}$  точки в сложном движении есть сумма переносной скорости и относительной скорости:

$$\mathbf{V}_{\text{абс}} = \mathbf{V}_{\text{пер}} + \mathbf{V}_{\text{отн}}. \quad (7.7)$$

□ Для доказательства продифференцируем формулу (7.2) по времени  $t$  и используем обозначения (7.3), (7.5):

$$\mathbf{V}_{abc} = \dot{\mathbf{r}}_0 + \underbrace{\sum_{k=1}^3 y_k \dot{\mathbf{e}}_k}_{\mathbf{V}_{nep}} + \underbrace{\sum_{k=1}^3 \dot{y}_k \mathbf{e}_k}_{\mathbf{V}_{oth}} = \mathbf{V}_{nep} + \mathbf{V}_{oth}. \quad (7.8)$$

■

**Теорема 7.2 (о сложении ускорений, теорема Кориолиса).** Абсолютное ускорение  $\mathbf{W}_{abc}$  точки в сложном движении есть сумма переносного ускорения, относительного ускорения и кориолисового ускорения (ускорения Кориолиса)

$$\mathbf{W}_{kop} = 2[\boldsymbol{\omega}_{nep}, \mathbf{V}_{oth}], \quad (7.9)$$

где  $\boldsymbol{\omega}_{nep}$  — угловая скорость подвижной системы:

$$\mathbf{W}_{abc} = \mathbf{W}_{nep} + \mathbf{W}_{oth} + \mathbf{W}_{kop}. \quad (7.10)$$

□ Для доказательства продифференцируем формулу (7.8) по времени  $t$  (двежды формулу (7.2)), для части слагаемых используем обозначения (7.3), (7.5), а для оставшихся слагаемых обозначение  $\mathbf{W}_{kop}$ :

$$\mathbf{W}_{abc} = \ddot{\mathbf{r}}_0 + \underbrace{\sum_{k=1}^3 y_k \ddot{\mathbf{e}}_k}_{\mathbf{W}_{nep}} + \underbrace{\sum_{k=1}^3 \ddot{y}_k \mathbf{e}_k}_{\mathbf{W}_{oth}} + 2 \underbrace{\sum_{k=1}^3 \dot{y}_k \dot{\mathbf{e}}_k}_{\mathbf{W}_{kop}} = \mathbf{W}_{nep} + \mathbf{W}_{oth} + \mathbf{W}_{kop}.$$

Покажем, что слагаемые, обозначенные  $\mathbf{W}_{kop}$ , преобразуются с использованием формул (4.6) и (7.5) к правой части формулы (7.9):

$$2 \sum_{k=1}^3 \dot{y}_k \dot{\mathbf{e}}_k = 2 \sum_{k=1}^3 \dot{y}_k [\boldsymbol{\omega}_{nep}, \mathbf{e}_k] = 2[\boldsymbol{\omega}_{nep}, \sum_{k=1}^3 \dot{y}_k \mathbf{e}_k] = 2[\boldsymbol{\omega}_{nep}, \mathbf{V}_{oth}].$$

■

Для абсолютных скорости и ускорения в литературе используются также обозначения  $\mathbf{V}_a$ ,  $\mathbf{W}_a$  или отсутствие индексов:  $\mathbf{V}$ ,  $\mathbf{W}$ . Для кориолисова ускорения — обозначение  $\mathbf{W}_c$ .

## § 8. ПОЛЯРНЫЕ КООРДИНАТЫ

Точка  $P$  движется в плоскости. На плоскости фиксируется точка  $O$  и полярная ось, направление которой задано ортом  $\mathbf{i}_1$ . Полярные координаты точки  $P$  — это расстояние  $r = OP$  и угол  $\varphi$  между полярной осью и радиус-вектором  $\mathbf{r} = \overrightarrow{OP}$  (рис. 8.1).

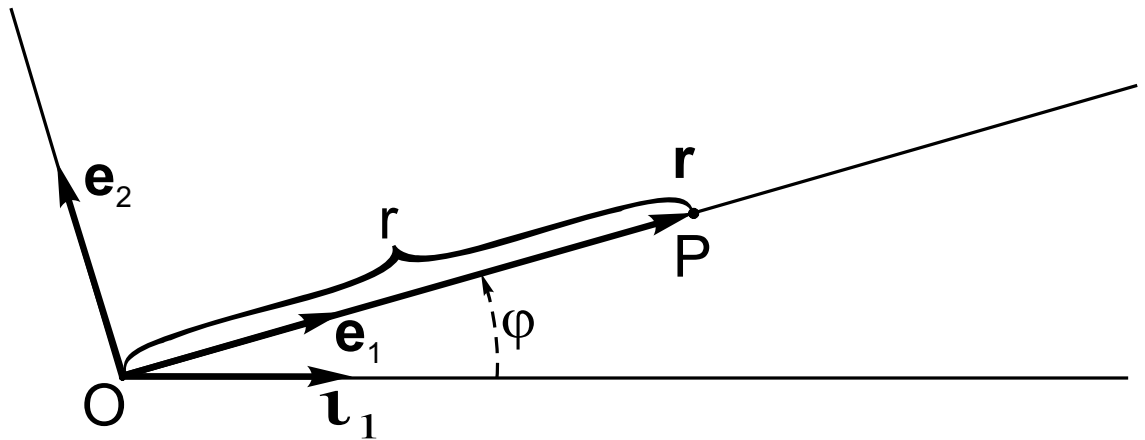


Рис. 8.1

Введём подвижную систему: орт  $\mathbf{e}_1$  расположен на прямой, заданной вектором  $\mathbf{r} = \overrightarrow{OP}$ , то есть справедливо  $\mathbf{r} = r\mathbf{e}_1$ ; орт  $\mathbf{e}_2$  принадлежит плоскости движения и перпендикулярен орту  $\mathbf{e}_1$ ; орт  $\mathbf{e}_3$  задаётся так, чтобы орты  $\mathbf{e}_1, \mathbf{e}_2, \mathbf{e}_3$  представляли собой правый ортонормированный базис.

Введённая подвижная система координат вращается вокруг неподвижной оси, заданной ортом  $\mathbf{e}_3$ , и в соответствии с результатами примера 6.1 имеет угловую скорость  $\omega_{пер} = \dot{\varphi}\mathbf{e}_3$  и угловое ускорение  $\varepsilon_{пер} = \ddot{\varphi}\mathbf{e}_3$ .

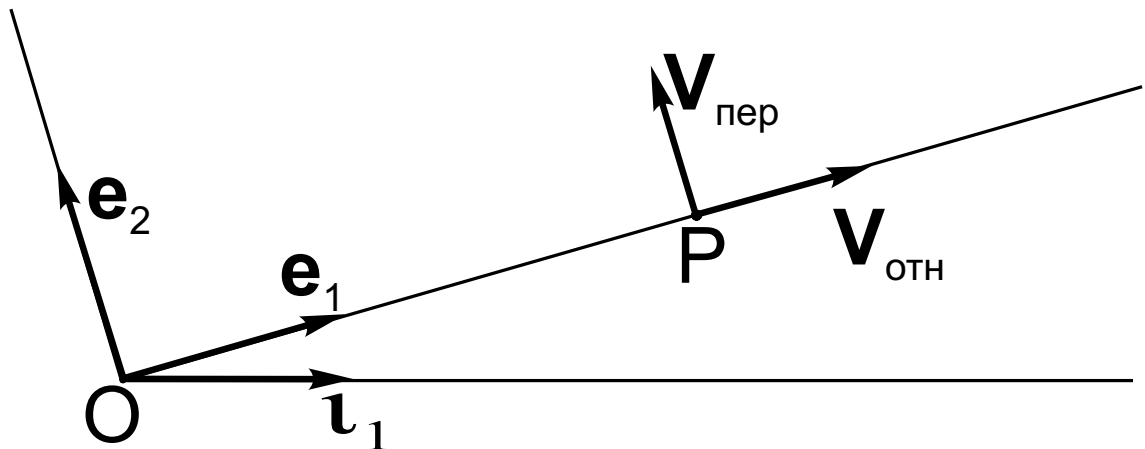


Рис. 8.2

Переносное движение точки  $P$  — движение вместе с подвижной системой (оно задаётся углом  $\varphi$ ), относительное движение — движение в подвижной системе (оно задаётся координатой  $r$ ).

Скорость в переносном движении (при движении по окружности) равна (рис. 8.2)

$$\mathbf{V}_{\text{пер}} = [\boldsymbol{\omega}_{\text{пер}}, \mathbf{r}] = \dot{\varphi} r [\mathbf{e}_3, \mathbf{e}_1] = \dot{\varphi} r \mathbf{e}_2. \quad (8.1)$$

Скорость в относительном движении (рис. 8.2) —

$$\mathbf{V}_{\text{отн}} = \dot{r} \mathbf{e}_1. \quad (8.2)$$

Абсолютная скорость по теореме 7.1 равна (рис. 8.2)

$$\mathbf{V}_{\text{абс}} = \mathbf{V} = \mathbf{V}_{\text{пер}} + \mathbf{V}_{\text{отн}} = \mathbf{V}_\varphi + \mathbf{V}_r \quad (8.3)$$

$(V_\varphi = V_{\text{пер}} = \dot{\varphi} r, V_r = V_{\text{отн}} = \dot{r})$ , а её величина —

$$V^2 = \dot{r}^2 + \dot{\varphi}^2 r^2. \quad (8.4)$$

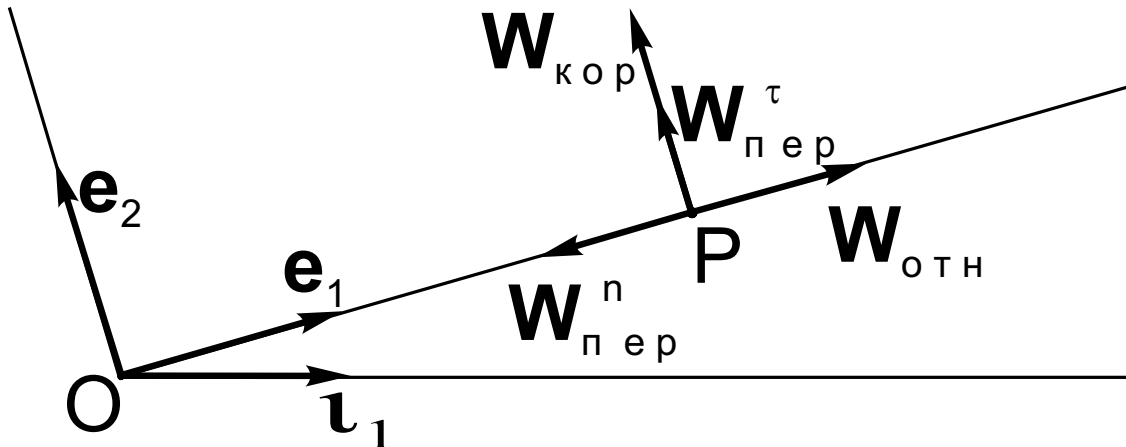


Рис. 8.3

Ускорение в переносном движении (при движении по окружности) состоит из касательного (тангенциального)<sup>1</sup>  $\mathbf{W}_{\text{пер}}^\tau$  и нормального  $\mathbf{W}_{\text{пер}}^n$  (рис. 8.3), которые равны (пример 2.1)

$$\mathbf{W}_{\text{пер}}^\tau = [\boldsymbol{\varepsilon}_{\text{пер}}, \mathbf{r}] = \ddot{\varphi} r [\mathbf{e}_3, \mathbf{e}_1] = \ddot{\varphi} r \mathbf{e}_2,$$

$$\mathbf{W}_{\text{пер}}^n = [\boldsymbol{\omega}_{\text{пер}}, \mathbf{V}_{\text{пер}}] = \dot{\varphi}^2 r [\mathbf{e}_3, \mathbf{e}_2] = -\dot{\varphi}^2 r \mathbf{e}_1.$$

Ускорение  $\mathbf{W}_{\text{отн}}$  в относительном движении равно (рис. 8.3)

$$\mathbf{W}_{\text{отн}} = \ddot{r} \mathbf{e}_1.$$

---

<sup>1</sup>Да простят автора тензорные пуристы за размещение индексов и пояснительных надписей то в верхней части формулы, то в нижней (см. (1.10), (7.10), (8.5)).

Подсчёт кориолисова ускорения  $\mathbf{W}_{\text{кор}}$  приводит к следующему результату (рис. 8.3):

$$\mathbf{W}_{\text{кор}} = 2[\boldsymbol{\omega}_{\text{неп}}, \mathbf{V}_{\text{отн}}] = 2\dot{\varphi}\dot{r}[\mathbf{e}_3, \mathbf{e}_1] = 2\dot{\varphi}\dot{r}\mathbf{e}_2.$$

Окончательно, абсолютное ускорение представляется следующим образом

$$\begin{aligned} \mathbf{W}_{abc} &= \mathbf{W} = \mathbf{W}_{\text{отн}} + \mathbf{W}_{\text{неп}}^n + \mathbf{W}_{\text{неп}}^\tau + \mathbf{W}_{\text{кор}} = \\ &= (\ddot{r} - \dot{\varphi}^2 r)\mathbf{e}_1 + (\ddot{\varphi}r + 2\dot{\varphi}\dot{r})\mathbf{e}_2 = \mathbf{W}_r + \mathbf{W}_\varphi. \end{aligned} \quad (8.5)$$

Ускорение раскладывается на две ортогональные составляющие: **радиальная**  $\mathbf{W}_r$  и **трансверсальная**  $\mathbf{W}_\varphi$ . Величины, соответственно, равны

$$W_r = \ddot{r} - \dot{\varphi}^2 r, \quad W_\varphi = \ddot{\varphi}r + 2\dot{\varphi}\dot{r} \quad (8.6)$$

(ср. с результатами примера 3.1).

## § 9. УГЛОВАЯ СКОРОСТЬ И УГЛОВОЕ УСКОРЕНИЕ ТЕЛА В СЛОЖНОМ ДВИЖЕНИИ

Как и в § 7, рассматриваются система отсчёта, с которой связан ортонормированный базис  $\mathbf{i}_1, \mathbf{i}_2, \mathbf{i}_3$  (рис. 9.1), и подвижное пространство, движение которого задано векторами  $\mathbf{r}_0(t), \mathbf{e}_1(t), \mathbf{e}_2(t), \mathbf{e}_3(t)$  (рис. 9.1).

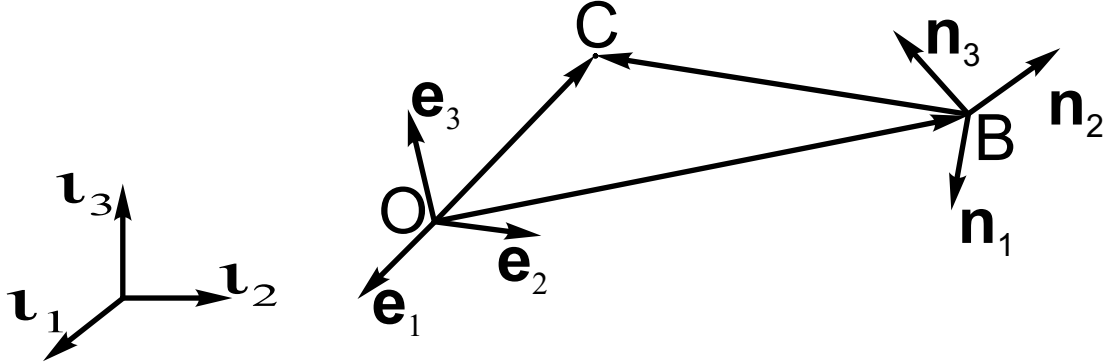


Рис. 9.1

Скорости и ускорения точек подвижного пространства выражаются по формулам (4.10) и (5.2) с использованием векторов

$$\mathbf{V}_0, \quad \mathbf{W}_0, \quad \boldsymbol{\omega}^{per} = \sum_{k=1}^3 \omega_k^{per} \mathbf{i}_k, \quad \boldsymbol{\varepsilon}^{per} = \sum_{k=1}^3 \varepsilon_k^{per} \mathbf{i}_k = \dot{\boldsymbol{\omega}}^{per} = \sum_{k=1}^3 \dot{\omega}_k^{per} \mathbf{i}_k. \quad (9.1)$$

Относительно подвижного пространства совершают движение тело, поведение которого в подвижном пространстве определено векторами  $\overline{OB}$ ,  $\mathbf{n}_1$ ,  $\mathbf{n}_2$ ,  $\mathbf{n}_3$  (рис. 9.1). Относительные скорости и ускорения точек тела выражаются по формулам (4.10) и (5.2) с использованием векторов

$$\mathbf{V}_0^{OTH}, \quad \mathbf{W}_0^{OTH}, \quad \boldsymbol{\omega}^{OTH} = \sum_{k=1}^3 \omega_k^{OTH} \mathbf{e}_k, \quad \boldsymbol{\varepsilon}^{OTH} = \sum_{k=1}^3 \dot{\omega}_k^{OTH} \mathbf{e}_k. \quad (9.2)$$

Для вычисления по формулам (4.10) и (5.2) абсолютных скоростей и ускорений точек тела требуется знать характеристики точки  $B$ :  $\mathbf{V}_B^{abc} = \mathbf{V}_B$  и  $\mathbf{W}_B^{abc} = \mathbf{W}_B$ , — и характеристики тела:  $\boldsymbol{\omega}^{abc} = \boldsymbol{\omega}$  и  $\boldsymbol{\varepsilon}^{abc} = \boldsymbol{\varepsilon}$ . Векторы  $\mathbf{V}_B^{abc}$  и  $\mathbf{W}_B^{abc}$  вычисляются по формулам (7.7) и (7.10), например,

$$\mathbf{V}_B^{abc} = \mathbf{V}_B = \mathbf{V}_B^{per} + \mathbf{V}_B^{OTH} = \underbrace{\mathbf{V}_O + [\boldsymbol{\omega}^{per}, \overline{OB}]}_{\mathbf{V}_B^{per}} + \mathbf{V}_B^{OTH}. \quad (9.3)$$

**Теорема 9.1.** Угловая скорость  $\boldsymbol{\omega}^{abc} = \boldsymbol{\omega}$  и угловое ускорение  $\boldsymbol{\varepsilon}^{abc} = \boldsymbol{\varepsilon}$  тела в сложном движении связаны с характеристиками переносного и относительного движения следующим образом

$$\boldsymbol{\omega}^{abc} = \boldsymbol{\omega} = \boldsymbol{\omega}^{nep} + \boldsymbol{\omega}^{oth}, \quad (9.4)$$

$$\boldsymbol{\varepsilon}^{abc} = \boldsymbol{\varepsilon} = \boldsymbol{\varepsilon}^{nep} + \boldsymbol{\varepsilon}^{oth} + [\boldsymbol{\omega}^{nep}, \boldsymbol{\omega}^{oth}]. \quad (9.5)$$

□ Произвольная точка  $C$  тела участвует в сложном движении и её скорость в соответствии с формулами (7.7) и (4.10) равна

$$\mathbf{V}_C^{abc} = \mathbf{V}_C = \mathbf{V}_C^{nep} + \mathbf{V}_C^{oth} = \underbrace{\mathbf{V}_O + [\boldsymbol{\omega}^{nep}, \overline{OC}]}_{\mathbf{V}_C^{nep}} + \underbrace{\mathbf{V}_B^{oth} + [\boldsymbol{\omega}^{oth}, \overline{BC}]}_{\mathbf{V}_C^{oth}}.$$

Учёт в этой формуле  $\overline{OC} = \overline{OB} + \overline{BC}$  (рис. 9.1), перегруппировка слагаемых и использование формулы (9.3) приводит к результату

$$\begin{aligned} \mathbf{V}_C &= \underbrace{\mathbf{V}_O + [\boldsymbol{\omega}^{nep}, \overline{OB}] + \mathbf{V}_B^{oth}}_{\mathbf{V}_B} + [\boldsymbol{\omega}^{nep} + \boldsymbol{\omega}^{oth}, \overline{BC}] = \\ &= \mathbf{V}_B + [\boldsymbol{\omega}^{nep} + \boldsymbol{\omega}^{oth}, \overline{BC}]. \end{aligned} \quad (9.6)$$

Теорема 4.1 гласит: существует единственный вектор  $\boldsymbol{\omega}$ , такой что скорости двух точек тела связаны выражением  $\mathbf{V}_C = \mathbf{V}_B + [\boldsymbol{\omega}, \overline{BC}]$ , сравнение которого с результатом (9.6) доказывает формулу (9.4). Для обоснования формулы (9.5) продифференцируем по времени  $t$  угловую скорость

$$\boldsymbol{\omega} = \boldsymbol{\omega}^{nep} + \boldsymbol{\omega}^{oth} = \sum_{k=1}^3 \omega_k^{nep} \mathbf{i}_k + \sum_{k=1}^3 \omega_k^{oth} \mathbf{e}_k$$

(привлечены формулы (9.1), (9.2)):

$$\boldsymbol{\varepsilon} = \dot{\boldsymbol{\omega}} = \sum_{k=1}^3 \dot{\omega}_k^{nep} \mathbf{i}_k + \sum_{k=1}^3 \dot{\omega}_k^{oth} \mathbf{e}_k + \sum_{k=1}^3 \omega_k^{oth} \dot{\mathbf{e}}_k.$$

К формуле (9.5) приводит использование обозначений из (9.1), (9.2)

$$\boldsymbol{\varepsilon}^{nep} = \sum_{k=1}^3 \dot{\omega}_k^{nep} \mathbf{i}_k, \quad \boldsymbol{\varepsilon}^{oth} = \sum_{k=1}^3 \dot{\omega}_k^{oth} \mathbf{e}_k$$

для первых двух сумм и преобразование с учётом леммы 4.1 последней суммы:

$$\sum_{k=1}^3 \omega_k^{oth} \dot{\mathbf{e}}_k = \sum_{k=1}^3 \omega_k^{oth} [\boldsymbol{\omega}^{nep}, \mathbf{e}_k] = [\boldsymbol{\omega}^{nep}, \sum_{k=1}^3 \omega_k^{oth} \mathbf{e}_k] = [\boldsymbol{\omega}^{nep}, \boldsymbol{\omega}^{oth}],$$

— в последнем переходе использовано обозначение из (9.2). ■

## § 10. РЕГУЛЯРНАЯ ПРЕЦЕССИЯ

**Определение 10.1.** Регулярная прецессия твёрдого тела — это сложное движение, при котором подвижная система вращается вокруг неподвижной оси с постоянной угловой скоростью  $\omega^{\text{пер}}$  ( $\varepsilon^{\text{пер}} = 0$ ), а относительным движением тела является также вращением вокруг неподвижной оси с постоянной угловой скоростью  $\omega^{\text{отн}}$  ( $\varepsilon^{\text{отн}} = 0$ ). Оси, вокруг которых происходят вращения, пересекаются. Параметры регулярной прецессии: угловая скорость собственного вращения  $\omega^{\text{отн}}$ , угловая скорость прецессии  $\omega^{\text{пер}}$ , угол нутации  $\theta$  — угол между осями вращения (рис. 10.1).

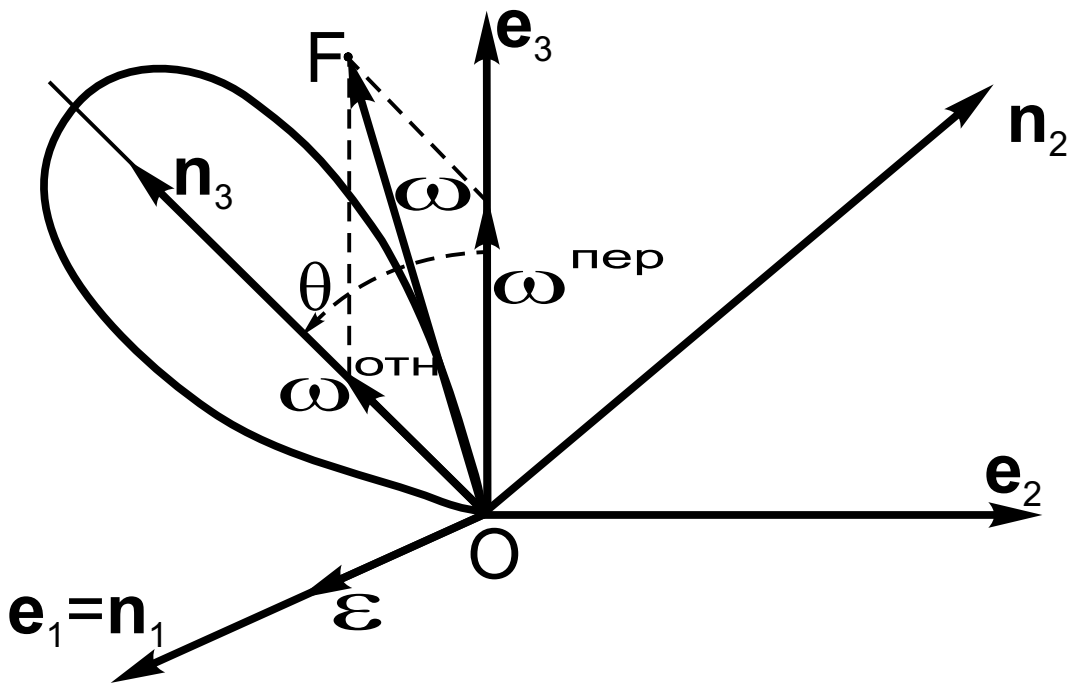


Рис. 10.1

Пусть в подвижной системе выбран ортонормированный базис  $\mathbf{e}_1, \mathbf{e}_2, \mathbf{e}_3$  так, что выполняется (рис. 10.1)

$$\boldsymbol{\omega}^{\text{пер}} = \omega^{\text{пер}} \mathbf{e}_3, \quad \boldsymbol{\omega}^{\text{отн}} = \omega^{\text{отн}} (-\mathbf{e}_2 \sin \theta + \mathbf{e}_3 \cos \theta). \quad (10.1)$$

Пусть в теле выбран ортонормированный базис  $\mathbf{n}_1, \mathbf{n}_2, \mathbf{n}_3$  так, что в данный момент выполняется (рис. 10.1)

$$\boldsymbol{\omega}^{\text{пер}} = \omega^{\text{пер}} (\mathbf{n}_2 \sin \theta + \mathbf{n}_3 \cos \theta), \quad \boldsymbol{\omega}^{\text{отн}} = \omega^{\text{отн}} \mathbf{n}_3. \quad (10.2)$$

Абсолютная угловая скорость  $\boldsymbol{\omega}^{\text{абс}} = \boldsymbol{\omega}$  тела по формулам (9.4), (10.1), (10.2)

равна (рис. 10.1)

$$\begin{aligned}\omega^{abc} = \boldsymbol{\omega} &= \boldsymbol{\omega}^{nep} + \boldsymbol{\omega}^{OTH} = -\omega^{OTH} \mathbf{e}_2 \sin \theta + (\omega^{nep} + \omega^{OTH} \cos \theta) \mathbf{e}_3 = \\ &= \omega^{nep} \mathbf{n}_2 \sin \theta + (\omega^{OTH} + \omega^{nep} \cos \theta) \mathbf{n}_3.\end{aligned}\quad (10.3)$$

Абсолютное угловое ускорение  $\boldsymbol{\varepsilon}^{abc} = \boldsymbol{\varepsilon}$  тела по формуле (9.5) с учётом  $\boldsymbol{\varepsilon}^{nep} = 0$ ,  $\boldsymbol{\varepsilon}^{OTH} = 0$  равно (рис. 10.1)

$$\begin{aligned}\boldsymbol{\varepsilon}^{abc} &= \boldsymbol{\varepsilon} = [\boldsymbol{\omega}^{nep}, \boldsymbol{\omega}^{OTH}] = [\omega^{nep} \mathbf{e}_3, \omega^{OTH} (-\mathbf{e}_2 \sin \theta + \mathbf{e}_3 \cos \theta)] = \\ &= -\omega^{nep} \omega^{OTH} [\mathbf{e}_3, \mathbf{e}_2] \sin \theta = \omega^{nep} \omega^{OTH} \mathbf{e}_1 \sin \theta = \\ &= \omega^{nep} \omega^{OTH} \mathbf{n}_1 \sin \theta.\end{aligned}\quad (10.4)$$

Этот результат можно получить и по теореме 1.1:

$$\begin{aligned}\boldsymbol{\varepsilon} &= \dot{\boldsymbol{\omega}} = \mathbf{V}_F = [\boldsymbol{\omega}^{nep}, \overline{OF}] = [\boldsymbol{\omega}^{nep}, \boldsymbol{\omega}] = [\boldsymbol{\omega}^{nep}, \boldsymbol{\omega}^{nep} + \boldsymbol{\omega}^{OTH}] = \\ &= [\boldsymbol{\omega}^{nep}, \boldsymbol{\omega}^{OTH}] = \omega^{nep} \omega^{OTH} \mathbf{e}_1 \sin \theta = \omega^{nep} \omega^{OTH} \mathbf{n}_1 \sin \theta..\end{aligned}$$

**Пример 10.1.** Конус из примера 6.2 при равномерном движении без проскальзывания совершаает регулярную прецессию (рис. 6.2, рис 10.2).

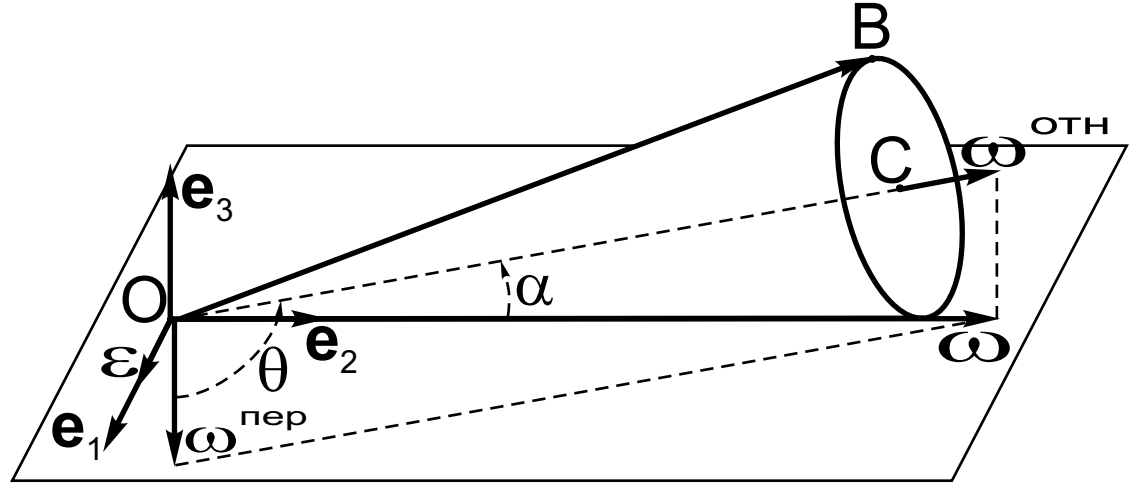


Рис. 10.2

Подвижная система связана с плоскостью  $\{\mathbf{e}_2, \mathbf{e}_3\}$ , система вращается вокруг оси  $\mathbf{e}_3$  с постоянной угловой скоростью  $\boldsymbol{\omega}^{nep}$ . Конус в этой системе вращается вокруг своей оси симметрии  $OC$  с постоянной угловой скоростью  $\boldsymbol{\omega}^{OTH}$ . Три

угловые скорости связывает теорема 4.1:  $\omega = \omega^{per} + \omega^{oth}$  (рис. 10.2). Абсолютная угловая скорость  $\omega = \omega e_2$  найдена в примере 6.2, величины других угловых скоростей вычисляются по теореме Пифагора (угол  $\alpha$  указан на рис. 10.2):  $\omega^{per} = \omega \operatorname{tg} \alpha$ ,  $\omega^{oth} = \omega / \cos \alpha$ , а для векторов выполняется (рис. 10.2):

$$\omega = \omega e_2, \quad \omega^{per} = -\omega e_3 \operatorname{tg} \alpha, \quad \omega^{oth} = \omega(e_2 + e_3 \operatorname{tg} \alpha) \quad \varepsilon = \omega^2 e_1 \operatorname{tg} \alpha.$$

Добавлен результат из примера 6.2 для углового ускорения. Для третьего параметра регулярной прецессии — угла нутации  $\theta$  — выполняется  $\theta = \alpha + \pi/2$ . Рассмотрим точки  $A$  и  $B$  конуса (рис. 10.2):

$$OA = OA e_2, \quad OB = OB(e_2 \cos 2\alpha + e_3 \sin 2\alpha),$$

— и вычислим двумя способами их ускорения.

**С точки зрения сложного движения** (теорема 7.2, рис 10.3).

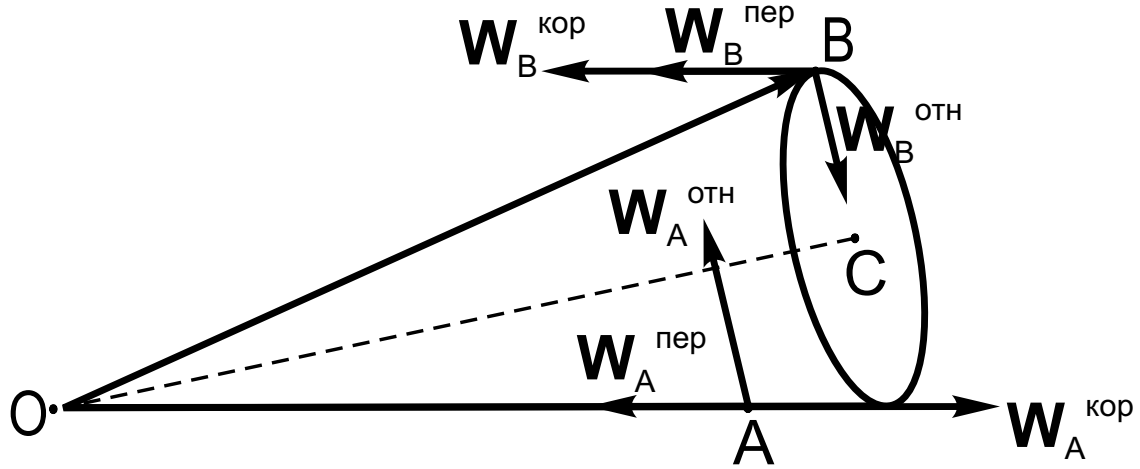


Рис. 10.3

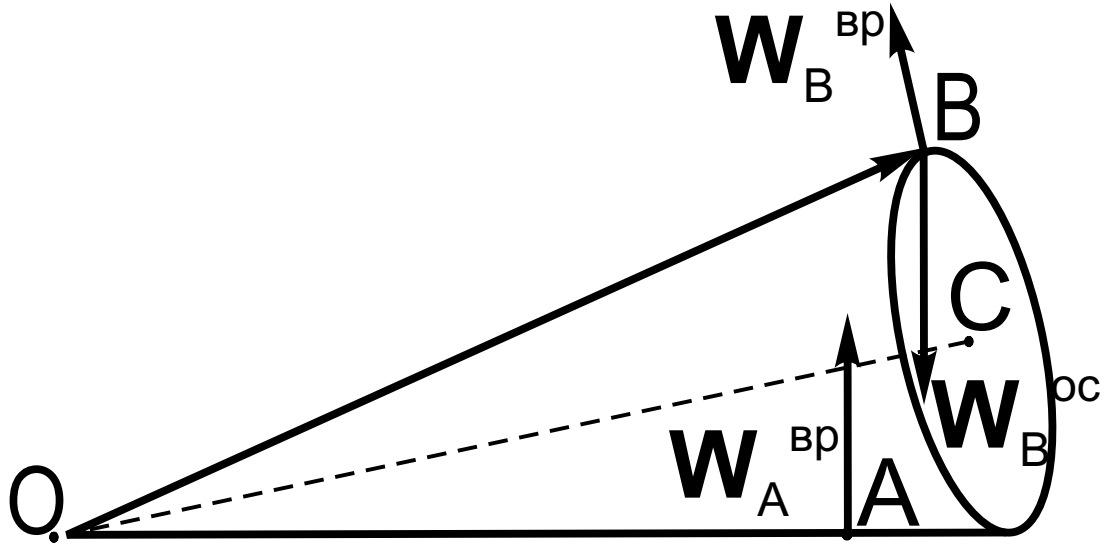


Рис. 10.4

$$\begin{aligned}
 \mathbf{W}_A^{nep} &= [\boldsymbol{\omega}^{nep}, \mathbf{V}_A^{nep}] = [\boldsymbol{\omega}^{nep}, [\boldsymbol{\omega}^{nep}, \mathbf{OA}]] = -OA\omega^2 \mathbf{e}_2 \operatorname{tg}^2 \alpha, \\
 \mathbf{W}_A^{OTH} &= [\boldsymbol{\omega}^{OTH}, \mathbf{V}_A^{OTH}] = [\boldsymbol{\omega}^{OTH}, [\boldsymbol{\omega}^{OTH}, \mathbf{OA}]] = OA\omega^2(-\mathbf{e}_2 \operatorname{tg}^2 \alpha + \mathbf{e}_3 \operatorname{tg} \alpha), \\
 \mathbf{W}_A^{kop} &= 2[\boldsymbol{\omega}^{nep}, \mathbf{V}_A^{OTH}] = 2[\boldsymbol{\omega}^{nep}, [\boldsymbol{\omega}^{OTH}, \mathbf{OA}]] = 2OA\omega^2 \mathbf{e}_2 \operatorname{tg}^2 \alpha, \\
 \mathbf{W}_A &= \mathbf{W}_A^{nep} + \mathbf{W}_A^{OTH} + \mathbf{W}_A^{kop} = OA\omega^2 \mathbf{e}_3 \operatorname{tg} \alpha.
 \end{aligned}$$

$$\begin{aligned}
 \mathbf{W}_B^{nep} &= [\boldsymbol{\omega}^{nep}, \mathbf{V}_B^{nep}] = [\boldsymbol{\omega}^{nep}, [\boldsymbol{\omega}^{nep}, \mathbf{OB}]] = -OB\omega^2 \mathbf{e}_2 \operatorname{tg}^2 \alpha \cos 2\alpha, \\
 \mathbf{W}_B^{OTH} &= [\boldsymbol{\omega}^{OTH}, \mathbf{V}_B^{OTH}] = [\boldsymbol{\omega}^{OTH}, [\boldsymbol{\omega}^{OTH}, \mathbf{OB}]] = OB\omega^2(\mathbf{e}_2 \operatorname{tg}^2 \alpha - \mathbf{e}_3 \operatorname{tg} \alpha), \\
 \mathbf{W}_B^{kop} &= 2[\boldsymbol{\omega}^{nep}, \mathbf{V}_B^{OTH}] = 2[\boldsymbol{\omega}^{nep}, [\boldsymbol{\omega}^{OTH}, \mathbf{OB}]] = -2OB\omega^2 \mathbf{e}_2 \operatorname{tg}^2 \alpha, \\
 \mathbf{W}_B &= \mathbf{W}_B^{nep} + \mathbf{W}_B^{OTH} + \mathbf{W}_B^{kop} = -OB\omega^2(2\mathbf{e}_2 \sin^2 \alpha + \mathbf{e}_3 \operatorname{tg} \alpha).
 \end{aligned}$$

**С точки зрения принадлежности к твёрдому телу** (теорема 5.1 и следствие из неё, рис 10.4).

$$\begin{aligned}
 \mathbf{W}_A^{bp} &= [\boldsymbol{\varepsilon}, \mathbf{OA}] = OA\omega^2 \mathbf{e}_3 \operatorname{tg} \alpha, \\
 \mathbf{W}_A^{oc} &= [\boldsymbol{\omega}, \mathbf{V}_A] = 0, \\
 \mathbf{W}_A &= \mathbf{W}_A^{bp} + \mathbf{W}_A^{oc} = OA\omega^2 \mathbf{e}_3 \operatorname{tg} \alpha.
 \end{aligned}$$

$$\begin{aligned}
 \mathbf{W}_B^{bp} &= [\boldsymbol{\varepsilon}, \mathbf{OB}] = OB\omega^2(-2\mathbf{e}_2 \sin^2 \alpha + \mathbf{e}_3 \operatorname{tg} \alpha \cos 2\alpha), \\
 \mathbf{W}_B^{oc} &= [\boldsymbol{\omega}, \mathbf{V}_B] = [\boldsymbol{\omega}, [\boldsymbol{\omega}, \mathbf{OB}]] = -OB\omega^2 \mathbf{e}_3 \sin 2\alpha, \\
 \mathbf{W}_B &= \mathbf{W}_B^{bp} + \mathbf{W}_B^{oc} = -OB\omega^2(2\mathbf{e}_2 \sin^2 \alpha + \mathbf{e}_3 \operatorname{tg} \alpha).
 \end{aligned}$$

Сравнение двух способов вычисления ускорений приводит к выводу о хорошем совпадении результатов.

## § 11. СЛОЖЕНИЕ ВРАЩЕНИЙ ТВЁРДОГО ТЕЛА

В § 4 была выведена формула (4.10)

$$\mathbf{V}_B = \mathbf{V}_O + [\boldsymbol{\omega}, \boldsymbol{\rho}], \quad \boldsymbol{\rho} = \overline{OB} \quad (11.1)$$

(рис. 11.1, повторяющий рис. 4.2).

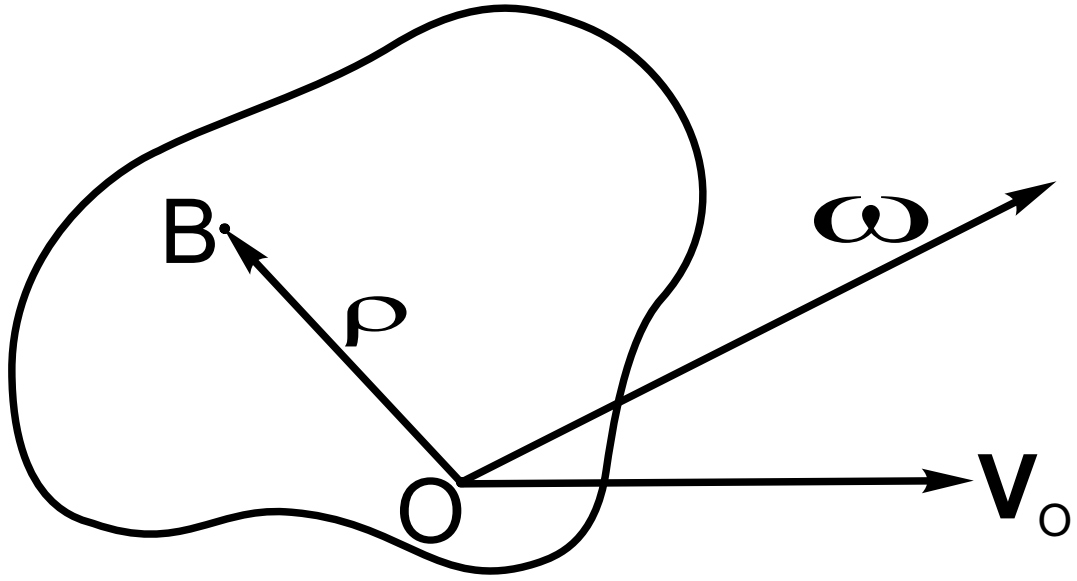


Рис. 11.1

Отсутствие одного из слагаемых в (11.1) выделяет одно из **простых движений твёрдого тела** [14].

**Определение 11.1.** Поступательное движение твёрдого тела — это, когда любая прямая, связанная с телом, перемещается параллельно самой себе.

Из определения вытекает, что орты  $\mathbf{e}_1, \mathbf{e}_2, \mathbf{e}_3$  (рис. 4.1), связанные с телом, не меняются во время движения:  $\dot{\mathbf{e}}_k \equiv 0$ , откуда и из формулы (4.7) или (4.12) следует  $\boldsymbol{\omega} \equiv 0$ . Из (11.1) видно, что при поступательном движении скорости точек твёрдого тела в любой момент времени  $t$  совпадают:

$$\mathbf{V}_B = \mathbf{V}_O. \quad (11.2)$$

Из  $\boldsymbol{\omega} \equiv 0$  и определения 5.1 углового ускорения вытекает  $\boldsymbol{\varepsilon} \equiv 0$ , а из формулы (5.2) — совпадение в любой момент времени  $t$  ускорений точек твёрдого тела:  $\mathbf{W}_B = \mathbf{W}_O$ . Если в некоторый конкретный момент времени  $t$  для угловой скорости выполняется  $\boldsymbol{\omega} = 0$ , то из (11.1) следует, что в этот момент времени  $t$  справедливо  $\mathbf{V}_B = \mathbf{V}_O$ . Такое движение называется **мгновенно поступательным**.

**Определение 11.2.** Чистое вращение твёрдого тела — это, когда для скорости некоторой точки  $O$  выполняется  $\mathbf{V}_O = 0$ .

Из определения вытекает, что скорости точек тела

$$\mathbf{V}_B = [\boldsymbol{\omega}, \boldsymbol{\rho}], \quad \boldsymbol{\rho} = \overline{OB} \quad (11.3)$$

таковы, как, если бы происходило вращение тела вокруг неподвижной оси (в этом случае для любой точки  $O$ , принадлежащей оси, выполняется  $\mathbf{V}_O = 0$ ). Задать чистое вращение — указать точку  $O$ , скорость которой равна нулю:  $\mathbf{V}_O = 0$ , и угловую скорость  $\boldsymbol{\omega}$  тела. Угловую скорость  $\boldsymbol{\omega}$ , хотя она свободный вектор, в случае чистого вращения принято откладывать от неподвижной точки  $O$ .

Далее в этом параграфе предполагаем, что известны скорость  $\mathbf{V}_O$  некоторой точки  $O$  тела и его угловая скорость  $\boldsymbol{\omega}$  (рис. 11.1). Скорости прочих точек определяются по формуле (11.1). С использованием двух простых движений, рассмотрим несколько вариантов сложных движений твёрдого тела.

1. Пусть точка подвижной системы совпадает с точкой  $O$  твёрдого тела, и система перемещается поступательно:  $\boldsymbol{\omega}^{\text{пер}} = 0$ , откуда следует, что для точек твёрдого тела справедливо  $\mathbf{V}_B^{\text{пер}} = \mathbf{V}_O$ . Так как в относительном движении тела выполняется  $\mathbf{V}_O^{\text{отн}} = 0$ , то относительное движение есть чистое вращение с угловой скоростью (см. (9.4))  $\boldsymbol{\omega}^{\text{отн}} = \boldsymbol{\omega} - \boldsymbol{\omega}^{\text{пер}} = \boldsymbol{\omega}$ . Вычисление скоростей точек в описанном сложном движении приводит к результату

$$\mathbf{V}_B = \mathbf{V}_B^{\text{пер}} + \mathbf{V}_B^{\text{отн}} = \mathbf{V}_O + [\boldsymbol{\omega}, \boldsymbol{\rho}], \quad \boldsymbol{\rho} = \overline{OB},$$

то есть скорости в теле распределены так, как будто тело одновременно совершает поступательное движение вместе с некоторой точкой  $O$  и чистое вращение с неподвижной точкой  $O$  (см. (11.2), (11.3)).

2. **Сложение чистых вращений с общей неподвижной точкой** (ситуация регулярной прецессии § 10). Подвижная система совершает чистое вращение:  $\mathbf{V}_O^{\text{пер}} = 0$ ,  $\boldsymbol{\omega}^{\text{пер}}$ . Тело в подвижной системе также совершает чистое вращение:  $\mathbf{V}_O^{\text{отн}} = 0$ ,  $\boldsymbol{\omega}^{\text{отн}}$ , причём, неподвижные точки в обоих движениях совпадают:  $O$ . Абсолютное движение также чистое вращение:  $\mathbf{V}_O = \mathbf{V}_O^{\text{пер}} + \mathbf{V}_O^{\text{отн}} = 0$ ,  $\boldsymbol{\omega} = \boldsymbol{\omega}^{\text{пер}} + \boldsymbol{\omega}^{\text{отн}}$  (рис. 11.2).

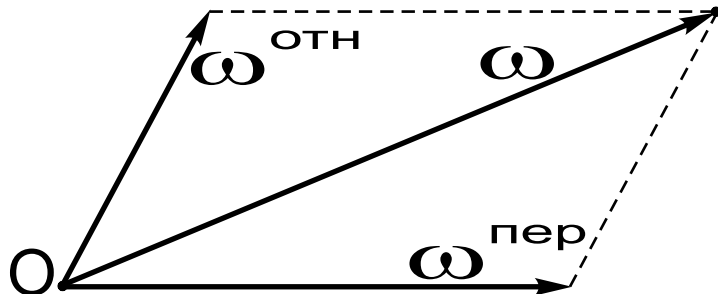


Рис. 11.2

**Эквивалентное преобразование.** Два чистых вращения с общей неподвижной точкой можно заменить чистым вращением. Обратно: чистое вращение можно разложить на два чистых вращения, вводя подвижную систему, как указано в этом пункте.

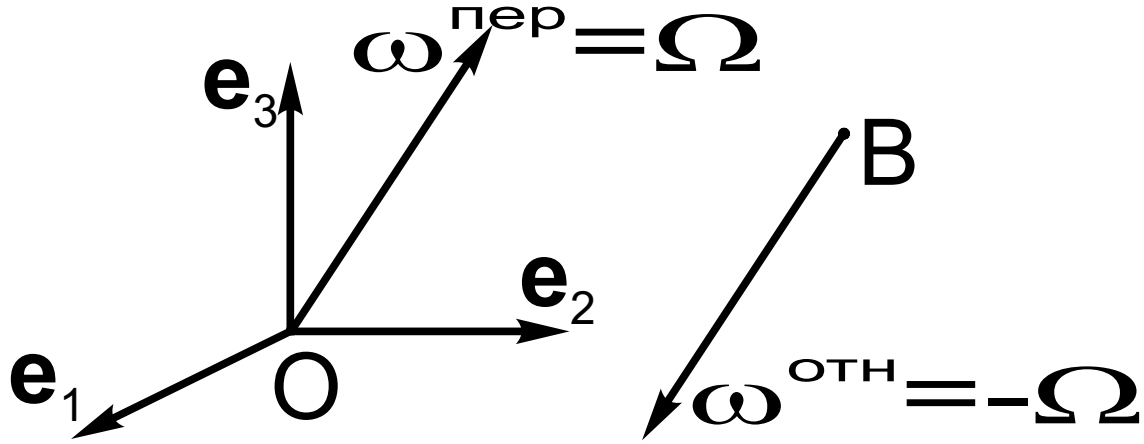


Рис. 11.3

**3. Пара чистых вращений.** Подвижная система совершает чистое вращение:  $\mathbf{V}_O^{perp} = 0$ ,  $\omega^{perp} = \Omega$ . Тело в подвижной системе также совершает чистое вращение:  $\mathbf{V}_B^{oth} = 0$ ,  $\omega^{oth} = -\Omega$  (рис. 11.3). Подчеркнём: угловые скорости  $\omega^{perp} = \Omega$ ,  $\omega^{oth} = -\Omega$  — участники двух движений — пара. В абсолютном движении:  $\omega = \omega^{perp} + \omega^{oth} = \Omega - \Omega = 0$ ,  $\mathbf{V}_B = \mathbf{V}_B^{perp} + \mathbf{V}_B^{oth} = [\omega^{perp}, \overline{OB}] = [\Omega, \overline{OB}]$ , то есть, абсолютное движение — поступательное (определение 11.1), и скорость любой точки  $C$  тела равна  $\mathbf{V}_C = \mathbf{V}_B = [\Omega, \overline{OB}]$ . Обратно: поступательное движение тела со скоростью  $\mathbf{V}$  представляется как пара чистых вращений: выбор элемента пары  $\Omega$  и точек  $O$  и  $B$  неоднозначен и подчинён условию  $\mathbf{V} = [\Omega, \overline{OB}]$ .

Отметим частный случай пары чистых вращений: пара с нулевым плечом —  $\overline{OB} \parallel \Omega$  (рис. 11.4).



Рис. 11.4

Такая пара называется **векторный нуль** и в этом случае тело пребывает в покое: для скорости любой точки  $C$  тела выполняется  $\mathbf{V}_C = \mathbf{V}_B = [\Omega, \overline{OB}] = 0$ . **Эквивалентное преобразование.** Сложное движение можно эквивалентно

“усложнить” добавлением или изъятием **векторного нуля**: переносное и относительное движения есть чистые вращения с угловыми скоростями, как показано на рис. 11.4.

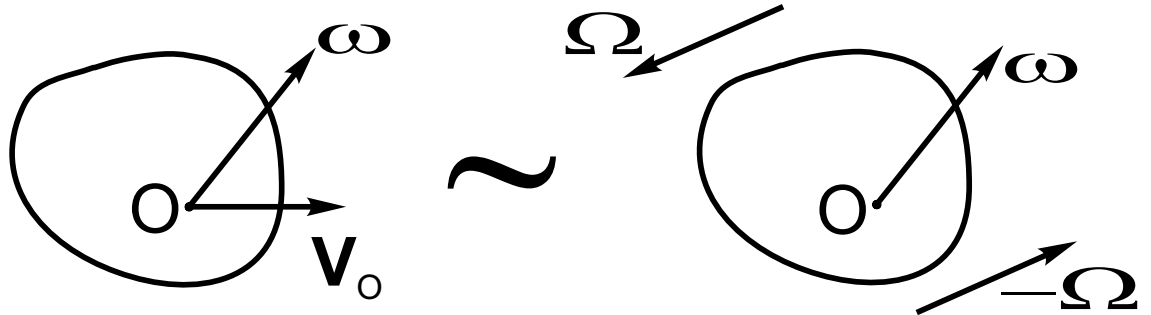


Рис. 11.5

4. **Произвольное движение твёрдого тела** с точки зрения распределения скоростей, как следует из п. 1, раскладывается на поступательное и чистое вращение; поступательное, в свою очередь (п. 3), представляется как пара чистых вращений, то есть, “элементарной частицей” в кинематике твёрдого тела является чистое вращение. Таким образом, произвольное движение твёрдого тела есть результат сложения трёх чистых вращений: подвижная система совершают чистое вращение с угловой скоростью  $\Omega$ , относительно неё другая подвижная система совершает чистое вращение с угловой скоростью  $-\Omega$ , а в ней тело совершает чистое вращение с угловой скоростью  $\omega$  (рис. 11.5).

5. **Сложное движение твёрдого тела** (§ 9). Как показано в предыдущем пункте, распределение скоростей точек подвижной системы (переносные скорости) — есть результат сложения трёх чистых вращений (рис. 11.6), распределение скоростей в теле при движении в подвижной системе (относительные скорости) — также результат сложения трёх чистых вращений (рис. 11.6). В абсолютном движении распределение скоростей в теле есть результат сложения шести чистых вращений, указанных на рис. 11.6.

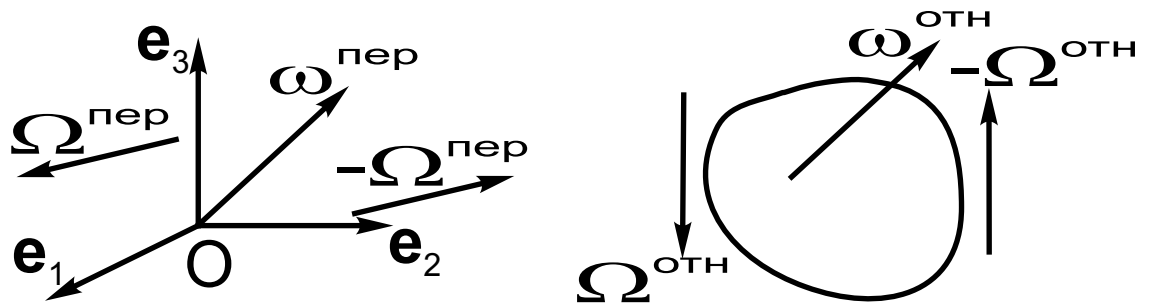


Рис. 11.6

**5. “Многосложное” движение твёрдого тела.** Подвижная система совершают движение относительно системы отсчёта, относительно этой подвижной системы совершают движение другая подвижная система и так далее, относительно последней подвижной системы совершают движение твёрдое тело. Требуется найти скорости точек твёрдого тела. Рассуждения предыдущего пункта и индукция приводят к выводу, что распределение скоростей в твёрдом теле есть результат сложения чистых вращений, которым соответствуют угловые скорости  $\{\omega_i\}$ . Каждая угловая скорость  $\omega_i$  приложена к неподвижной для данного чистого вращения точке  $O_i$ . Множество угловых скоростей  $\{\omega_i\}$  можно эквивалентно преобразовывать: применяя два эквивалентных преобразования, указанные в п.2 и п.3.

## ГЛАВА 4

# СКОЛЬЗЯЩИЕ ВЕКТОРЫ

### § 12. ЭКВИВАЛЕНТНЫЕ ПРЕОБРАЗОВАНИЯ И ИХ ИНВАРИАНТЫ

К традиционному определению вектора (направленный отрезок [3]) добавим менее традиционные.

**Определение 12.1.** **Приложенный вектор** — вектор с фиксированной начальной точкой. **Скользящий вектор** — вектор, который можно перемещать вдоль линии действия. **Пара** — два скользящих вектора  $\mathbf{a}$  и  $-\mathbf{a}$ , линии действия которых параллельны, расстояние между линиями — плечо пары. **Свободный вектор** — вектор с произвольной точкой приложения. **Множество векторов**  $\{\mathbf{a}_i\}$ ,  $i = \overline{1, N}$ , называется **множеством скользящих векторов**, если множество разрешено подвергать нижеследующим двум эквивалентным преобразованиям.

1э. Добавлять и изымать векторный нуль: два вектора  $\{\mathbf{a}, -\mathbf{a}\}$ , расположенные на одной прямой (рис. 12.1).

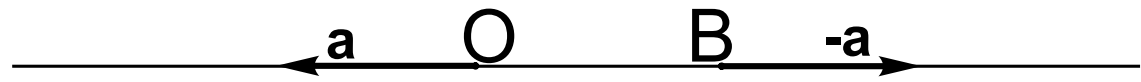
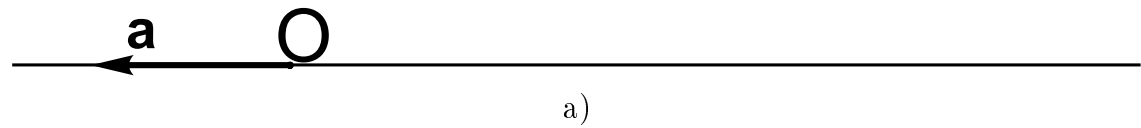
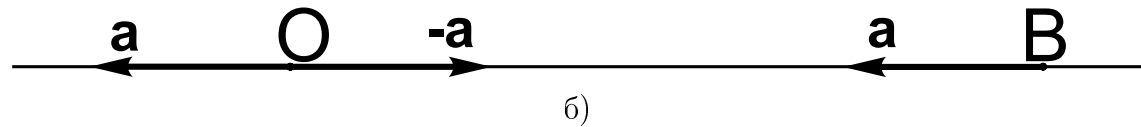


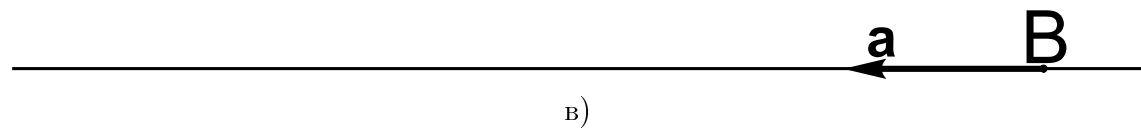
Рис. 12.1



a)



b)



c)

Рис. 12.2

Введённое преобразование позволяет перемещать отдельный вектор  $\mathbf{a}$  вдоль прямой, на которой он расположен. Для перемещения нужно добавить к вектору  $\mathbf{a}$  (рис. 12.2 а)) векторный нуль  $\{-\mathbf{a}, \mathbf{a}\}$  (рис. 12.2 б)) и изъять векторный нуль  $\{\mathbf{a}, -\mathbf{a}\}$  (рис. 12.2 в)).

Эквивалентное преобразование 1э оправдывает термин “скользящий вектор”.

2э. Два вектора  $\mathbf{a}$  и  $\mathbf{b}$  с общей начальной точкой  $O$  можно заменить их векторной суммой  $\mathbf{c} = \mathbf{a} + \mathbf{b}$  (рис. 12.3).

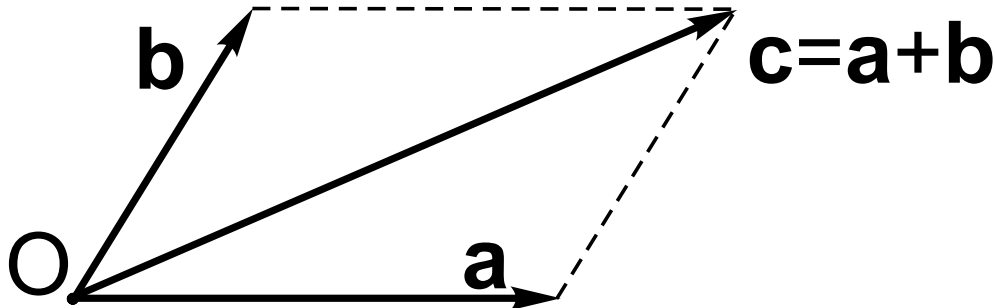


Рис. 12.3

Вектор  $\mathbf{c}$ , отложенный из точки  $O$ , можно заменить на результат разложения по двум прямым, проходящим через точку  $O$  (прямые и вектор  $\mathbf{c}$  расположены в одной плоскости, рис. 12.3).

**Определение 12.2.** Два множества скользящих векторов называются **эквивалентными**, если от одного множества к другому возможен переход при помощи преобразований 1э и 2э.

**Определение 12.3.** Главным вектором  $\mathbf{R}$  множества скользящих векторов  $\{\mathbf{a}_i\}$ ,  $i = \overline{1, N}$ , называется сумма

$$\mathbf{R} = \sum_{i=1}^N \mathbf{a}_i \quad (12.1)$$

— результат такого параллельного переноса векторов  $\mathbf{a}_i$ , что у них совпадают начальные точки, и последующего их сложения.

Главный вектор — свободный вектор, его точка приложения не определена.

**Определение 12.4.** Момент  $M_O(\mathbf{a}_i)$  вектора  $\mathbf{a}_i$  относительно точки  $O$  вычисляется по формуле

$$M_O(\mathbf{a}_i) = [\mathbf{r}_i, \mathbf{a}_i], \quad (12.2)$$

где вектор  $\mathbf{r}_i$  проведён из точки  $O$  к прямой, на которой расположен вектор  $\mathbf{a}_i$  (рис. 12.4).

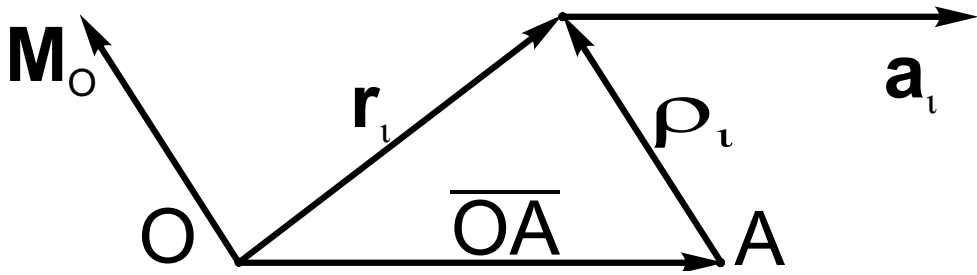


Рис. 12.4

Точка  $O$  принимается за начальную точку момента  $\mathbf{M}_O(\mathbf{a}_i)$ , то-есть, момент — приложенный вектор.

**Замечание 12.1.** Скорость точки  $B$  при чистом вращении тела (определение 11.2,  $\mathbf{V}_O = 0$ ) есть момент угловой скорости относительно точки  $B$ :

$$\mathbf{V}_B = [\boldsymbol{\omega}, \overline{OB}] = [\boldsymbol{\omega}, -\overline{BO}] = [\overline{BO}, \boldsymbol{\omega}] = \mathbf{M}_B(\boldsymbol{\omega}), \quad (12.3)$$

использованы формулы (11.3), (12.2), рис. 11.1, рис. 12.4.

**Определение 12.5.** Главным моментом  $\mathbf{M}_O$  множества скользящих векторов  $\{\mathbf{a}_i\}$ ,  $i = \overline{1, N}$ , называется сумма векторов  $\mathbf{M}_O(\mathbf{a}_i)$ , отложенных из точки  $O$ :

$$\mathbf{M}_O = \sum_{i=1}^N \mathbf{M}_O(\mathbf{a}_i) = \sum_{i=1}^N [\mathbf{r}_i, \mathbf{a}_i]. \quad (12.4)$$

Главный момент  $\mathbf{M}_O$  также приложенный вектор — к той точке  $O$ , относительно которой вычисляется. Из определений 12.3, 12.5 видно, что при эквивалентных преобразованиях 1Э и 2Э главный вектор и главный момент не изменяются.

**Определение 12.6.** Главный вектор  $\mathbf{R}$  и главный момент  $\mathbf{M}_O$  называются векторными инвариантами множества скользящих векторов.

**Теорема 12.1 (о переносе полюса).** Главные моменты относительно точек  $O$  и  $A$  связаны формулой

$$\mathbf{M}_A = \mathbf{M}_O - [\overline{OA}, \mathbf{R}], \quad (12.5)$$

где  $\mathbf{R}$  — главный вектор множества скользящих векторов.

□ Доказательство следует из последовательности преобразований (см. рис. 12.4 и (12.1)):

$$\mathbf{M}_A = \sum_{i=1}^N [\rho_i, \mathbf{a}_i] = \sum_{i=1}^N [\mathbf{r}_i - \overline{OA}, \mathbf{a}_i] = \sum_{i=1}^N [\mathbf{r}_i, \mathbf{a}_i] - [\overline{OA}, \sum_{i=1}^N \mathbf{a}_i] = \mathbf{M}_O - [\overline{OA}, \mathbf{R}].$$

■

Теорема 12.1 даёт возможность представить картину распределения главных моментов  $\mathbf{M}_A$  по пространству.

**Замечание 12.2.** Из формулы (12.5) следует, что при  $\mathbf{R} = 0$  главные моменты не меняются при переходе от точки к точке. В этом случае главный момент — свободный вектор. Такая картина имеет место для пары  $\{\mathbf{a}, -\mathbf{a}\}$  при любом плече — расстоянии между линиями, на которых расположены элементы пары  $\mathbf{a}$  и  $-\mathbf{a}$ .

Далее предполагается  $\mathbf{R} \neq 0$ . Укажем несколько следующих из формулы (12.5) свойств распределения главных моментов в этом случае.

1. Если точки  $O$  и  $A$  расположены на прямой, параллельной  $\mathbf{R}$ , то для главных моментов выполняется  $\mathbf{M}_A = \mathbf{M}_O$  (рис. 12.5).



Рис. 12.5

2. Для любых двух точек  $O$  и  $A$  выполняется

$$(\mathbf{R}, \mathbf{M}_A) = (\mathbf{R}, \mathbf{M}_O). \quad (12.6)$$

**Определение 12.7.** Скалярное произведение  $(\mathbf{R}, \mathbf{M}_O)$  главного вектора  $\mathbf{R}$  на главный момент  $\mathbf{M}_O$  называется **скалярным инвариантом** множества скользящих векторов.

Выражение  $(\mathbf{R}, \mathbf{M}_O)$  инвариантно не только при эквивалентных преобразованиях 1Э и 2Э, так как инвариантны сомножители, но и при вычислении главного момента относительно разных точек  $O$  и  $A$ .



Рис. 12.6

3. Если поделить соотношение (12.6) на инвариантное число  $R$  — величину главного вектора, то в обеих частях получим проекции главного момента на направление главного вектора:

$$\text{Пр}_{\mathbf{R}} \mathbf{M}_A = (\mathbf{R}/R, \mathbf{M}_A) = (\mathbf{R}/R, \mathbf{M}_O) = \text{Пр}_{\mathbf{R}} \mathbf{M}_O \quad (12.7)$$

— ещё один инвариант, не меняющийся и при эквивалентных преобразованиях и при переходе от точки к точке (рис. 12.6).

Таким образом, при переходе от точки к точке может изменяться только “поперечная” составляющая главного момента, и, когда главный момент параллелен главному вектору ( $[\mathbf{R}, \mathbf{M}_B] = 0$ ), “поперечная” составляющая равна нулю, и величина главного момента минимальна (рис. 12.6).

**Определение 12.8.** Прямая, для точек  $B$  которой выполняется  $[\mathbf{R}, \mathbf{M}_B] = 0$ , называется **осью минимальных моментов или осью винта**. Величина минимального главного момента равна

$$\min_B M_B = \frac{1}{R}(\mathbf{R}, \mathbf{M}_O). \quad (12.8)$$

Термин — ось винта — будет пояснён далее. Ось минимальных моментов параллельна главному вектору  $\mathbf{R}$  (свойство 1), поэтому достаточно найти одну принадлежащую ей точку. Удобно искать точку  $B$ , для которой выполняется  $\overline{OB} \perp \mathbf{R}$ ,  $O$  — точка, главный момент  $\mathbf{M}_O$  относительно которой известен. Умножим  $\mathbf{M}_B = \mathbf{M}_O - [\overline{OB}, \mathbf{R}]$  (см. (12.5)) векторно на  $\mathbf{R}$ , с учётом  $[\mathbf{R}, \mathbf{M}_B] = 0$  и  $\overline{OB} \perp \mathbf{R}$  получим результат:

$$\begin{aligned} 0 &= [\mathbf{R}, \mathbf{M}_B] = [\mathbf{R}, \mathbf{M}_O] - [\mathbf{R}, [\overline{OB}, \mathbf{R}]] = [\mathbf{R}, \mathbf{M}_O] - \overline{OB}(\mathbf{R}, \mathbf{R}) + \mathbf{R}(\mathbf{R}, \overline{OB}) = \\ &= [\mathbf{R}, \mathbf{M}_O] - \overline{OB}R^2, \end{aligned}$$

из которого находится расположение точки  $B$ :  $\overline{OB} = [\mathbf{R}, \mathbf{M}_O]/R^2$ , — и уравнение для оси минимальных моментов (оси винта)

$$\mathbf{r} = \frac{1}{R^2}[\mathbf{R}, \mathbf{M}_O] + \lambda\mathbf{R}, \quad (12.9)$$

где  $\lambda$  — произвольный вещественный параметр. В аналитической геометрии и теоретической механике используются и другие по сравнению с (12.9) уравнения для прямой линии и оси минимальных моментов [1, 3, 10, 14].

### § 13. ПРИВЕДЕНИЕ МНОЖЕСТВА СКОЛЬЗЯЩИХ ВЕКТОРОВ К ВИНТУ. ЭКВИВАЛЕНТНОСТЬ ДВУХ МНОЖЕСТВ СКОЛЬЗЯЩИХ ВЕКТОРОВ

**Определение 13.1.** Винтом называется совокупность: прямая линия — ось винта; расположенный на оси скользящий вектор  $\mathbf{R}$ ; расположенный на оси момент  $\mathbf{M}_B$  относительно точки  $B$  оси винта. Момент может быть представлен парой, лежащей в перпендикулярной к оси винта плоскости. Если элементы  $\mathbf{a}_i$  — угловые скорости, говорят **кинематический винт**, элементы  $\mathbf{a}_i$  — силы, говорят **статический винт**.

Покажем, что произвольное множество скользящих векторов  $\{\mathbf{a}_i\}$ ,  $i = \overline{1, N}$ , последовательностью, состоящей из введённых в § 12 эквивалентных преобразования 1 $\circ$  и 2 $\circ$ , приводится к винту. Для множества  $\{\mathbf{a}_i\}$ ,  $i = \overline{1, N}$ , по формулам (12.1) и (12.4) вычисляются главный вектор  $\mathbf{R}$  и главный момент  $\mathbf{M}_O$  относительно некоторой точки  $O$ . Предполагается  $\mathbf{R} \neq 0$ , при  $\mathbf{R} = 0$  винт не определён. Векторы  $\mathbf{R}$ ,  $\mathbf{M}_O$  и точка  $O$  по формуле (12.9) однозначно задают ось минимальных моментов (12.9) — ось винта (определение 12.8). Возьмём некоторую точку  $B$  на оси винта и каждый элемент  $\mathbf{a}_i$  множества  $\{\mathbf{a}_i\}$ ,  $i = \overline{1, N}$ , эквивалентно преобразуем (рис. 13.1): добавим к точке  $B$  векторный нуль  $\{\mathbf{a}_i, -\mathbf{a}_i\}$ .

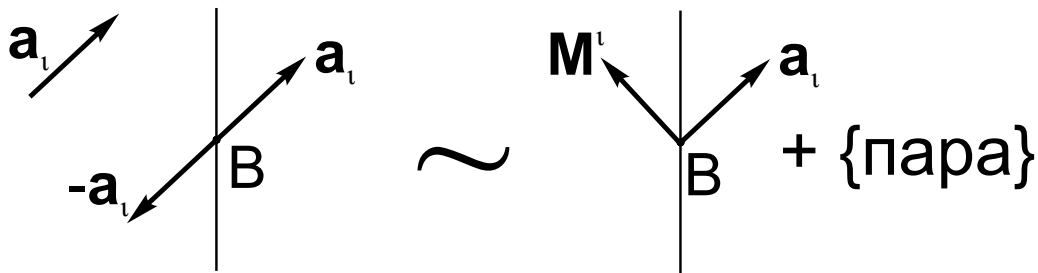


Рис. 13.1

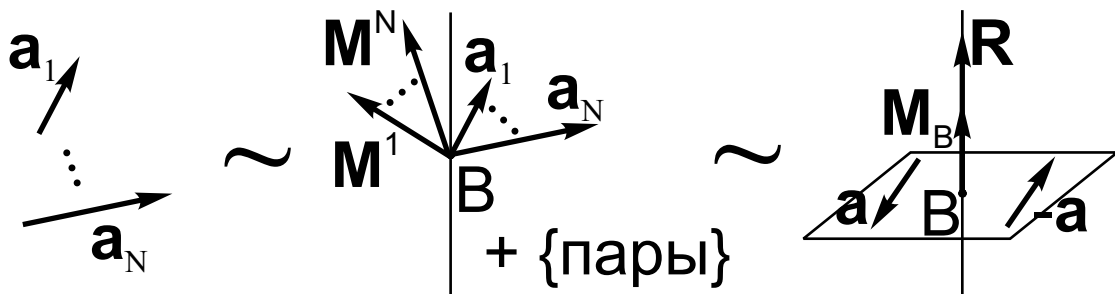


Рис. 13.2

Элемент  $\mathbf{a}_i$  эквивалентно представляется в виде вектора  $\mathbf{a}_i$ , отложенного из точки  $B$  оси винта, плюс пара  $\{\mathbf{a}_i, -\mathbf{a}_i\}$  с моментом  $\mathbf{M}^i$  (момент пары — свободный

вектор, замечание 12.2). Проделав эту операцию со всеми элементами  $\mathbf{a}_i$  множества  $\{\mathbf{a}_i\}$ ,  $i = \overline{1, N}$ , эквивалентно преобразуем множество  $\{\mathbf{a}_i\}$  в пучок векторов  $\mathbf{a}_i$ , отложенных из точки  $B$  оси винта, плюс совокупность пар  $\{\mathbf{a}_i, -\mathbf{a}_i\}$  с моментами  $\mathbf{M}^i$  (рис. 13.2). Пучок векторов  $\mathbf{a}_i$ , отложенных из точки  $B$ , заменим их векторной суммой (преобразование 2Э). Результат сложения равен по определению 12.2 главному вектору  $\mathbf{R} = \sum_{i=1}^N \mathbf{a}_i$ . Отметим, что в данном случае это вектор, приложенный к точке  $B$  и направленный по оси винта (определение 12.8). Вклад пар в главный момент — нулевой.

Приведём два результата из теории пар [14].

**Теорема 13.1.** Имеет место эквивалентность:

{От пары  $\{\mathbf{a}, -\mathbf{a}\}$  к паре  $\{\mathbf{b}, -\mathbf{b}\}$  существует переход  
при помощи эквивалентных преобразований 1Э и 2Э § 12.}  $\Updownarrow$

{Моменты  $\mathbf{M}^1$  и  $\mathbf{M}^2$ , соответствующие парам  $\{\mathbf{a}, -\mathbf{a}\}$  и  $\{\mathbf{b}, -\mathbf{b}\}$ ,  
совпадают:  $\mathbf{M}^1 = \mathbf{M}^2 = \mathbf{M}$ }

□ Утверждение  $\Downarrow$  следует из инвариантности главного момента при преобразованиях 1Э и 2Э. Утверждение  $\Updownarrow$  есть следствие трёх вспомогательных фактов: при помощи эквивалентных преобразований 1Э и 2Э можно

1. повернуть пару в своей плоскости;
2. изменить плечо пары;
3. перенести пару в параллельную плоскость.

Обоснование этих фактов и доказательство утверждения  $\Updownarrow$  предоставляется читателю (см. [14]). ■

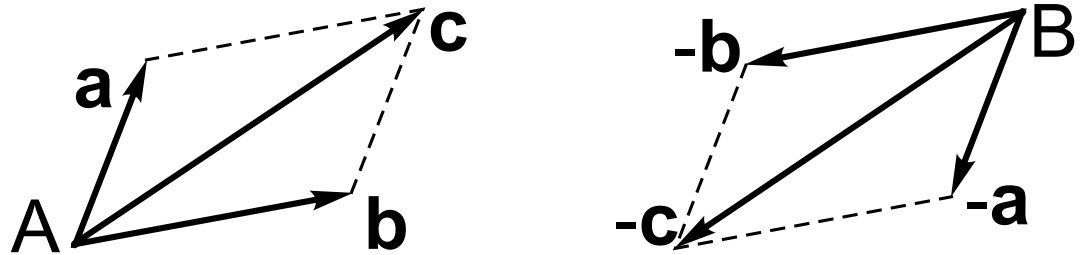


Рис. 13.3

**Теорема 13.2.** Две пары с моментами  $\mathbf{M}^1$  и  $\mathbf{M}^2$  можно эквивалентно заменить одной парой с моментом  $\mathbf{M} = \mathbf{M}^1 + \mathbf{M}^2$ .

□ Возьмём на линии, перпендикулярной одновременно  $\mathbf{M}^1$  и  $\mathbf{M}^2$ , две точки  $A, B$  и в силу теоремы 13.1 сделаем в исходных парах такой эквивалентный переход к парам  $\{\mathbf{a}, -\mathbf{a}\}$ ,  $\{\mathbf{b}, -\mathbf{b}\}$ , чтобы элементы пар  $\mathbf{a}, \mathbf{b}$  были приложены к точке  $A$ , а элементы  $-\mathbf{a}, -\mathbf{b}$  — к точке  $B$  (рис. 13.3):  $\mathbf{M}^1 = [\overline{AB}, \mathbf{a}]$ ,  $\mathbf{M}^2 = [\overline{AB}, \mathbf{b}]$ . Сложение двух векторов, приложенных к точке  $A$ , и двух векторов — к точке

$B$ , приводит к искомой паре: для главного момента выполняется  $\mathbf{M} = \mathbf{M}^1 + \mathbf{M}^2 = [\overline{AB}, \mathbf{a}] + [\overline{AB}, \mathbf{b}] = [\overline{AB}, \mathbf{a} + \mathbf{b}] = [\overline{AB}, \mathbf{c}]$ . ■

Теорема 13.2 позволяет вычислить главный момент относительно точки  $B$ :

$\mathbf{M}_B = \sum_{i=1}^N \mathbf{M}_i$ . Вклад векторов  $\mathbf{a}_i$ , приложенных к точке  $B$ , в главный момент  $\mathbf{M}_B$  нулевой. Главный момент  $\mathbf{M}_B$  — инвариант преобразований 1 $\circ$ , 2 $\circ$  и, так как точка  $B$  принадлежит оси винта, по определению 12.6 вектор  $\mathbf{M}_B$  направлен по этой оси и представим в виде пары (рис. 13.2).

Проведённые рассуждения дают возможным считать доказанным следующий результат.

**Теорема 13.3.** Любое множество скользящих векторов (определение 12.1) эквивалентно (определение 12.2) винту (определение 13.1).

**Алгоритм приведения множества скользящих векторов  $\{\mathbf{a}_i\}$ ,  $i = \overline{1, N}$ , к винту.**

1. По формулам (12.1) и (12.4) вычисляются главный вектор  $\mathbf{R}$  и главный момент  $\mathbf{M}_O$  относительно некоторой точки  $O$ :

$$\mathbf{R} = \sum_{i=1}^N \mathbf{a}_i, \quad \mathbf{M}_O = \sum_{i=1}^N [\overline{OO}_i, \mathbf{a}_i], \quad (13.1)$$

где  $O_i$  — точка приложения вектора  $\mathbf{a}_i$ . При  $\mathbf{R} = 0$  винт не определён.

2. При  $\mathbf{R} \neq 0$  формула (12.9) однозначно задаёт ось минимальных моментов — ось винта (определение 12.8):

$$\mathbf{r} = \frac{1}{R^2} [\mathbf{R}, \mathbf{M}_O] + \lambda \mathbf{R}, \quad (13.2)$$

где  $\lambda$  — произвольный вещественный параметр.

3. К произвольной точке  $B$  оси винта прикладывается вектор, равный главному вектору  $\mathbf{R}$ , и момент, равный вектору (см. (12.8))

$$\mathbf{M}_B = \frac{(\mathbf{R}, \mathbf{M}_O)}{R^2} \mathbf{R}. \quad (13.3)$$

Момент  $\mathbf{M}_B$  можно заменить парой  $\{\mathbf{a}, -\mathbf{a}\}$ , момент которой равен  $\mathbf{M}_B$  (рис. 13.2).

Примеры приведения множества скользящих векторов к винту будут рассмотрены в § 14.

Сформулируем и докажем результат об эквивалентности по определению 12.2 двух множеств скользящих векторов.

**Теорема 13.4.**

{Два множества скользящих векторов  $\{\mathbf{a}_i\}$  и  $\{\mathbf{b}_i\}$  эквивалентны.}

⇓

{Множества  $\{\mathbf{a}_i\}$  и  $\{\mathbf{b}_i\}$  имеют одинаковые главный вектор  $\mathbf{R}$  и главный момент  $\mathbf{M}_O$  относительно какой-нибудь точки  $O.$ }

□ Утверждение  $\Downarrow$  следует из определения 12.2 эквивалентности и факта инвариантности векторов  $\mathbf{R}$  и  $\mathbf{M}_O$  при эквивалентных преобразованиях 1Э и 2Э. Для обоснования утверждения  $\Updownarrow$  заметим, что совпадение векторов  $\mathbf{R}$  и  $\mathbf{M}_O$  влечёт совпадение соответствующих множествам винтов (см. алгоритм), а приведение к винту обратимо, так как обратимы преобразования 1Э и 2Э. Переход от  $\{\mathbf{a}_i\}$  к  $\{\mathbf{b}_i\}$  это совокупность преобразований: от  $\{\mathbf{a}_i\}$  к винту и от общего винта к  $\{\mathbf{b}_i\}$ . ■

## § 14. СТАТИКО-КИНЕМАТИЧЕСКИЕ АНАЛОГИИ. ПРИМЕРЫ ПРИВЕДЕНИЯ К ВИНТУ

Эквивалентным преобразованиям 1 $\exists$  и 2 $\exists$  (§ 12) — добавление и изъятие векторного нуля, сложение и разложение векторов с общей начальной точкой — некоторые физические объекты можно подвергать, а некоторые нет. Положительный (кинематический) пример был приведён в § 11: сколь угодно сложное движение твёрдого тела — это (с точки зрения распределения скоростей) одновременное участие во многих чистых вращениях с угловыми скоростями  $\omega_i$ . В § 11 было обосновано, что к множеству  $\{\omega_i\}$  можно применять эквивалентные преобразования 1 $\exists$  и 2 $\exists$ . Ещё один положительный пример (статический): множество сил, действующих на твёрдое тело. Поведение тела полностью определено главным вектором сил (§ 16, закон движения центра масс) и главным моментом сил (§ 17, закон изменения момента количества движения и одна из форм закона — динамические уравнения Эйлера, § 32). Оба вектора (главный вектор и главный момент) при эквивалентных преобразованиях 1 $\exists$  и 2 $\exists$  не меняются, поэтому множество сил можно этим преобразованиям подвергать. Отрицательный пример: две изолированные материальные точки. При отсутствии сил каждая точка перемещается с постоянной скоростью (§ 15). Если же к точкам применить векторный нуль  $\{F, -F\}$ , составленный из двух сил, причём, сила  $F$  приложена к одной точке, а сила  $-F$  к другой, то скорости точек будут меняться, то-есть, добавление векторного нуля меняет поведение системы.

Принадлежность угловых скоростей в сложном движении и сил, действующих на твёрдое тело, к скользящим векторам даёт возможность абстрагироваться от физической сущности объектов и использовать теорию скользящих векторов, развитую в предыдущих параграфах, с переносом полученных результатов с угловых скоростей на силы и обратно. В этом и заключается статико-кинематическая аналогия. В обоих случаях множество векторов приводится к винту.

Таблица 14.1

$R$	$M_O$	$(R, M_O)$	Кинематика	Статика
0	$\neq 0$		Поступательное движение	Пара сил
$\neq 0$		0	Чистое вращение	Равнодействующая
		$\neq 0$	Кинематический винт	Статический винт
0	0		Покой	Равновесие

В таблице 14.1 представлено, как результат приведения к винту интерпретируется в зависимости от инвариантов — векторных  $R$ ,  $M_O$  и скалярного  $(R, M_O)$

— в кинематике ( $\mathbf{R}$  — угловая скорость,  $\mathbf{M}_O$  — скорость точки  $O$ , замечание 12.1) и в статике ( $\mathbf{R}$  — сила,  $\mathbf{M}_O$  — момент силы).

Приведём два примера приведения к винту — кинематический и статический. В обоих примерах выполняется  $(\mathbf{R}, \mathbf{M}_O) \neq 0$ , то есть, по таблице 14.1 результат приведения — полноценный винт.

**Пример 14.1 [12, задача 4.48].** В ортонормированном базисе  $\mathbf{i}_1, \mathbf{i}_2, \mathbf{i}_3$  (§ 2) заданы скорости  $\mathbf{V}_A = v(\mathbf{i}_2 + \mathbf{i}_3)$ ,  $\mathbf{V}_B = v(\mathbf{i}_2 + \mathbf{i}_3)$ ,  $\mathbf{V}_C = -v\mathbf{i}_3$  точек  $A, B, C$ :  $\mathbf{r}_A = a\mathbf{i}_1$ ,  $\mathbf{r}_B = a\mathbf{i}_2$ ,  $\mathbf{r}_C = a\mathbf{i}_3$ , — твёрдого тела. Найти кинематический винт.

Из формулы (4.10) и данных задачи следует:

$$\mathbf{V}_B = \mathbf{V}_A + [\boldsymbol{\omega}, \overline{AB}], \quad [\boldsymbol{\omega}, \overline{AB}] = 0 \quad (\mathbf{V}_A = \mathbf{V}_B),$$

$$\boldsymbol{\omega} = k\overline{AB} = k(\mathbf{r}_B - \mathbf{r}_A) = ka(\mathbf{i}_2 - \mathbf{i}_1).$$

Подстановка  $\boldsymbol{\omega}$  в формулу  $\mathbf{V}_C = \mathbf{V}_A + [\boldsymbol{\omega}, \overline{AC}]$  ( $\overline{AC} = \mathbf{r}_C - \mathbf{r}_A$ ) приводит к результатам:  $k = -v/a^2$ ,  $\boldsymbol{\omega} = (\mathbf{i}_1 - \mathbf{i}_2)v/a$ . По формуле (4.10) вычисляется скорость начальной точки  $O$  базиса:  $\mathbf{V}_O = \mathbf{V}_A + [\boldsymbol{\omega}, \overline{AO}] = v\mathbf{i}_2$ , ( $\overline{AO} = -\mathbf{r}_A = -a\mathbf{i}_1$ ). Следуя замечанию 12.1, принимаем в качестве главного вектора  $\mathbf{R} = \boldsymbol{\omega} = (\mathbf{i}_1 - \mathbf{i}_2)v/a$ , главного момента  $\mathbf{M}_O = \mathbf{V}_O = v\mathbf{i}_2$  и используем алгоритм приведения к винту § 13. Формула (13.2) задаёт ось винта:

$$\mathbf{r} = \frac{1}{R^2}[\mathbf{R}, \mathbf{M}_O] + \lambda\mathbf{R} = a(\lambda\mathbf{i}_1 - \lambda\mathbf{i}_2 + \mathbf{i}_3/2).$$

Проекция формулы на направления ортов:  $x_1 = \lambda a$ ,  $x_2 = -\lambda a$ ,  $x_3 = a/2$ , — и исключение параметра  $\lambda$  приводит к более понятному представлению оси винта  $x_1 + x_2 = 0$ ,  $x_3 = a/2$ . На оси винта располагаются главный вектор  $\mathbf{R}$  и главный момент (см. (13.3))  $\mathbf{M}$ :

$$\mathbf{R} = \boldsymbol{\omega} = (\mathbf{i}_1 - \mathbf{i}_2)v/a, \quad \mathbf{M} = \mathbf{V} = (\mathbf{i}_2 - \mathbf{i}_1)v/2.$$

Тело, как гайка при накручивании на винт, перемещается вдоль оси винта со скоростью  $V = |\mathbf{M}| = v/\sqrt{2}$  и вращается вокруг оси винта с угловой скоростью  $\omega = |\mathbf{R}| = v\sqrt{2}/a$ .

**Пример 14.2 [11, задача 7.12].** В ортонормированном базисе  $\mathbf{i}_1, \mathbf{i}_2, \mathbf{i}_3$  ( $\mathbf{i}_3$  — направление от центра Земли) на радиомачту действуют: сила веса  $\mathbf{G} = -G\mathbf{i}_3$ , сила натяжения антенны  $\mathbf{F} = F\mathbf{i}_2$  и равнодействующая сила давления ветра  $\mathbf{P} = P\mathbf{i}_1$ . Силы приложены к точкам:  $\mathbf{r}_G = l\mathbf{i}_3$ ,  $\mathbf{r}_F = H\mathbf{i}_3$ ,  $\mathbf{r}_P = h\mathbf{i}_3$ . Найти статический винт.

Следуя алгоритму § 13, вычисляем по формулам (13.1) главный вектор  $\mathbf{R}$  и главный момент  $\mathbf{M}_O$  относительно начальной точки  $O$  базиса:

$$\mathbf{R} = P\mathbf{i}_1 + F\mathbf{i}_2 - G\mathbf{i}_3, \quad \mathbf{M}_O = -FH\mathbf{i}_1 + Ph\mathbf{i}_2.$$

Далее вычисляем вспомогательные объекты

$$R^2 = P^2 + F^2 + G^2, \quad (\mathbf{R}, \mathbf{M}_O) = PF(h - H),$$

$$[\mathbf{R}, \mathbf{M}_O] = PGh \mathbf{i}_1 + FGh \mathbf{i}_2 + (P^2h + F^2H) \mathbf{i}_3$$

и по формуле (13.2) ось винта

$$\mathbf{r} = \frac{PGh \mathbf{i}_1 + FGh \mathbf{i}_2 + (P^2h + F^2H) \mathbf{i}_3}{P^2 + F^2 + G^2} + \lambda(P \mathbf{i}_1 + F \mathbf{i}_2 - G \mathbf{i}_3).$$

Проекция формулы на направления ортов и приравнивание нулю координаты  $x_3$  приводит к результату  $\lambda = (P^2h + F^2H)/\{G(P^2 + F^2 + G^2)\}$  и к точке пересечения осью винта плоскости  $\{x_1, x_2\}$ :

$$x_1 = \frac{P(P^2h + F^2H + G^2h)}{G(P^2 + F^2 + G^2)}, \quad x_2 = \frac{F(P^2h + F^2H + G^2H)}{G(P^2 + F^2 + G^2)}, \quad x_3 = 0,$$

а направлением оси винта является  $\mathbf{R} = P \mathbf{i}_1 + F \mathbf{i}_2 - G \mathbf{i}_3$  (другое представление оси винта). На оси винта располагаются: сила — главный вектор  $\mathbf{R}$  и момент  $\mathbf{M}$  пары (см. (13.3)) с величинами

$$R = \sqrt{P^2 + F^2 + G^2}, \quad M = \frac{PF(h - H)}{\sqrt{P^2 + F^2 + G^2}}.$$

“Ньютон, прости меня! В твоё время ты нашёл тот единственный путь, который был пределом возможного для человека величайшего ума и творческой силы... Пусть никто не думает, что великое создание Ньютона может быть ниспровергнуто теорией относительности или какой-нибудь другой теорией. Ясные и широкие идеи Ньютона навечно сохранят своё значение фундамента, на котором построены наши современные физические представления”.

А. Эйнштейн. Собрание научных трудов, т. IV. М., изд-во “Наука”, 1967. С. 270.

## ДИНАМИКА

### ГЛАВА 5

### ОСНОВНЫЕ ЗАКОНЫ ДИНАМИКИ В ИНЕРЦИАЛЬНЫХ И НЕИНЕРЦИАЛЬНЫХ СИСТЕМАХ ОТСЧЁТА

#### § 15. ДИНАМИКА МАТЕРИАЛЬНОЙ ТОЧКИ

Введём основные понятия.

**Материальная точка** — геометрическая точка, которой поставлено в соответствие положительное число  $m$  (**масса**), не меняющееся во время движения (определение 1.1). **Состояние материальной точки**: её положение  $\mathbf{r}$  и скорость  $\mathbf{V}$ .

**Изолированная материальная точка** — точка, не взаимодействующая с другими точками.

**Инерциальная система отсчёта** — система, в которой изолированная материальная точка движется с постоянной скоростью:  $\mathbf{V} = \dot{\mathbf{r}} = \text{const}$  (**первый закон Ньютона**).

**Импульсом — количеством движения — точки** называется выражение  $\mathbf{Q} = m\mathbf{V} = m\dot{\mathbf{r}}$ .

По первому закону Ньютона для **изолированной точки в инерциальной системе отсчёта** выполняется

$$\mathbf{Q} = m\mathbf{V} = m\dot{\mathbf{r}} = \text{const.}$$

У неизолированной точки в инерциальной системе отсчёта импульс изменяется.

**Силой  $\mathbf{F}$ , действующей на неизолированную точку (мерой взаимодействия с другими точками) называется производная от импульса по времени  $t$  (второй закон Ньютона):**

$$\dot{\mathbf{Q}} = m\dot{\mathbf{V}} = m\mathbf{W} = m\ddot{\mathbf{r}} = \mathbf{F}(t, \mathbf{r}, \dot{\mathbf{r}}). \quad (15.1)$$

В ньютоновой конечномерной механике предполагается, что сила может зависеть только от указанных аргументов: времени  $t$  и состояния точки — положения  $\mathbf{r}$  и скорости  $\mathbf{V} = \dot{\mathbf{r}}$ . Далее для краткости уравнение (15.1) будет называться **уравнение Ньютона**.

Рассмотрим **неизолированную точку в неинерциальной системе отсчёта**. Если формулу (7.10) для ускорения в подвижной системе умножить на массу  $m$ , с учётом (15.1) получим соотношение

$$m\mathbf{W}_{abc} = m\mathbf{W} = m\mathbf{W}_{nep} + m\mathbf{W}_{oth} + m\mathbf{W}_{kor} = \mathbf{F},$$

из которой следует, как нужно подправить второй закон Ньютона (15.1), чтобы он работал в произвольной (подвижной, неинерциальной) системе отсчёта:

$$m\mathbf{W}_{oth} = \mathbf{F} + \mathbf{J}_{nep} + \mathbf{J}_{kor}. \quad (15.2)$$

Введены обозначения для **переносной и кориолисовой сил инерции**:

$$\mathbf{J}_{nep} = -m\mathbf{W}_{nep}, \quad \mathbf{J}_{kor} = -m\mathbf{W}_{kor} = -2m[\boldsymbol{\omega}_{nep}, \mathbf{V}_{oth}], \quad (15.3)$$

(см. (7.9)).

**Пример 15.1.** Система координат вращается вокруг своей вертикальной оси  $\mathbf{e}_3$  с угловой скоростью  $\boldsymbol{\omega}(t) = \omega(t)\mathbf{e}_3$ . Материальная точка может перемещаться вдоль оси  $\mathbf{e}_2$ :  $\mathbf{r} = y\mathbf{e}_2$  (рис. 15.1). При движении точка испытывает трение скольжения с коэффициентом трения  $f$ . Составить уравнение движения точки.

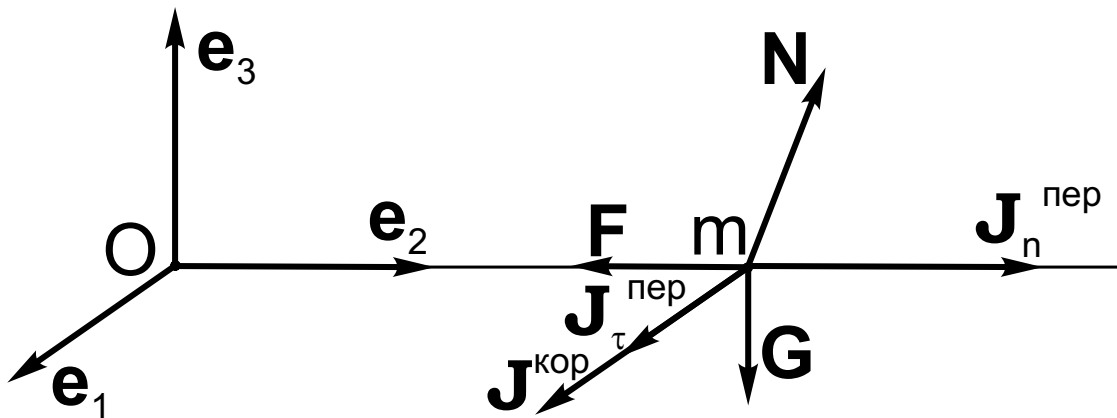


Рис. 15.1

При переходе в подвижную систему вводятся силы инерции (см. (15.3)):

$$\mathbf{J}^{nep} = -m\mathbf{W}^{nep} = -m\mathbf{W}_n^{nep} - m\mathbf{W}_\tau^{nep} = \mathbf{J}_n^{nep} + \mathbf{J}_\tau^{nep} = m\omega^2(t)y\mathbf{e}_2 + m\dot{\omega}(t)y\mathbf{e}_1,$$

$$\mathbf{J}^{kop} = -m\mathbf{W}^{kop} = -2m[\boldsymbol{\omega}^{nep}, \mathbf{V}^{oth}] = 2m\omega(t)\dot{y}\mathbf{e}_1$$

(см. сноску на стр. 29). На точку действуют сила трения скольжения  $\mathbf{F} = -F\mathbf{e}_2 \operatorname{sign} \dot{y}$ , сила тяжести  $\mathbf{G} = -mg\mathbf{e}_3$  и нормальная реакция  $\mathbf{N}$  (рис. 15.1). Проекция уравнения Ньютона (15.1) на ось  $\mathbf{e}_2$  приводит к уравнению  $m\ddot{y} = m\omega^2(t)y - F$ . Для величины  $F$  силы трения выполняется  $F = fN$ ,  $f$  — коэффициент трения скольжения,  $N$  — величина нормальной реакции. Для вычисления нормальной реакции  $\mathbf{N}$  спроектируем уравнение Ньютона (15.1) на плоскость  $\{\mathbf{e}_1, \mathbf{e}_3\}$ :

$$0 = \mathbf{N} + \mathbf{G} + \mathbf{J}_\tau^{nep} + \mathbf{J}^{kop} = \mathbf{N} - mg\mathbf{e}_3 + m\dot{\omega}(t)y\mathbf{e}_1 + 2m\omega(t)\dot{y}\mathbf{e}_1.$$

Из полученного уравнения находится нормальная реакция  $\mathbf{N}$  и её величина  $N = \sqrt{m^2g^2 + (\dot{\omega}(t)y + 2m\omega(t)\dot{y})^2}$ . По функции  $N$  вычисляется величина силы трения, подстановка которой в уравнение Ньютона после сокращения на массу  $m$  приводит к окончательному виду уравнения движения точки:

$$\ddot{y} = \omega^2(t)y - f\sqrt{g^2 + (\dot{\omega}(t)y + 2m\omega(t)\dot{y})^2} \operatorname{sign} \dot{y}$$

— нелинейному нестационарному обыкновенному дифференциальному уравнению второго порядка с разрывной правой частью.

## § 16. СИСТЕМА МАТЕРИАЛЬНЫХ ТОЧЕК. ЗАКОН ИЗМЕНЕНИЯ ИМПУЛЬСА

Система состоит из  $N$  материальных точек (рис. 16.1). Силы взаимодействия между двумя точками, принадлежащими системе, называются **внутренними** и представляют собой векторный нуль: два вектора  $\{\mathbf{F}_{\text{внутр}}, -\mathbf{F}_{\text{внутр}}\}$ , расположенные на одной прямой (**третий закон Ньютона**). Силы  $\mathbf{F}_{\text{внешн}}$ , действующие на точки, принадлежащие системе, и вызванные взаимодействием с точками, не принадлежащими системе, называются **внешними**.

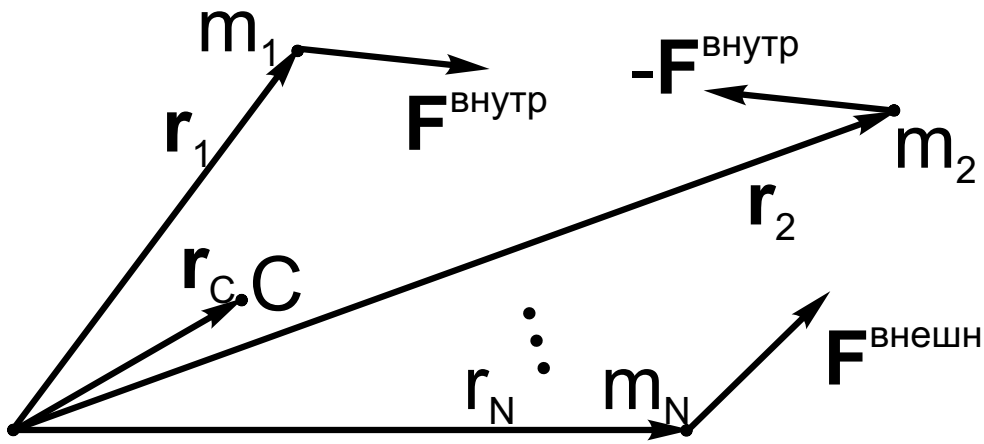


Рис. 16.1

**Определение 16.1.** Центр инерции системы материальных точек вычисляется по формуле

$$\mathbf{r}_C = \frac{1}{m} \sum_{i=1}^N m_i \mathbf{r}_i, \quad m = \sum_{i=1}^N m_i. \quad (16.1)$$

Для твёрдого тела вместо термина “центр инерции” употребляется термин “центр масс”.

Центр инерции располагается “внутри” системы материальных точек: принадлежит выпуклой оболочке системы — множеству точек  $\mathbf{r} = \sum_{i=1}^N \lambda_i \mathbf{r}_i$ ,  $\lambda_i \geq 0$ ,  $\sum_{i=1}^N \lambda_i = 1$  ( $\lambda_i = m_i/m$ ). Поведение центра инерции определяет “по крупному” поведение системы материальных точек.

**Определение 16.2.** Импульс — количество движения — системы мате-

риальных точек вычисляется по формуле

$$\mathbf{Q} = \sum_{i=1}^N m_i \mathbf{V}_i = \sum_{i=1}^N m_i \dot{\mathbf{r}}_i. \quad (16.2)$$

Импульс системы — главный вектор (определение 12.3) импульсов отдельных точек — и является свободным вектором (с неопределенной точкой приложения). Из (16.1) следует  $m\mathbf{r}_C = \sum_{i=1}^N m_i \mathbf{r}_i$ , а после дифференцирования по времени  $t$ :

$$m\dot{\mathbf{r}}_C = m\mathbf{V}_C = \sum_{i=1}^N m_i \dot{\mathbf{r}}_i = \sum_{i=1}^N m_i \mathbf{V}_i = \mathbf{Q}, \quad (16.3)$$

то есть, импульс реагирует только на движение центра инерции:

$$\mathbf{Q} = m\mathbf{V}_C. \quad (16.4)$$

Дифференцирование по времени  $t$  соотношения (16.3)

$$m\ddot{\mathbf{r}}_C = m\dot{\mathbf{V}}_C = \sum_{i=1}^N m_i \ddot{\mathbf{r}}_i = \sum_{i=1}^N m_i \dot{\mathbf{V}}_i = \dot{\mathbf{Q}},$$

учёт уравнения Ньютона (15.1) ( $m_i \dot{\mathbf{V}}_i = m\ddot{\mathbf{r}}_i = \mathbf{F}_i^{внешн} + \mathbf{F}_i^{внутр}$ )

$$\dot{\mathbf{Q}} = m\dot{\mathbf{V}}_C = m\mathbf{W}_C = m\ddot{\mathbf{r}}_C = \sum_{i=1}^N m_i \ddot{\mathbf{r}}_i = \sum_{i=1}^N m_i \dot{\mathbf{V}}_i = \sum_{i=1}^N (\mathbf{F}_i^{внешн} + \mathbf{F}_i^{внутр})$$

и того обстоятельства, что “действие равно противодействию” ( $\sum_{i=1}^N \mathbf{F}_i^{внутр} = 0$ ), приводит к **закону изменения импульса — количества движения** — и к **закону движения центра инерции**

$$\dot{\mathbf{Q}} = \mathbf{R}^{внешн}, \quad m\mathbf{W}_C = \mathbf{R}^{внешн}, \quad (16.5)$$

обозначено  $\mathbf{R}^{внешн}$  — главный вектор внешних сил, действующих на систему:  $\mathbf{R}^{внешн} = \sum_{i=1}^N \mathbf{F}_i^{внешн}$ . Если проекция  $R_z^{внешн}$  вектора  $\mathbf{R}^{внешн}$  на некоторое направление  $\mathbf{z}$  равна нулю, то имеют место **закон сохранения импульса — количества движения**:  $Q_z = \text{const}$ , — и равномерность движения в этом направлении центра инерции:  $V_z = \text{const}$ .

Если импульс и ускорение центра инерции измеряются в неинерциальной системе отсчёта, то надо к каждой точке добавить силы инерции (15.3) и добавить в правые части законов (16.5) главные векторы  $\mathbf{R}^{пер}$ ,  $\mathbf{R}^{кор}$  переносных и кориолисовых сил инерции. Вычислим, к примеру,  $\mathbf{R}^{кор}$  (см. (15.3) и (16.3)):

$$\mathbf{R}^{кор} = -2 \sum_{i=1}^N m_i [\boldsymbol{\omega}^{пер}, \mathbf{V}_i^{OTH}] = -2[\boldsymbol{\omega}^{пер}, \sum_{i=1}^N m_i \mathbf{V}_i^{OTH}] = -2m[\boldsymbol{\omega}^{пер}, \mathbf{V}_C^{OTH}].$$

Аналогичные вычисления для главного вектора  $\mathbf{R}^{nep}$  приводят к результату  $\mathbf{R}^{nep} = -m\mathbf{W}_C^{nep}$ , то есть, поправки в законы (16.5) при переходе в неинерциальную систему координат реагируют только на поведение центра инерции:  $\mathbf{R}^{kop} = -2m[\boldsymbol{\omega}^{nep}, \mathbf{V}_C^{0TH}], \mathbf{R}^{nep} = -m\mathbf{W}_C^{nep}$ .

## § 17. ЗАКОН ИЗМЕНЕНИЯ МОМЕНТА ИМПУЛЬСА. ДИНАМИКА ПЛОСКОГО ДВИЖЕНИЯ

**Определение 17.1.** Момент импульса — момент количества движения, кинетический момент — системы материальных точек относительно точки  $O$  вычисляется по формуле

$$\mathbf{K}_O = \sum_{i=1}^N [\mathbf{r}_i, m_i \mathbf{V}_i], \quad (17.1)$$

где вектор  $\mathbf{r}_i$  проведён из точки  $O$  к материальной точке номер  $i$  (см. определение 12.4).

Момент импульса  $\mathbf{K}_O$  системы является главным моментом (определение 12.5) импульсов отдельных точек и приложен к точке  $O$ , относительно которой момент импульса вычисляется (рис. 17.1).

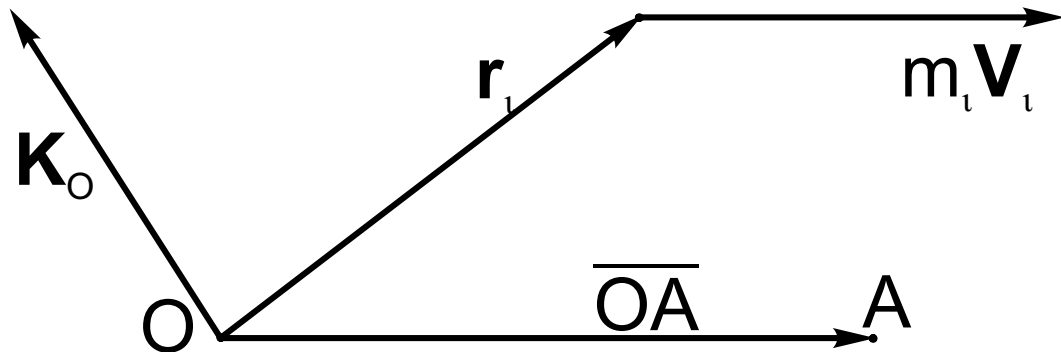


Рис. 17.1

Из теоремы 12.1 следует формула пересчёта момента импульса при переходе от точки  $O$  к другой точке  $A$  (см. (12.5)):

$$\mathbf{K}_A = \mathbf{K}_O - [\overline{OA}, \mathbf{Q}], \quad (17.2)$$

$\mathbf{Q}$  — импульс системы.

Дифференцирование по времени  $t$  соотношения (17.1)

$$\dot{\mathbf{K}}_O = \sum_{i=1}^N [\mathbf{r}_i, m_i \dot{\mathbf{V}}_i] + \sum_{i=1}^N [\dot{\mathbf{r}}_i, m_i \mathbf{V}_i],$$

учёт уравнения Ньютона (15.1) ( $m_i \dot{\mathbf{V}}_i = \mathbf{F}_i^{внешн} + \mathbf{F}_i^{внутр}$ ) и формулы  $\dot{\mathbf{r}}_i = \mathbf{V}_i - \mathbf{V}_O$  (см. (1.8) и рис. 1.2)

$$\dot{\mathbf{K}}_O = \sum_{i=1}^N [\mathbf{r}_i, \mathbf{F}_i^{внешн} + \mathbf{F}_i^{внутр}] + \sum_{i=1}^N [\mathbf{V}_i - \mathbf{V}_O, m_i \mathbf{V}_i],$$

а также того обстоятельства, что для моментов внутренних сил выполняется  $\sum_{i=1}^N [\mathbf{r}_i, \mathbf{F}_i^{внеш}] = 0$ , приводит к **закону изменения момента импульса — момента количества движения, кинетического момента**

$$\dot{\mathbf{K}}_O = \mathbf{M}_O^{внеш} - m[\mathbf{V}_O, \mathbf{V}_C] \quad (17.3)$$

системы материальных точек, обозначено  $\mathbf{M}_O^{внеш}$  — главный момент внешних сил, действующих на систему:  $\mathbf{M}_O^{внеш} = \sum_{i=1}^N [\mathbf{r}_i, \mathbf{F}_i^{внеш}]$ , и использована формула (16.3):  $\sum_{i=1}^N m_i \mathbf{V}_i = m \mathbf{V}_C$  ( $C$  — центр инерции системы). Отметим два практически важных случая, когда закон (17.3) упрощается

$$\left\{ \begin{array}{l} 1. \quad \mathbf{V}_O = 0, \\ 2. \quad O = C \end{array} \right\} \Rightarrow \dot{\mathbf{K}}_O = \mathbf{M}_O^{внеш}. \quad (17.4)$$

Если проекция  $M_z^{внеш}$  вектора  $\mathbf{M}_O^{внеш}$  на некоторое направление  $\mathbf{z}$  равна нулю, то в ситуации (17.4) имеет место **закон сохранения момента импульса (момента количества движения, кинетического момента)** — момента относительно оси  $z$ :  $K_z = \text{const}$ .

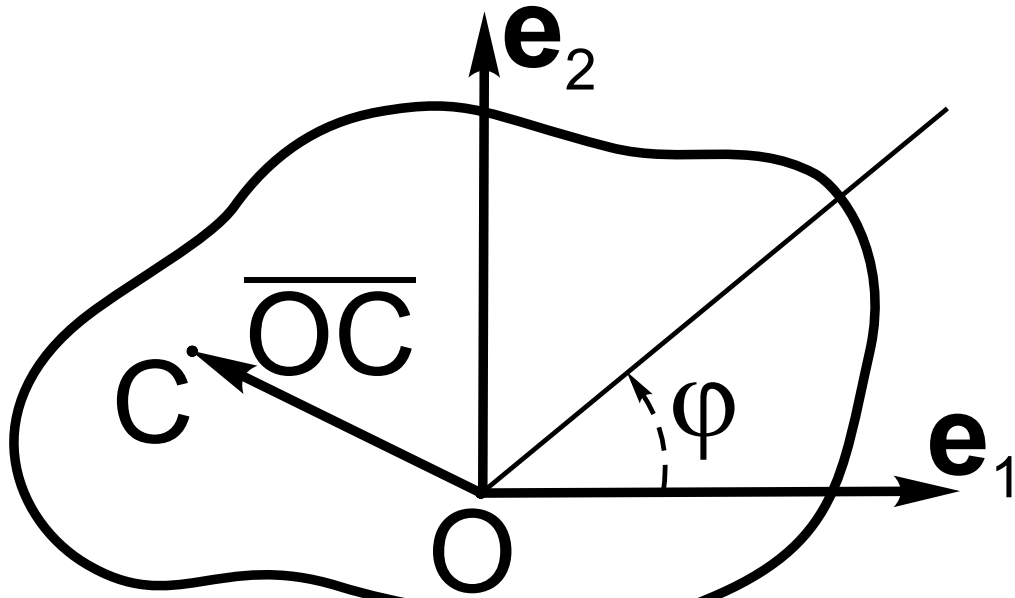


Рис. 17.2

Если скорости точек, а значит и момент импульса (17.1) измеряются в неинерциальной системе отсчёта, то надо к каждой точке добавить силы инерции (15.3)

и добавить в правые части законов (17.3) и (17.4) главные моменты  $\mathbf{M}_O^{nep}$ ,  $\mathbf{M}_O^{kop}$  переносных и кориолисовых сил инерции.

Рассмотрим использование неинерциальной системы для составления **динамических уравнений в плоском движении**. Плоское твёрдое тело соверша-ет движение в плоскости под действием известных сил (рис. 17.2). Подвижная система перемещается поступательно:  $\boldsymbol{\omega}^{nep} = 0$  (определение 11.1), одна из точек подвижной системы совпадает с точкой  $O$  тела. С подвижной системой связем базис: орты  $\mathbf{e}_1, \mathbf{e}_2$  расположены в плоскости движения, орт  $\mathbf{e}_3$  перпендикулярен плоскости. Угловая скорость  $\boldsymbol{\omega}$  тела в плоском движении направлена по орту  $\mathbf{e}_3$ :  $\boldsymbol{\omega} = \omega \mathbf{e}_3$ , величина угловой скорости равна  $\omega = \dot{\varphi}$  — производной по времени  $t$  угла поворота (пример 6.1, (6.4), рис. 6.1, рис. 17.2).

В подвижной системе тело вращается вокруг неподвижной оси  $\mathbf{e}_3$  с угловой скоростью (см. (9.4))

$$\boldsymbol{\omega}^{oth} = \boldsymbol{\omega} - \boldsymbol{\omega}^{nep} = \boldsymbol{\omega} = \omega \mathbf{e}_3 = \dot{\varphi} \mathbf{e}_3 \quad (17.5)$$

(учтено  $\boldsymbol{\omega}^{nep} = 0$ ). В подвижной системе момент импульса относительно неподвижной точки  $O$  равен:

$$\begin{aligned} \mathbf{K}_O &= \sum_{i=1}^N [\mathbf{r}_i, m_i \mathbf{V}_i] = \sum_{i=1}^N m_i [\mathbf{r}_i, [\boldsymbol{\omega}, \mathbf{r}_i]] = \\ &= \sum_{i=1}^N m_i \{ \boldsymbol{\omega}(\mathbf{r}_i, \mathbf{r}_i) - \mathbf{r}_i (\boldsymbol{\omega}, \mathbf{r}_i) \} = \boldsymbol{\omega} \sum_{i=1}^N m_i r_i^2 = I_O \boldsymbol{\omega}, \end{aligned} \quad (17.6)$$

использована формула (11.3), учтено, что  $\boldsymbol{\omega} \perp \mathbf{r}_i$ , введено обозначение для момента инерции  $I_0 = \sum_{i=1}^N m_i r_i^2$ . В подвижной системе вследствие  $\boldsymbol{\omega}^{nep} = 0$  справедливо  $\mathbf{W}_i^{nep} = \mathbf{W}_O$ , поэтому для главного момента переносных сил инерции выполняется (см. (15.3), (16.1)):

$$\mathbf{M}_O^{nep} = \sum_{i=1}^N [\mathbf{r}_i, -m_i \mathbf{W}_i^{nep}] = -[\sum_{i=1}^N m_i \mathbf{r}_i, \mathbf{W}_O] = -m[\overline{OC}, \mathbf{W}_O]. \quad (17.7)$$

Вследствие  $\boldsymbol{\omega}^{nep} = 0$  для главного момента кориолисовых сил инерции выполняется (см. (15.3)):

$$\mathbf{M}_O^{kop} = \sum_{i=1}^N [\mathbf{r}_i, -m_i \mathbf{W}_i^{kop}] = -2 \sum_{i=1}^N m_i [\mathbf{r}_i, [\boldsymbol{\omega}^{nep}, \mathbf{V}^{oth}]] = 0. \quad (17.8)$$

Подстановка соотношений (17.6) — (17.8) в закон (17.4)

$$\dot{\mathbf{K}}_O = \mathbf{M}_O^{внешн} + \mathbf{M}_O^{nep} + \mathbf{M}_O^{kop}$$

в неинерциальной системе координат приводит к результату

$$I_O \dot{\boldsymbol{\omega}} = \mathbf{M}_O^{внешн} - m[\overline{OC}, \mathbf{W}_O]. \quad (17.9)$$

Обратим внимание, что в формуле (17.9) участвует не скорость  $\mathbf{V}_O$  точки  $O$  тела, а её ускорение  $\mathbf{W}_O$ . Отметим два практически важных случая, когда закон (17.9) упрощается

$$\left\{ \begin{array}{l} 1. \quad \mathbf{W}_O = \mathbf{0}, \\ 2. \quad O = C \end{array} \right\} \Rightarrow I_O \dot{\omega} = \mathbf{M}_O^{\text{внешн}}. \quad (17.10)$$

В скалярном виде уравнение (17.10) с учётом (17.5) записывается следующим образом:  $I_O \ddot{\varphi} = M_O^{\text{внешн}}$ . После добавления закона движения центра масс (16.5), например, в проекциях на орты  $\mathbf{e}_1, \mathbf{e}_2$ , получается полный набор динамических уравнений плоского движения:

$$m\ddot{x} = R_x^{\text{внешн}}, \quad m\ddot{y} = R_y^{\text{внешн}}, \quad I_O \ddot{\varphi} = M_O^{\text{внешн}}, \quad (17.11)$$

где  $x, y$  — декартовы координаты центра масс (§ 2),  $R_x^{\text{внешн}}, R_y^{\text{внешн}}$  — проекции главного вектора внешних сил на оси декартовой системы, точка  $O$  в (17.11) выбрана в соответствии с условиями (17.10).

## § 18. ЗАКОН ИЗМЕНЕНИЯ КИНЕТИЧЕСКОЙ ЭНЕРГИИ

**Определение 18.1.** Кинетическая энергия системы вычисляется по формуле

$$T = \frac{1}{2} \sum_{i=1}^N m_i V_i^2 = \frac{1}{2} \sum_{i=1}^N m_i (\mathbf{V}_i, \mathbf{V}_i). \quad (18.1)$$

Дифференцирование (18.1) по времени  $t$  приводит с учётом уравнения Ньютона (15.1) ( $m_i \dot{\mathbf{V}}_i = \mathbf{F}_i$ ) к выражению

$$\frac{dT}{dt} = \sum_{i=1}^N (m_i \dot{\mathbf{V}}_i, \mathbf{V}_i) = \sum_{i=1}^N (\mathbf{F}_i, \mathbf{V}_i) = N. \quad (18.2)$$

Обозначение  $N$  поясняет следующее

**Определение 18.2.** Мощность  $N$  сил, действующих на систему материальных точек, вычисляется по формуле

$$N = \sum_{i=1}^N (\mathbf{F}_i, \mathbf{V}_i), \quad (18.3)$$

где  $\mathbf{V}_i$  — скорость точки, к которой приложена сила  $\mathbf{F}_i$ .

**Определение 18.3.** Элементарная работа  $\delta A$  сил, действующих на систему материальных точек, вычисляется по формуле

$$\delta A = \sum_{i=1}^N (\mathbf{F}_i, d\mathbf{r}_i), \quad (18.4)$$

где  $d\mathbf{r}_i$  — перемещение точки, к которой приложена сила  $\mathbf{F}_i$ .

Умножение (18.2) на  $dt$  с учётом  $\mathbf{V}_i dt = d\mathbf{r}_i$  и (18.4) приводит к **закону изменения кинетической энергии в дифференциальной форме**:

$$dT = \delta A. \quad (18.5)$$

Пусть система время  $t \in [t_1, t_2]$  перемещается по пути  $\mathbf{r}_i(t)$ .

**Определение 18.4.** Работа  $A_{12}$  сил на пути  $\mathbf{r}_i(t)$  системы материальных точек за время  $t \in [t_1, t_2]$  вычисляется по формуле (см. (18.4))

$$A_{12} = \int_{t_1}^{t_2} \delta A = \int_{t_1}^{t_2} \sum_{i=1}^N (\mathbf{F}_i, d\mathbf{r}_i) = \int_{t_1}^{t_2} \sum_{i=1}^N (\mathbf{F}_i(t, \mathbf{r}(t), \dot{\mathbf{r}}(t)), \mathbf{V}_i(t)) dt. \quad (18.6)$$

Интегрирование формулы (18.5) приводит с учётом (18.6) к **закону изменения кинетической энергии в интегральной форме** :

$$T_2 - T_1 = A_{12}. \quad (18.7)$$

Отметим, что работа, которая по законам (18.5) и (18.7) меняет кинетическую энергию, совершается не только внешними силами, но и внутренними. Например, если пружину между двумя грузами растянуть и грузы из состояния покоя отпустить, то каждая внутренняя сила начнёт совершать положительную работу, и кинетическая энергия по закону (18.7) увеличится.

Если силы, действующие на систему материальных точек, работы не совершают ( $A_{12} = 0$ ), то кинетическая энергия сохраняется: в (18.7)  $T_2 = T_1$  (см. пример 18.2).

Приведём результат, помогающий вычислять кинетическую энергию систем материальных точек. Если система совершает сложное движение, то подстановка скорости  $\mathbf{V}_i = \mathbf{V}_i^{nep} + \mathbf{V}_i^{oth}$  каждой точки (см. (7.7)) в выражение (18.1) приводит к результату

$$T = \frac{1}{2} \sum_{i=1}^N m_i(\mathbf{V}_i, \mathbf{V}_i) = T^{nep} + T^{oth} + \sum_{i=1}^N m_i(\mathbf{V}_i^{nep}, \mathbf{V}_i^{oth}). \quad (18.8)$$

**Определение 18.5** [14]. Подвижная система называется **системой Кёнига** при выполнении следующих условий.

Система движется поступательно:

1.  $\boldsymbol{\omega}^{nep} = 0$ .

Одна из точек  $O$  подвижной системы совпадает с центром инерции  $C$  системы материальных точек:

2.  $O = C$ .

Для системы Кёнига справедливо  $\mathbf{V}_i^{nep} = \mathbf{V}_C$  и, как следствие:

$$T^{nep} = \frac{1}{2} \sum_{i=1}^N m_i(\mathbf{V}_i^{nep}, \mathbf{V}_i^{nep}) = \frac{1}{2} m V_C^2. \quad (18.9)$$

Вычисление последнего слагаемого в (18.8) в системе Кёнига с учётом (16.3) и  $\mathbf{V}_i^{nep} = \mathbf{V}_C$  приводит к выводу, что это слагаемое вследствие  $\mathbf{V}_C^{oth} = 0$  равно нулю:

$$\sum_{i=1}^N m_i(\mathbf{V}_i^{nep}, \mathbf{V}_i^{oth}) = (\mathbf{V}_C, \sum_{i=1}^N m_i \mathbf{V}_i^{oth}) = (\mathbf{V}_C, m \mathbf{V}_C^{oth}) = 0. \quad (18.10)$$

Подстановка результатов (18.9) и (18.10) в формулу (18.8) даёт возможность считать, что доказана

**Теорема 18.1 (теорема Кёнига для системы материальных точек).** Кинетическая энергия системы материальных точек равна:

$$T = \frac{1}{2} m V_C^2 + T^{oth}, \quad (18.11)$$

где  $T^{oth}$  — кинетическая энергия в системе Кёнига (движущейся поступательно со скоростью  $\mathbf{V}_C$  центра инерции).

**Пример 18.1.** Вычислить кинетическую энергию цепи велосипеда (рис. 18.1). Скорость велосипеда  $V$ , масса цепи  $m$ , радиус заднего колеса  $R$ , радиус задней шестерёнки  $r$ . Колёса катятся без проскальзывания.

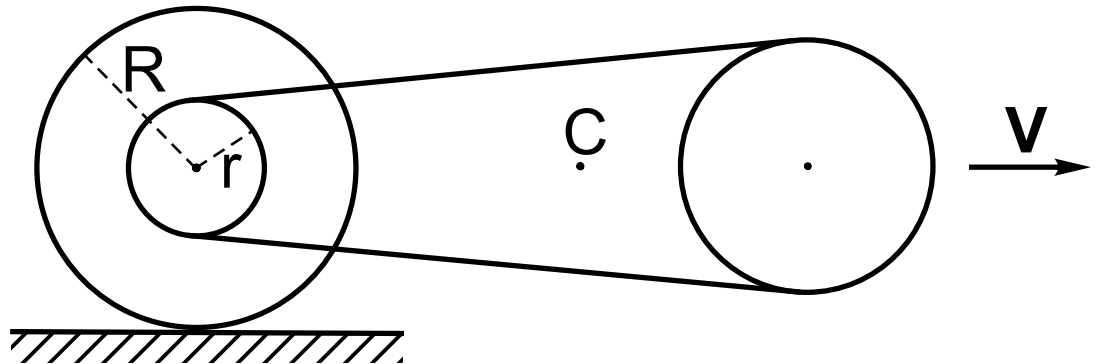


Рис. 18.1

Угловая скорость заднего колеса и задней шестерёнки равна  $\omega = V/R$ . Такая же угловая скорость и в системе Кёнига ( $\omega^{per} = 0$ ). Величины скоростей точек цепи в системе Кёнига равны  $V_i^{oth} = \omega r = Vr/R$ . Теорема Кёнига приводит к ответу (см. (18.11))

$$T = \frac{1}{2}mV^2 + \frac{1}{2}m\frac{r^2}{R^2}V^2 = \frac{1}{2}m\frac{R^2 + r^2}{R^2}V^2.$$

Если система материальных точек есть твёрдое тело, для которого известны скорость  $\mathbf{V}_C$  центра масс и угловая скорость  $\boldsymbol{\omega}$ , то в формуле (18.11) конкретизируется  $T^{oth}$ . Вследствие  $\omega^{per} = 0$  в системе Кёнига происходит чистое вращение (определение 11.2) с угловой скоростью  $\boldsymbol{\omega}^{oth} = \boldsymbol{\omega}$  (рис. 18.2).

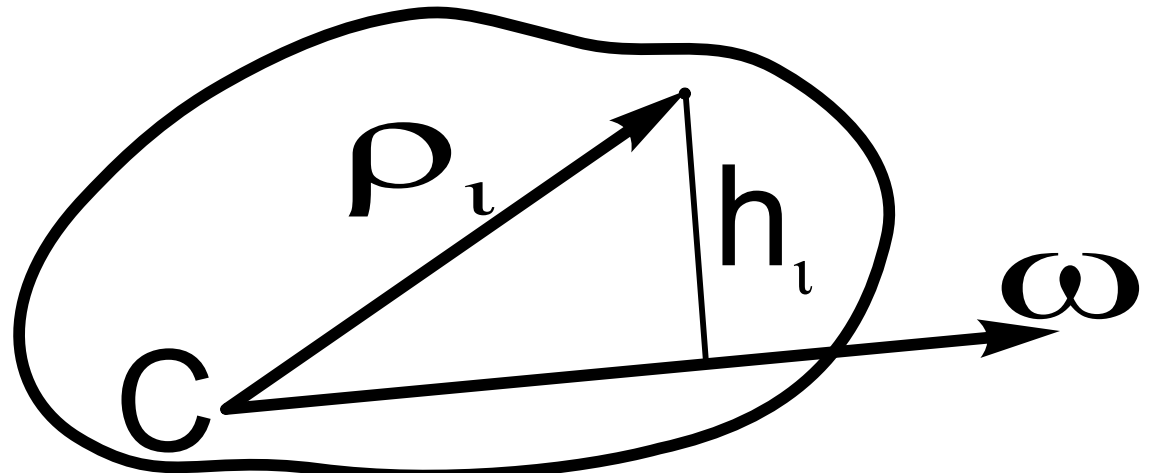


Рис. 18.2

Величина скорости  $V_i^{oth}$  точки тела в системе Кёнига равна  $V_i^{oth} = h_i \omega$ , где  $h_i$  — расстояние от точки до линии, проходящей через центр масс  $C$  параллельно вектору  $\omega$  (рис. 18.2). Кинетическая энергия  $T^{oth}$  в системе Кёнига равна:

$$T^{oth} = \frac{1}{2} \sum_{i=1}^N m_i (V_i^{nep})^2 = \frac{1}{2} \sum_{i=1}^N m_i h_i^2 \omega^2 = \frac{1}{2} I_\omega \omega^2, \quad (18.12)$$

введено обозначение  $I_\omega = \sum_{i=1}^N m_i h_i^2$  для момента инерции относительно параллельной вектору  $\omega$  оси, проходящей через центр масс  $C$  тела. Подстановка результата (18.12) формулу (18.11) даёт возможность считать, что доказана

**Теорема 18.2 (теорема Кёнига для твёрдого тела).** Кинетическая энергия твёрдого тела равна:

$$T = \frac{1}{2} m V_C^2 + \frac{1}{2} I_\omega \omega^2, \quad (18.13)$$

где  $V_C$  — величина скорости центра масс  $C$  тела,  $\omega$  — величина угловой скорости тела,  $I_\omega$  — момент инерции тела относительно параллельной вектору  $\omega$  оси, проходящей через центр масс  $C$ .

**Пример 18.2.** Однородный диск массы  $m$ , радиуса  $R$  катится без проскальзывания по горизонтальному рельсу (рис. 18.3). Начальная скорость центра масс  $C$  диска равна  $V_0$ . Вычислить скорость центра масс диска  $V_C$  при дальнейшем движении.

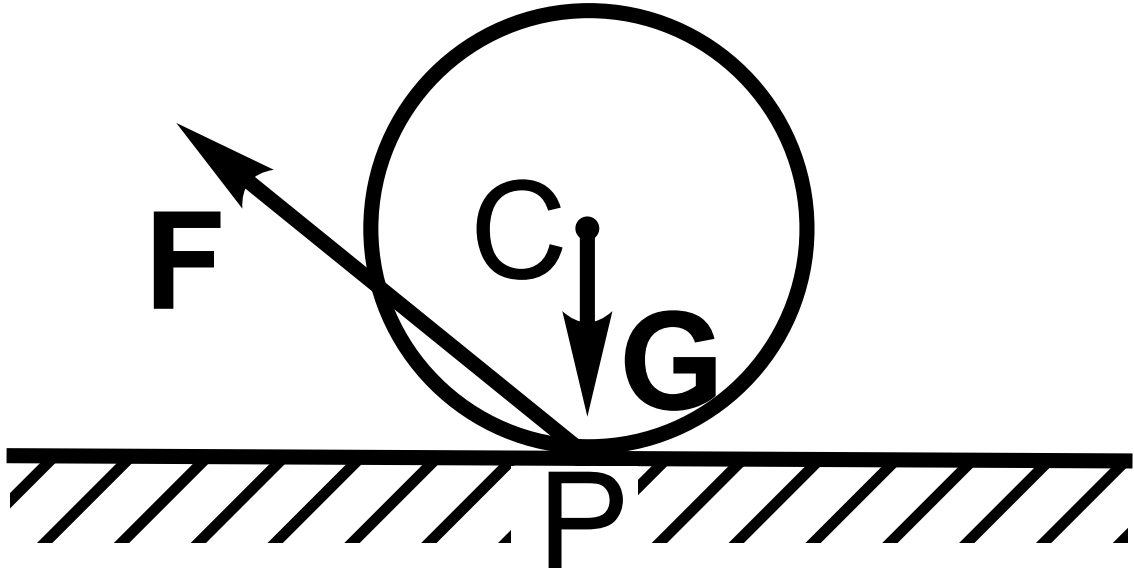


Рис. 18.3

Сила тяжести  $\mathbf{G}$ , равнодействующая которой приложена в центре масс  $C$ , работы не совершает, так как точка приложения силы перемещается перпендикулярно силе (см. (18.4), (18.6)). Из (18.4) следует, что из-за отсутствия проскальзывания ( $V_P = 0$ ) сила реакции  $\mathbf{F}$  (рис. 18.3), также работы не совершает:  $\delta A = (\mathbf{F}, d\mathbf{r}) = (\mathbf{F}, \mathbf{V}_P)dt = 0$ , то есть, в силу закона изменения кинетической энергии (18.7) кинетическая энергия диска не меняется. По теореме 18.2 кинетическая энергия диска равна

$$T = \frac{1}{2}mV_C^2 + \frac{1}{2}I_C\omega^2 = \frac{1}{2}mV_C^2 + \frac{1}{2}\frac{1}{2}mR^2\left(\frac{V_C}{R}\right)^2 = \frac{3}{4}mV_C^2,$$

учтено, что для диска выполняется:  $I_C = mR^2/2$ ,  $\omega = V_C/R$ . Так как при движении кинетическая энергия не меняется:  $T = \frac{3}{4}mV_C^2 = \frac{3}{4}mV_0^2$ , то скорость центра масс диска также остаётся неизменной:  $V_C \equiv V_0$ .

## § 19. ПОТЕНЦИАЛЬНЫЕ СИЛЫ. ЗАКОН ИЗМЕНЕНИЯ ПОЛНОЙ МЕХАНИЧЕСКОЙ ЭНЕРГИИ

Положения материальных точек определены радиус-векторами  $\mathbf{r}_i, i = \overline{1, N}$ .

**Определение 19.1.** Если силы  $\mathbf{F}_i(t, \mathbf{r}_1, \dots, \mathbf{r}_N)$ , действующие на отдельные материальные точки, не зависят от скоростей точек, говорят, что заданы **силовые поля**.

**Определение 19.2.** Силовые поля  $\mathbf{F}_i(t, \mathbf{r}_1, \dots, \mathbf{r}_N)$  (и силы  $\mathbf{F}_i(t, \mathbf{r}_1, \dots, \mathbf{r}_N)$ ) называются **потенциальными**, если существует такая скалярная функция  $\Pi(t, \mathbf{r}_1, \dots, \mathbf{r}_N)$  — **потенциальная энергия**, что справедливы равенства

$$\mathbf{F}_i(t, \mathbf{r}_1, \dots, \mathbf{r}_N) = -\text{grad}_i \Pi(t, \mathbf{r}_1, \dots, \mathbf{r}_N) = -\nabla_i \Pi(t, \mathbf{r}_1, \dots, \mathbf{r}_N) \quad (19.1)$$

$(\text{grad}_i \Pi(t, \mathbf{r}_1, \dots, \mathbf{r}_N) = \nabla_i \Pi(t, \mathbf{r}_1, \dots, \mathbf{r}_N))$  — градиент потенциальной энергии [13, § 26, § 55] по переменным, соответствующим радиус-вектору  $\mathbf{r}_i$ , при фиксированных других переменных). Силовые поля  $\mathbf{F}_i(\mathbf{r}_1, \dots, \mathbf{r}_N)$  (и силы  $\mathbf{F}_i(\mathbf{r}_1, \dots, \mathbf{r}_N)$ ) называются **стационарно потенциальными**, если силы  $\mathbf{F}_i$  и потенциальная энергия  $\Pi$  не зависят явно от времени  $t$ :

$$\mathbf{F}_i(\mathbf{r}_1, \dots, \mathbf{r}_N) = -\text{grad}_i \Pi(\mathbf{r}_1, \dots, \mathbf{r}_N) = -\nabla_i \Pi(\mathbf{r}_1, \dots, \mathbf{r}_N).$$

Функция  $U = -\Pi$  называется **силовой функцией**.

Пусть в системе отсчёта введены декартовы координаты (§ 2):

$$\mathbf{r}_i = \sum_{k=1}^3 x_{ik} \mathbf{i}_k, \quad d\mathbf{r}_i = \sum_{k=1}^3 \mathbf{i}_k dx_{ik}, \quad \mathbf{F}_i = \sum_{k=1}^3 F_{ik} \mathbf{i}_k. \quad (19.2)$$

Определение (19.1) потенциальной силы  $\mathbf{F}_i = \sum_{k=1}^3 F_{ik} \mathbf{i}_k$  в декартовых координатах записывается следующим образом [13, § 26, § 55]:

$$F_{ik}(t, x) = -\frac{\partial \Pi(t, x)}{\partial x_{ik}}. \quad (19.3)$$

Вычисление элементарной работы  $\delta A$  потенциальных сил  $\mathbf{F}_i$  с учётом (18.4), (19.2), (19.3) приводит к следующему результату:

$$\begin{aligned} \delta A &= \sum_{i=1}^N (\mathbf{F}_i, d\mathbf{r}_i) = \\ &= \sum_{i=1}^N \sum_{k=1}^3 F_{ik}(t, x) dx_{ik} = - \sum_{i=1}^N \sum_{k=1}^3 \frac{\partial \Pi(t, x)}{\partial x_{ik}} dx_{ik} = -d\Pi(t, x) + \frac{\partial \Pi(t, x)}{\partial t} dt. \end{aligned}$$

Для стационарно потенциальных сил  $\mathbf{F}_i(x) = \sum_{k=1}^3 F_{ik}(x)\mathbf{i}_k$  элементарная работа  $\delta A$  — полный дифференциал потенциальной энергии  $\Pi(x)$ :

$$\begin{aligned}\delta A &= \sum_{i=1}^N (\mathbf{F}_i, d\mathbf{r}_i) = \\ &= \sum_{i=1}^N \sum_{k=1}^3 F_{ik}(x) dx_{ik} = - \sum_{i=1}^N \sum_{k=1}^3 \frac{\partial \Pi(x)}{\partial x_{ik}} dx_{ik} = -d\Pi(x).\end{aligned}\quad (19.4)$$

**Теорема 19.1.** Пусть силы  $\mathbf{F}_i(\mathbf{r}_1, \dots, \mathbf{r}_N)$  зависят только от положений точек. Имеет место эквивалентность утверждений

{Силы  $\mathbf{F}_i(\mathbf{r}_1, \dots, \mathbf{r}_N)$  стационарно потенциальны.}

⇓

{Элементарная работа сил  $\mathbf{F}_i(\mathbf{r}_1, \dots, \mathbf{r}_N)$  — полный дифференциал.}

□ Доказательства ↓ было проведено в декартовых координатах при обосновании формулы (19.4). Для доказательства ↑ нужно раскрыть полный дифференциал  $d\Pi(x)$  и в равенстве двух дифференциальных форм (см. (19.4))

$$\sum_{i=1}^N \sum_{k=1}^3 F_{ik}(x) dx_{ik} = - \sum_{i=1}^N \sum_{k=1}^3 \frac{\partial \Pi(x)}{\partial x_{ik}} dx_{ik}$$

приравнять коэффициенты при дифференциалах  $dx_{ik}$  от независимых переменных  $x_{ik}$ . Полученное равенство (19.3) эквивалентно в декартовых координатах определению 19.2 потенциальности. ■

**Определение 19.3.** Система материальных точек называется **консервативной**, если силы, действующие на систему, — стационарно потенциальны.

**Определение 19.4. Полная механическая энергия**  $E$  системы материальных точек вычисляется по формуле

$$E = T + \Pi \quad (19.5)$$

— сумма кинетической и потенциальной энергий.

**Теорема 19.2 (закон сохранения полной механической энергии).** Полная механическая энергия  $E$  консервативной системы сохраняется во время движения:

$$E = T + \Pi = \text{const.} \quad (19.6)$$

□ Закон изменения кинетической энергии в дифференциальной форме (18.5) ( $dT = \delta A$ ) для консервативной системы с учётом (19.4) принимает вид:  $dT = -d\Pi$ . Интегрирование на пути  $\mathbf{r}_i(t)$  время  $t \in [t_1, t_2]$  приводит к закону изменения кинетической энергии в интегральной форме (см. (18.7)):  $T_2 - T_1 = \Pi_1 - \Pi_2$ . Это равенство, записанное иначе  $E_2 = T_2 + \Pi_2 = T_1 + \Pi_1 = E_1$ ,

доказывает утверждение (19.6) теоремы. ■

**Пример 19.1.** Определённая в декартовых координатах сила

$$\mathbf{F} = ax^\alpha y^\beta \mathbf{i} + bx^k y^l \mathbf{j} + 0\mathbf{k}$$

( $a, \alpha, \beta, b, k, l$  — вещественные параметры) потенциальна, если с некоторой функцией  $\Pi(x, y, z)$  выполняются равенства (19.3):

$$\frac{\partial \Pi}{\partial x} = -ax^\alpha y^\beta, \quad \frac{\partial \Pi}{\partial y} = -bx^k y^l, \quad \frac{\partial \Pi}{\partial z} = 0.$$

Условия интегрируемости приводят к результату

$$\frac{\partial^2 \Pi}{\partial x \partial y} = -a\beta x^\alpha y^{\beta-1} = -bkx^{k-1}y^l,$$

который должен выполняться тождественно по переменным  $x$  и  $y$ . Приравнивание коэффициентов и показателей степени определяет три условия  $a\beta = bk$ ,  $\alpha = k - 1$ ,  $\beta - 1 = l$  на шесть параметров  $a, \alpha, \beta, b, k, l$ . При этих условиях сила

$$\mathbf{F} = ax^\alpha y^\beta \mathbf{i} + bx^k y^l \mathbf{j}$$

потенциальна с потенциальной энергией  $\Pi = cx^i y^j$ . Параметры силы  $a, \alpha, \beta, b, k, l$  следующим образом выражаются через параметры  $c, i, j$  потенциальной энергии:  $a = -ci$ ,  $\alpha = i - 1$ ,  $\beta = j$ ,  $b = -cj$ ,  $k = i$ ,  $l = j - 1$ .

## ГЛАВА 6

# ДВИЖЕНИЕ МАТЕРИАЛЬНОЙ ТОЧКИ ПОД ВОЗДЕЙСТВИЕМ ЦЕНТРАЛЬНОЙ СИЛЫ

### § 20. УРАВНЕНИЯ ДВИЖЕНИЯ

В системе отсчёта фиксируется точка  $O$ , положение материальной точки с массой  $m$  в каждый момент времени  $t$  определяется радиус-вектором  $\mathbf{r}$  (рис. 20.1): начальная точка радиус-вектора  $\mathbf{r}$  в точке  $O$ , материальная точка совпадает с конечной точкой  $\mathbf{r}$  (§ 1).

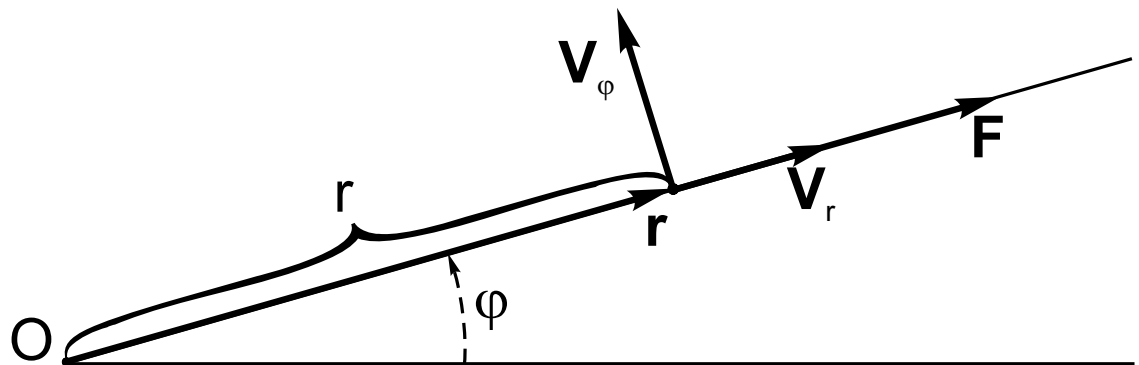


Рис. 20.1

**Определение 20.1.** Сила называется **центральной**, если она коллинеарна радиус-вектору  $\mathbf{r}$ :

$$\mathbf{F} = f \frac{\mathbf{r}}{r}, \quad (20.1)$$

$f$  — величина силы.

Величина силы может следующим образом зависеть от кинематических характеристик точки (§ 15):  $f(t, \mathbf{r}, \dot{\mathbf{r}})$ . Исходя из начального состояния точки ( $t_0, \mathbf{r}_0, \dot{\mathbf{r}}_0 = \mathbf{V}_0$ ) требуется найти движение  $\mathbf{r}(t)$  точки. Вследствие закона изменения момента импульса (см. (17.3), (17.4)) под воздействием центральной силы момент импульса при движении сохраняется:

$$\dot{\mathbf{K}}_0 = \mathbf{M}_0 = [\mathbf{r}, \mathbf{F}] = [\mathbf{r}, f \frac{\mathbf{r}}{r}] = 0 :$$

$\mathbf{K}_0 = [\mathbf{r}, m\mathbf{V}] = \text{const}$ , то есть, движение точки происходит в плоскости перпендикулярной постоянному вектору  $\mathbf{K}_0$  ( $\mathbf{r} \perp \mathbf{K}_0 = \text{const}$ ). Плоскость проходит

через точку  $O$  и начальную скорость  $\mathbf{V}_0$ . В плоскости введём полярные координаты  $r, \varphi$  (§ 8). Скорость точки в полярных координатах выражается следующим образом ((8.1) – (8.3)):  $\mathbf{V} = \mathbf{V}_r + \mathbf{V}_\varphi$ ,  $V_r = \dot{r}$ ,  $V_\varphi = r\dot{\varphi}$ . В соответствии с разложением  $\mathbf{V} = \mathbf{V}_r + \mathbf{V}_\varphi$  для момента импульса получим (рис (20.1)):  $\mathbf{K}_0 = [\mathbf{r}, m\mathbf{V}] = [\mathbf{r}, m(\mathbf{V}_r + \mathbf{V}_\varphi)] = [\mathbf{r}, m\mathbf{V}_\varphi]$ ,

$$K_0 = mr^2\dot{\varphi} = \text{const}, \quad c = \frac{K_0}{m}, \quad c = r^2\dot{\varphi} = \text{const}. \quad (20.2)$$

Характеристику  $c = r^2\dot{\varphi}$  будем называть **приведённым моментом импульса**.

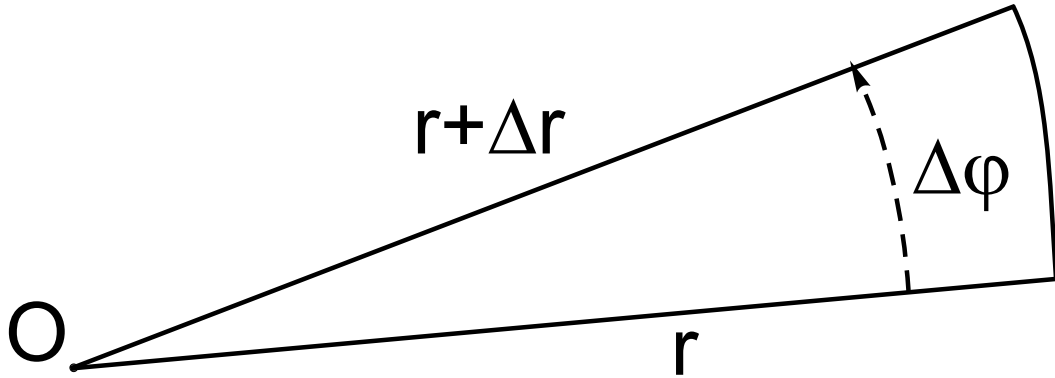


Рис. 20.2

За малое время  $\Delta t$  радиус-вектор, пренебрегая величинами второго порядка и выше, замечает треугольник, площадь которого равна (рис. 20.2):  $\Delta S = \frac{1}{2}(r + \Delta r)r \sin \Delta\varphi = \frac{1}{2}r^2\Delta\varphi$ . Деление полученного выражения на  $\Delta t$  и переход к пределу  $\Delta t \rightarrow 0$  приводит к формуле (см. (20.2))

$$\frac{dS}{dt} = \frac{1}{2}r^2\dot{\varphi} = \frac{1}{2}c = \frac{K_0}{2m} = \text{const}, \quad (20.3)$$

которая обосновывает

**Второй закон Кеплера.** При движении под воздействием центральной силы площадь, заметаемая радиус-вектором, пропорциональна времени движения.

Производная  $dS/dt$  называется **секториальной скоростью**, вследствие (20.3) сохранение момента импульса иногда называют **интегралом площадей**. Из закона сохранения (20.2) можно сделать следующий вывод: при движении под воздействием центральной силы достаточно знать изменение во времени одной из полярных координат, например,  $r(t)$ . Изменение другой координаты находится из (20.2):

$$\dot{\varphi} = \frac{c}{r^2}. \quad (20.4)$$

Ускорение точки в полярных координатах выражается следующим образом ((8.5), (8.6)):  $\mathbf{W} = \mathbf{W}_r + \mathbf{W}_\varphi$ ,  $W_r = \ddot{r} - r\dot{\varphi}^2$ ,  $W_\varphi = \ddot{\varphi}r + 2\dot{\varphi}\dot{r}$  (рис. 20.3).

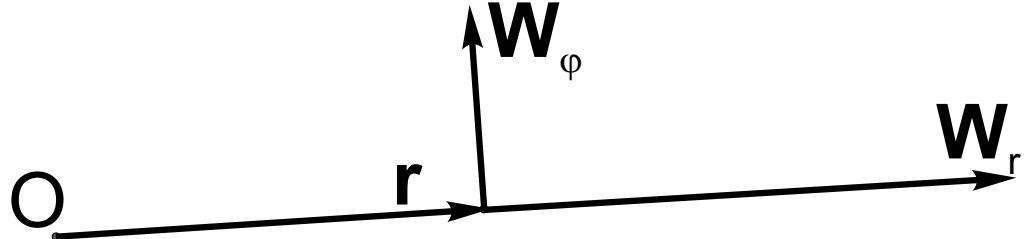


Рис. 20.3

Проекция уравнения Ньютона  $m\mathbf{W} = \mathbf{F} = f\mathbf{r}/r$  на направление радиус-вектора  $\mathbf{r}$  приводит к уравнению

$$m(\ddot{r} - r\dot{\varphi}^2) = f(t, r, \dot{r}, \varphi, \dot{\varphi}). \quad (20.5)$$

Система уравнений (20.4), (20.5) есть замкнутая система обыкновенных дифференциальных уравнений третьего порядка для определения при начальных данных  $t_0, r_0, \dot{r}_0, \varphi_0, \dot{\varphi}_0$  движения  $r(t), \varphi(t)$  точки. Для определения траектории  $r(\varphi)$  точки в полярных координатах сделаем с учётом (20.4) в уравнении (20.5) переход от независимой переменной  $t$  к независимой переменной  $\varphi$ :

$$\dot{r} = \frac{dr}{dt} = \frac{dr}{d\varphi} \frac{d\varphi}{dt} \stackrel{(20.4)}{=} \frac{dr}{d\varphi} \frac{c}{r^2} = -\frac{d}{d\varphi} \left( \frac{1}{r} \right) c = -u'c, \quad (20.6)$$

введены обозначения

$$u = \frac{1}{r}, \quad u' = \frac{du}{d\varphi}, \quad (20.7)$$

$$\ddot{r} = \frac{d\dot{r}}{dt} = \frac{d\dot{r}}{d\varphi} \frac{d\varphi}{dt} \stackrel{(20.4)(20.6)}{=} -u'' \frac{c^2}{r^2}. \quad (20.8)$$

Подстановка (20.4), (20.8) в уравнение (20.5) и очевидные преобразования приводят к **уравнению Бине**

$$u'' + u = -\frac{r^2}{mc^2} f(t, r, \dot{r}, \varphi, \dot{\varphi}). \quad (20.9)$$

В автономном случае ( $\partial f / \partial t = 0$ ) уравнение (20.9) после подстановки (20.4), (20.6), (20.7) становится замкнутым уравнением

$$u'' + u = -\frac{1}{mc^2 u^2} f(1/u, -u'c, \varphi, u^2 c) \quad (20.10)$$

для нахождения траектории  $r(\varphi) = 1/u(\varphi)$ . В литературе уравнение (20.9) называют также второй формулой Бине (первая формула здесь не рассматривается).

## § 21. ПОТЕНЦИАЛЬНЫЙ СЛУЧАЙ. ДВИЖЕНИЕ В ПОЛЕ ВСЕМИРНОГО ТЯГОТЕНИЯ

Изучим вопрос: при каких условиях центральная сила (определение 20.1) стационарно потенциальна (определение 19.2). В плоскости движения в полярных координатах на роль стационарно потенциальной силы претендует центральная сила  $\mathbf{F} = f(r, \varphi)\mathbf{r}/r$ . Вычислим элементарную работу:

$$\delta A = (\mathbf{F}, d\mathbf{r}) = f(r, \varphi) \frac{(\mathbf{r}, d\mathbf{r})}{r} = f(r, \varphi) \frac{r dr}{r} = f(r, \varphi) dr,$$

использовано тождество  $(\mathbf{r}, d\mathbf{r}) = \frac{1}{2}d(\mathbf{r}, \mathbf{r}) = \frac{1}{2}d(r^2) = rdr$ . По теореме 19.1 для потенциальности силы элементарная работа должна быть полным дифференциалом:

$$\delta A = f(r, \varphi) dr + 0 d\varphi = -d\Pi(r, \varphi) = -\frac{\partial \Pi}{\partial r} dr - \frac{\partial \Pi}{\partial \varphi} d\varphi.$$

Приравнивание коэффициентов при дифференциалах от независимых переменных определяет систему уравнений для потенциальной энергии

$$\frac{\partial \Pi}{\partial r} = -f(r, \varphi), \quad \frac{\partial \Pi}{\partial \varphi} = 0$$

и условие её интегрируемости

$$\frac{\partial^2 \Pi}{\partial r \partial \varphi} = -\frac{\partial f(r, \varphi)}{\partial \varphi} = 0.$$

Таким образом, в соответствии с теоремой 19.1 имеет место

**Теорема 21.1.** Центральная сила стационарно потенциальна (материальная точка является консервативной системой) тогда и только тогда, когда её величина  $f(r)$  зависит только от расстояния  $r$  между материальной точкой и начальной точкой  $O$  радиус-вектора.

Стационарно потенциальную центральную силу можно задавать или её величиной  $f(r)$  или потенциальной энергией  $\Pi(r)$ . Между ними следующая связь:

$$f(r) = -\frac{\partial \Pi(r)}{\partial r}, \quad \Pi(r) = - \int f(r) dr. \quad (21.1)$$

В соответствии с теоремой 19.2 для консервативных систем справедлив закон сохранения полной механической энергии, который с учётом (8.4), (20.4), (21.1) для центральной силы принимает следующий вид:

$$\begin{aligned} T + \Pi &= \frac{1}{2}mV^2 + \Pi(r) \stackrel{(8.4)}{=} \frac{1}{2}m(\dot{r}^2 + \dot{\varphi}^2r^2) + \Pi(r) \stackrel{(20.4)}{=} \\ &= \frac{1}{2}m \left( \dot{r}^2 + \frac{c^2}{r^2} \right) + \Pi(r) = E = \text{const.} \end{aligned} \quad (21.2)$$

Если соотношение (21.2) алгебраически разрешить относительно  $\dot{r}$ , то задача нахождения движения  $r(t)$ ,  $\varphi(t)$  сведётся к интегрированию двух дифференциальных уравнений:  $\dot{r} = h(r, c, E)$  и  $\dot{\varphi} = c/r^2$  (см. (20.4)). Для нахождения траектории  $r(\varphi)$  точки нужно “одно уравнение разделить на другое”, получим уравнение

$$\frac{dr}{d\varphi} = \frac{r^2 h(r, c, E)}{c}$$

с разделяющимися переменными. В частности, в поле всемирного тяготения (потенциальная энергия, присутствующая в  $h(r, c, E)$ , приведена ниже в (21.3)) это уравнение интегрируется в элементарных функциях и определяет орбиты в небесной механике [1, гл. III, § 7]. Здесь орбиты будут вычислены при помощи уравнения Бине (20.9).

В поле всемирного тяготения на точку массы  $m$  действует стационарно потенциальная центральная сила (20.1). Приведём её величину и потенциальную энергию (см. (21.1)):

$$f = -\gamma \frac{Mm}{r^2} = -\frac{m\mu}{r^2}, \quad \Pi = -\gamma \frac{Mm}{r} = -\frac{m\mu}{r}, \quad (21.3)$$

$\gamma$  — всемирная постоянная,  $M$  — масса расположенного в неподвижной точке  $O$  “Солнца”,  $\mu = \gamma M$  — постоянная для данной Солнечной системы. Подстановка величины  $f$  силы в уравнение Бине (20.9) определяет линейное неоднородное уравнение с постоянными коэффициентами

$$u'' + u = \frac{\mu}{c^2} \quad (21.4)$$

с очевидным частным решением  $u = \mu/c^2$ , добавление которого к общему решению однородного уравнения (уравнения колебаний) приводит к общему решению уравнения (21.4)

$$u = \frac{\mu}{c^2} + A \cos(\varphi + \beta), \quad (21.5)$$

$A, \beta$  — произвольные постоянные. Предполагаем  $A \geq 0$ , в противном случае минус можно “перегнать” в  $\beta$ . С учётом (20.7) ( $u = 1/r$ ) получаем уравнение  $r(\varphi)$  траектории

$$r = \frac{p}{1 + e \cos(\varphi + \beta)}, \quad (21.6)$$

введены обозначения для фокального параметра  $p$  и эксцентриситета  $e$

$$p = \frac{c^2}{\mu}, \quad e = \frac{Ac^2}{\mu} \geq 0. \quad (21.7)$$

Траектории, определённые (21.6), есть конические сечения в полярных координатах, “Солнце”  $O$  расположено в фокусах. Из (21.6) видно, что в зависимости от эксцентриситета  $e$  возможны следующие виды сечений — траекторий небесных тел:

1.  $e = 0$ , окружность радиуса  $p$ ;
2.  $0 < e < 1$ , знаменатель в (21.6) ни при каком значении  $\varphi$  не обращается в нуль, финитная траектория — эллипс;
3.  $e = 1$ , знаменатель в (21.6) обращается в нуль при  $\varphi + \beta = \pi$  — парабола;
4.  $e > 1$ , знаменатель в (21.6) обращается в нуль при  $\varphi + \beta = \pm \arccos(1/e)$  — гипербола с асимптотами, соответствующими углам  $\varphi + \beta = \pm \arccos(1/e)$ .

Пункт 2 обосновывает

**Первый закон Кеплера.** Планеты движутся по эллипсам, в фокусах которых находится Солнце.

Выразим фокальный параметр  $p$  и эксцентриситет  $e$  через приведённый момент импульса  $c = r^2\dot{\varphi}$  (см. (20.2)) и **приведённую полную энергию**

$$E^* = \frac{1}{m}E = \frac{1}{m}(T + \Pi) = \frac{1}{2}\left(\dot{r}^2 + \frac{c^2}{r^2}\right) - \frac{\mu}{r} = \frac{1}{2}\left(\dot{r}_0^2 + \frac{c^2}{r_0^2}\right) - \frac{\mu}{r_0} = \text{const} \quad (21.8)$$

(в равенстве (21.2) учтена потенциальная энергия (21.3)). Определим в (21.5) постоянную  $A$  через начальные условия  $r_0, \dot{r}_0, \varphi_0, \dot{\varphi}_0$  (в преобразованиях использованы формулы (20.6), (20.7), (21.8)):

$$\begin{aligned} u_0 &= \frac{1}{r_0} = \frac{\mu}{c^2} + A \cos(\varphi_0 + \beta), \quad u'_0 = -\frac{1}{c}\dot{r}_0 = -A \sin(\varphi_0 + \beta), \\ A^2 &= \left(\frac{1}{r_0} - \frac{\mu}{c^2}\right)^2 + \frac{1}{c^2}\dot{r}_0^2 = \frac{1}{r_0^2} - 2\frac{\mu}{r_0 c^2} + \frac{\mu^2}{c^4} + \frac{1}{c^2}\dot{r}_0^2 = \\ &= \frac{1}{c^2} \left(\dot{r}_0^2 + \frac{c^2}{r_0^2} - 2\frac{\mu}{r_0} + \frac{\mu^2}{c^2}\right) = \frac{\mu^2}{c^4} \left(\frac{2E^*c^2}{\mu^2} + 1\right), \\ A &= \frac{\mu}{c^2} \sqrt{1 + \frac{2E^*c^2}{\mu^2}}. \end{aligned}$$

Подстановка полученного результата в (21.7) приводит к искомым выражениям

$$p = \frac{c^2}{\mu}, \quad e = \frac{Ac^2}{\mu} = \sqrt{1 + \frac{2E^*c^2}{\mu^2}}. \quad (21.9)$$

Докажем

**Третий закон Кеплера.** Отношение квадрата времени  $T$  обращения планеты к кубу большой полуоси траектории одинаково для всех планет одной и той же Солнечной системы.

□ По второму закону Кеплера (постоянство секториальной скорости) время  $T$  обращения равно отношению площади эллиптической орбиты ( $\pi ab$ ,  $a = p/(1 - e^2)$  — большая полуось,  $b = p/\sqrt{1 - e^2}$  — малая [3, гл. III, § 2; гл. IV, § 3]) к

секториальной скорости  $c/2$  (см. (20.3)). С учётом (21.9) приходим к нужному результату:

$$\frac{T^2}{a^3} = \left( \frac{\pi ab}{c/2} \right)^2 \Bigg/ a^3 = \frac{4\pi^2 b^2}{ac^2} = \frac{4\pi^2 p}{c^2} = \frac{4\pi^2}{\mu}.$$

■

## § 22. ВЗАИМНОЕ ТЯГОТЕНИЕ ДВУХ И ТРЕХ ТОЧЕК

Две материальные точки с массами  $m_1$  и  $m_2$  взаимодействуют только друг с другом, и это взаимодействие происходит по закону всемирного тяготения. Положения точек определяют радиус-векторы  $\mathbf{r}_1$ ,  $\mathbf{r}_2$ , отложенные от неподвижной точки  $O$  (рис. 22.1).

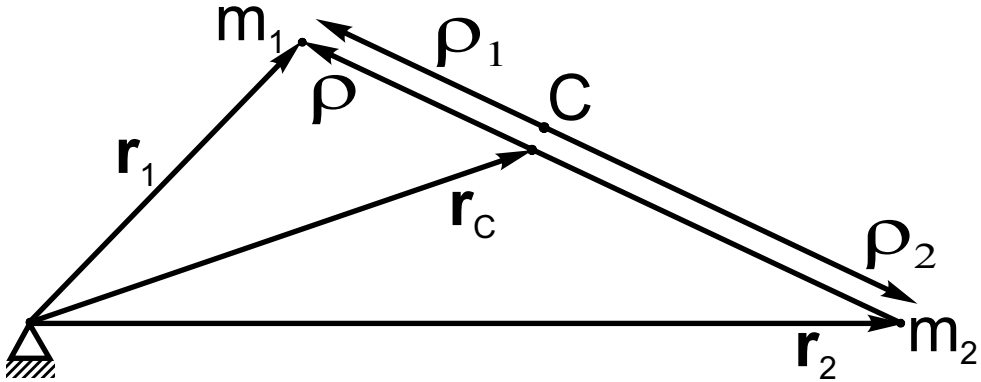


Рис. 22.1

Ставится следующая задача: определить движение точек  $\mathbf{r}_1(t)$ ,  $\mathbf{r}_2(t)$ , соответствующее начальным данным  $\mathbf{r}_1^0$ ,  $\mathbf{r}_2^0$ ,  $\mathbf{V}_1^0 = \dot{\mathbf{r}}_1^0$ ,  $\mathbf{V}_2^0 = \dot{\mathbf{r}}_2^0$ . Введём вектор  $\boldsymbol{\rho} = \mathbf{r}_1 - \mathbf{r}_2$ , проведённый от второй точки к первой (рис. 22.1). Центру инерции  $C$  соответствуют радиус-вектор  $\mathbf{r}_C$ , отложенный от точки  $O$ , и векторы  $\boldsymbol{\rho}_1$ ,  $\boldsymbol{\rho}_2$ , проведённые из  $C$  к материальным точкам (рис. 22.1):

$$\mathbf{r}_C = \frac{m_1 \mathbf{r}_1 + m_2 \mathbf{r}_2}{m_1 + m_2}, \quad \boldsymbol{\rho}_1 = \frac{m_2}{m_1 + m_2} \boldsymbol{\rho}, \quad \boldsymbol{\rho}_2 = -\frac{m_1}{m_1 + m_2} \boldsymbol{\rho}. \quad (22.1)$$

Так как внешние силы отсутствуют, центр инерции  $C$  системы движется с постоянной скоростью  $\mathbf{V}_C^0$  (см. (16.5), (22.1)):

$$\mathbf{V}_C^0 = \frac{m_1 \mathbf{V}_1^0 + m_2 \mathbf{V}_2^0}{m_1 + m_2}, \quad \mathbf{r}_C = \mathbf{r}_C^0 + \mathbf{V}_C^0 t = \frac{m_1 \mathbf{r}_1^0 + m_2 \mathbf{r}_2^0}{m_1 + m_2} + \frac{m_1 \mathbf{V}_1^0 + m_2 \mathbf{V}_2^0}{m_1 + m_2} t. \quad (22.2)$$

Запишем для каждой точки уравнение Ньютона (15.1) (см. (21.3)):

$$m_1 \ddot{\mathbf{r}}_1 = -\gamma \frac{m_1 m_2}{\rho^2} \frac{\boldsymbol{\rho}}{\rho}, \quad m_2 \ddot{\mathbf{r}}_2 = \gamma \frac{m_1 m_2}{\rho^2} \frac{\boldsymbol{\rho}}{\rho},$$

сократим в каждом уравнении одну из масс, вычтем из первого уравнения второе, с учётом  $\boldsymbol{\rho} = \mathbf{r}_1 - \mathbf{r}_2$  получим уравнение

$$\ddot{\boldsymbol{\rho}} = -\gamma \frac{m_1 + m_2}{\rho^2} \frac{\boldsymbol{\rho}}{\rho}$$

с одной неизвестной вектор-функцией  $\boldsymbol{\rho}(t)$ . Сделав при помощи (22.1) переход от  $\boldsymbol{\rho}$  к  $\boldsymbol{\rho}_1$ , получим уравнение

$$\ddot{\boldsymbol{\rho}}_1 = -\gamma \frac{m_2^3}{(m_1 + m_2)^2 \rho_1^2} \frac{\boldsymbol{\rho}_1}{\rho_1}.$$

Таким образом в подвижной системе Кёнига (определение 18.5) движение первой точки с массой  $m_1$  происходит по закону всемирного тяготения к неподвижному в точке  $C$  Солнцу с массой  $M = m_2^3/(m_1 + m_2)^2$ . Движение второй точки с массой  $m_2$  связано с движением первой следующим образом (см. (22.1)):  $\rho_2(t) = -m_1\rho_1(t)/m_2$ . Для получения точного ответа  $\rho_1(t)$ ,  $\rho_2(t)$  или  $\rho_1(\varphi)$ ,  $\rho_2(\varphi)$  требуется в соответствии с (22.1) пересчитать начальные данные и использовать результаты § 20, § 21. К окончательному ответу приводят формулы (см. рис. 22.1, (22.2)):

$$\mathbf{r}_1(t) = \mathbf{r}_C(t) + \boldsymbol{\rho}_1(t), \quad \mathbf{r}_2(t) = \mathbf{r}_C(t) + \boldsymbol{\rho}_2(t).$$

Где-то в районе трёх гравитирующих точек проходит грань между аналитическими возможностями и невозможностями человека. Приведём пифагорейскую задачу [2, с. 74], ответ которой современный человек угадать не способен (с точки зрения автора). Три материальные точки с массами  $3m$ ,  $4m$  и  $5m$  в начале движения находятся в вершинах  $F$ ,  $G$ ,  $H$  пифагорейского треугольника ( $GH = 3s$ ,  $HF = 4s$ ,  $FG = 5s$ , рис. 22.2). Каждая пара точек взаимодействует по закону всемирного тяготения, точки начинают движение из состояния покоя. Удивляет итоговая часть движения: точка с массой  $5m$  удалается по прямой от “двойной звезды”, которую образуют точки с массами  $3m$  и  $4m$ , периодически сталкиваясь друг с другом. “Двойная звезда” удалается в сторону, противоположную точке с массой  $5m$  (рис. 22.2). Отметим, что в процессе взаимодействия сохраняются импульс  $\mathbf{Q} = 12m\mathbf{V}_C = 0$  (центр инерции  $C$  неподвижен), момент импульса  $\mathbf{K}_C = 0$  и полная механическая энергия  $E = T + \Pi$ .

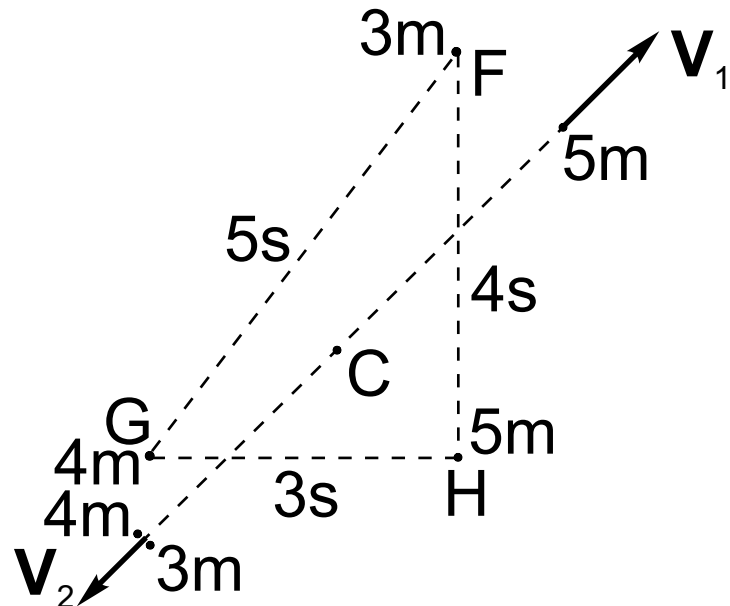


Рис. 22.2

# ГЛАВА 7

## ДИНАМИКА СИСТЕМЫ ПЕРЕМЕННОГО СОСТАВА

### § 23. ЗАКОНЫ ИЗМЕНЕНИЯ ИМПУЛЬСА, МОМЕНТА ИМПУЛЬСА, КИНЕТИЧЕСКОЙ ЭНЕРГИИ

Законы динамики (изменение импульса, момента импульса и т. д.) выводились в гл. 5 в предположении, что состав системы неизменен. Задача о движении систем переменного состава находится на стыке конечномерной механики и механики сплошной среды. Далее рассматриваются некоторые вопросы, ответы на которые можно получить в рамках теоретической механики.

Пусть масса системы изменяется по закону

$$m(t) = m_0 - m^{yx}(t) + m^{np}(t), \quad (23.1)$$

где  $m_0$  — масса в начальный момент времени  $t_0$ ,  $m^{yx}(t)$  и  $m^{np}(t)$  — уход и приход масс за промежуток времени  $[t_0, t]$ . Для вывода закона изменения импульса системы переменного состава фиксируем в момент времени  $t$  состав системы и обозначим  $\mathbf{Q}^*(t)$  импульс фиксированной системы. В момент времени  $t + \Delta t$  импульс системы переменного состава будет равен

$$\mathbf{Q}(t + \Delta t) = \mathbf{Q}^*(t) + \Delta \mathbf{Q}^* - \Delta \mathbf{Q}^{yx} + \Delta \mathbf{Q}^{np},$$

где  $\Delta \mathbf{Q}^*$  — изменение импульса фиксированных в момент времени  $t$  точек,  $\Delta \mathbf{Q}^{yx}$  и  $\Delta \mathbf{Q}^{np}$  — изменение импульса из-за ушедших и пришедших точек. Вычисление производной

$$\begin{aligned} \frac{d\mathbf{Q}(t)}{dt} &= \lim_{\Delta t \rightarrow 0} \frac{\mathbf{Q}(t + \Delta t) - \mathbf{Q}(t)}{\Delta t} = \\ &= \lim_{\Delta t \rightarrow 0} \frac{\mathbf{Q}^*(t) + \Delta \mathbf{Q}^* - \Delta \mathbf{Q}^{yx} + \Delta \mathbf{Q}^{np} - \mathbf{Q}^*(t)}{\Delta t} = \\ &= \lim_{\Delta t \rightarrow 0} \left( \frac{\Delta \mathbf{Q}^*}{\Delta t} - \frac{\Delta \mathbf{Q}^{yx}}{\Delta t} + \frac{\Delta \mathbf{Q}^{np}}{\Delta t} \right) \end{aligned}$$

приводит к результату

$$\frac{d\mathbf{Q}}{dt} = \mathbf{R}_{внешн} + \mathbf{R}_{доп} \quad (23.2)$$

— закону изменения импульса для системы переменного состава. Учен закон изменения импульса  $\dot{\mathbf{Q}}^* = \mathbf{R}_{внешн}$  для фиксированной в момент времени  $t$  системы постоянного состава ( $\mathbf{R}_{внешн}$  — главный вектор внешних сил), введен

обозначение

$$\mathbf{R}^{\text{доп}} = \lim_{\Delta t \rightarrow 0} \left( -\frac{\Delta \mathbf{Q}^{yx}}{\Delta t} + \frac{\Delta \mathbf{Q}^{np}}{\Delta t} \right) \quad (23.3)$$

для силы, дополнительно действующей на систему из-за переменности ее состава.

Дословное повторение рассуждений, при помощи которых доказано уравнение (23.2), приводит к закону изменения момента импульса для системы переменного состава

$$\frac{d\mathbf{K}_O}{dt} = \mathbf{M}_O^{\text{внешн}} + \mathbf{M}_O^{\text{доп}}, \quad (23.4)$$

где  $\mathbf{M}_O^{\text{внешн}}$  — главный момент внешних сил,  $\mathbf{M}_O^{\text{доп}}$  — дополнительный момент, связанный с уходом и приходом масс:

$$\mathbf{M}_O^{\text{доп}} = \lim_{\Delta t \rightarrow 0} \left( -\frac{\Delta \mathbf{K}_O^{yx}}{\Delta t} + \frac{\Delta \mathbf{K}_O^{np}}{\Delta t} \right). \quad (23.5)$$

Видом, аналогичным (23.2), (23.4), обладает и закон изменения кинетической энергии для системы переменного состава:

$$\frac{dT}{dt} = N + N^{\text{доп}}, \quad (23.6)$$

где  $N = \sum(\mathbf{F}_i, \mathbf{V}_i)$  — мощность внешних и внутренних сил, действующих на систему; дополнительная мощность  $N^{\text{доп}}$  определена уходом и приходом масс:

$$N^{\text{доп}} = \lim_{\Delta t \rightarrow 0} \left( -\frac{\Delta T^{yx}}{\Delta t} + \frac{\Delta T^{np}}{\Delta t} \right). \quad (23.7)$$

Рассмотрим применение законов (23.2), (23.4), (23.6) в некоторых частных случаях систем переменного состава.

## § 24. ПОСТУПАТЕЛЬНОЕ ДВИЖЕНИЕ ТЕЛА ПЕРЕМЕННОГО СОСТАВА. РЕАКТИВНОЕ ДВИЖЕНИЕ

Точки, принадлежащие телу, обладают одной и той же скоростью  $\mathbf{V}(t)$ . У тела имеется  $n$  стоков, через которые происходит уход масс, и  $r$  источников, через которые — приход. В соответствии с формулой (23.1) масса тела, импульс  $\mathbf{Q}$  и левая часть уравнения (23.2) равны

$$\begin{aligned} m(t) &= m_0 - \sum_{i=1}^n m_i^{yx}(t) + \sum_{l=1}^r m_l^{np}(t), \\ \mathbf{Q} &= \left\{ m_0 - \sum_{i=1}^n m_i^{yx}(t) + \sum_{l=1}^r m_l^{np}(t) \right\} \mathbf{V}, \\ \frac{d\mathbf{Q}}{dt} &= \frac{d(m\mathbf{V})}{dt} = \frac{dm}{dt}\mathbf{V} + m\frac{d\mathbf{V}}{dt} = \\ &= \left( -\sum_{i=1}^n \frac{dm_i^{yx}}{dt} + \sum_{l=1}^r \frac{dm_l^{np}}{dt} \right) \mathbf{V} + m\frac{d\mathbf{V}}{dt}. \end{aligned} \quad (24.1)$$

Пусть за время  $\Delta t$  тело покинули массы  $\Delta m_i^{yx}$ , и присоединились к движению тела массы  $\Delta m_l^{np}$ . С точностью до членов первого порядка малости уход и приход импульса равны

$$\Delta\mathbf{Q}^{yx} = \sum_{i=1}^n \Delta m_i^{yx} \mathbf{C}_i^{yx}, \quad \Delta\mathbf{Q}^{np} = \sum_{l=1}^r \Delta m_l^{np} \mathbf{C}_l^{np}, \quad (24.2)$$

где  $\mathbf{C}_i^{yx}$ ,  $\mathbf{C}_l^{np}$  — средние за промежуток времени  $\Delta t$  скорости. Вычисление с учетом (24.2) дополнительной силы (23.3) приводит к формуле

$$\mathbf{R}^{do\pi} = \lim_{\Delta t \rightarrow 0} \left( -\frac{\Delta\mathbf{Q}^{yx}}{\Delta t} + \frac{\Delta\mathbf{Q}^{np}}{\Delta t} \right) = -\sum_{i=1}^n \frac{dm_i^{yx}}{dt} \mathbf{C}_i^{yx} + \sum_{l=1}^r \frac{dm_l^{np}}{dt} \mathbf{C}_l^{np}. \quad (24.3)$$

Результатом подстановки (24.1) и (24.3) в уравнение (23.2) является **уравнение Мещерского**

$$m\frac{d\mathbf{V}}{dt} = \mathbf{R}^{внешн} - \sum_{i=1}^n \frac{dm_i^{yx}}{dt} \mathbf{u}_i^{yx} + \sum_{l=1}^r \frac{dm_l^{np}}{dt} \mathbf{u}_l^{np}, \quad (24.4)$$

где  $\mathbf{u}_i^{yx} = \mathbf{C}_i^{yx} - \mathbf{V}$ ,  $\mathbf{u}_i^{np} = \mathbf{C}_i^{np} - \mathbf{V}$  — скорости уходящих и приходящих масс в подвижной поступательной системе, связанной с телом.

Используем уравнение Мещерского для описания вертикального взлета ракеты. Относительную скорость  $\mathbf{u}$  истечения продуктов сгорания считаем постоянной и направленной противоположно скорости ракеты. С учетом того, что в

данном случае:  $m(t) = m_0 - m^{yx}(t)$ ,  $\dot{m}(t) = -\dot{m}^{yx}(t)$ , проекция уравнения Мещерского (24.4) на направление полета равна

$$m \frac{dV}{dt} = -mg - \frac{dm}{dt}u. \quad (24.5)$$

Уравнение (24.5) интегрируется, что приводит к результату

$$V(t) = V_0 - gt + u \ln \frac{m_0}{m(t)}. \quad (24.6)$$

При  $g = 0$  это соотношение носит название **формулы Циолковского**. Из формулы (24.6) видно, что текущее значение скорости определяется только моментом времени  $t$  и текущим значением массы  $m(t)$  ракеты. Для вычисления высоты  $h = \int V(t)dt$  требуется дополнительно знать закон сгорания топлива  $m(t) = m_0 - m^{yx}(t)$ .

При помощи уравнений (23.6) и (24.5) вычислим мощность внутренних сил, участвующих в разгоне продуктов сгорания до относительной скорости  $u$ . За время  $\Delta t$  ракету покидает масса  $\Delta m^{yx}$  с абсолютной скоростью  $V - u$ , что в соответствии с (23.7) и  $\Delta m^{yx} = -\Delta m$  приводит к результату

$$N^{\text{доп}} = \frac{1}{2} \frac{dm}{dt} (V - u)^2. \quad (24.7)$$

Непосредственное вычисление с учетом (24.5) дает формулу

$$\frac{dT}{dt} = \frac{d}{dt} \left( \frac{mV^2}{2} \right) = -mgV + \frac{1}{2} \frac{dm}{dt} (V^2 - 2Vu),$$

а в соответствии с (23.6) правая часть должна быть равна

$$N^{\text{тяж}} + N^{\text{внутр}} + N^{\text{доп}},$$

что и приводит с учетом  $N^{\text{тяж}} = -mgV$  и (24.7) к результату для мощности внутренних сил

$$N^{\text{внутр}} = -\frac{dm}{dt} \frac{u^2}{2}.$$

## § 25. ВРАЩЕНИЕ ТЕЛА ПЕРЕМЕННОГО СОСТАВА ВОКРУГ НЕПОДВИЖНОЙ ОСИ. ВЫТЕКАНИЕ ЖИДКОСТИ ИЗ ПОДВИЖНОЙ ЦИСТЕРНЫ

**Вращение тела переменного состава вокруг неподвижной оси  $z$ .** Рассуждениями, аналогичными тем, которые привели к уравнению Мещерского (24.4), выводится формула:

$$I_z(t) \frac{d\omega}{dt} = M_z^{внешн} - \sum_{i=1}^n \frac{dm_i^{yx}}{dt} M_z\{\mathbf{u}_i^{yx}\} + \sum_{l=1}^r \frac{dm_l^{np}}{dt} M_z\{\mathbf{u}_l^{np}\}, \quad (25.1)$$

где  $I_z(t)$  — момент инерции тела относительно оси вращения  $z$ ,  $M_z^{внешн}$  — главный момент внешних сил относительно оси  $z$ ,  $M_z\{\cdot\}$  — операция вычисления момента относительно оси  $z$ , прочие обозначения те же, что и в (24.4).

В качестве примера использования уравнения (25.1) рассмотрим задачу о раскручивании кольцевой космической станции при помощи реактивных двигателей [12, задача 10.29]. Скорости истечения  $\mathbf{u}^{yx}$  продуктов сгорания у двигателей неизменны по величине:  $u^{yx} = u$ , — и направлены по касательной к внешней окружности радиуса  $R$ . Раскручивание происходит вокруг оси симметрии  $z$ . Уравнение (25.1) принимает вид

$$(I_0 - m^{yx}(t)R^2) \frac{d\omega}{dt} = \frac{dm^{yx}}{dt} Ru, \quad (25.2)$$

где  $I_0$  — момент инерции тела в момент времени  $t = 0$ ,  $m^{yx}(t) = \sum_{i=1}^n m_i^{yx}(t)$  — суммарный расход горючего за промежуток времени  $[0, t]$ ,  $M_z\{\mathbf{u}_i^{yx}\} = -Ru$ . Результат интегрирования уравнения (25.2) аналогичен формуле (24.6):

$$\omega(t) = \omega_0 + \frac{u}{R} \ln \frac{I_0}{I_0 - m^{yx}(t)R^2}.$$

В заключение рассмотрим задачу, решение которой находится на грани возможностей конечномерной механики.

Однородная жидкость вытекает из цистерны массы  $M$  через кран, отстоящий от центра инерции цистерны на расстоянии  $a$  по горизонтали (рис. 25.1). Ось крана вертикальна, и частицы вытекшей жидкости сохраняют ту горизонтальную составляющую скорости, которую они имели в момент отделения от крана. Во все время движения уровень жидкости в цистерне остается горизонтальным, а центр инерции находится на той же вертикали, что и центр инерции цистерны. Пренебрегая массой колес и трением, найти скорость движения цистерны в зависимости от времени  $t$ , если масса жидкости в цистерне меняется по закону

$$m(t) = \frac{1}{2}m_0 \left(1 + \cos \frac{\pi t}{t_1}\right), \quad (25.3)$$

где  $m_0$  — начальная масса жидкости, а  $t_1$  определяет промежуток времени  $[0, t_1]$ , за который жидкость полностью покидает цистерну [12, задача 10.12].

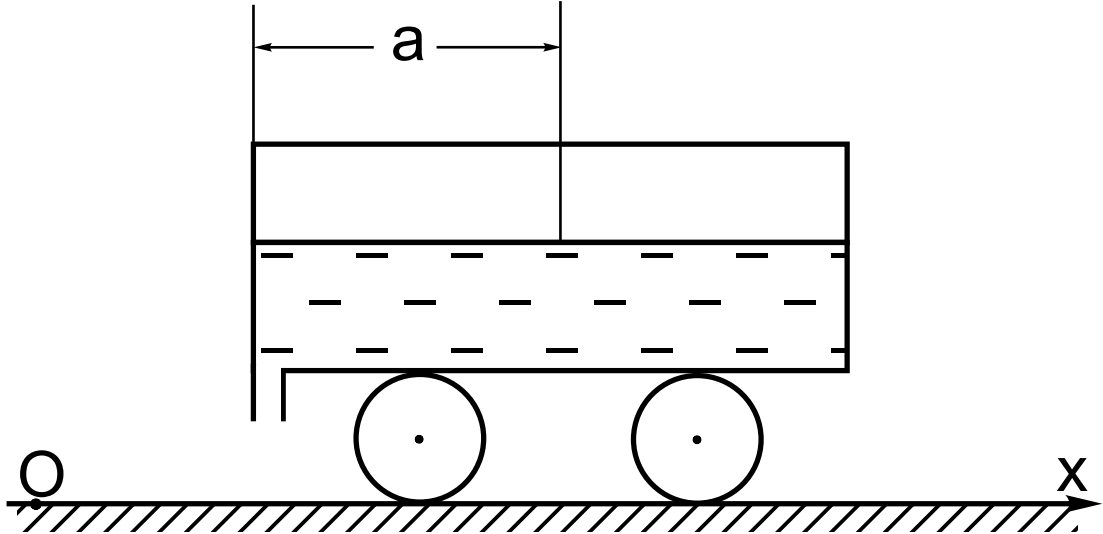


Рис. 25.1

Сложность задачи заключается в том, что жидкость в цистерне ведет себя не как твердое тело: из-за асимметрии вытекания для сохранения горизонтальности поверхности происходит неравномерное перемещение жидкости, вследствие чего существует неопределенность с вычислением импульса, момента импульса и кинетической энергии. Решение задачи основано на бесспорном факте: так как внешние горизонтальные силы отсутствуют, то общий центр инерции

$$x_C = \frac{\sum m_i x_i}{M + m_0}$$

— цистерны, жидкости в ней и вытекшей жидкости — в горизонтальном направлении перемещается с постоянной скоростью:

$$\sum m_i x_i = \{M + m(t)\}X(t) + \int_0^t x(\tau) dm^{yx}\}(\tau) = C_1 t + C_2. \quad (25.4)$$

Обозначено:  $X(t)$  — горизонтальная координата центра масс цистерны;  $m(t)$  — масса жидкости в ней;  $C_1 = V_0/(M + m_0)$ ,  $C_2 = X_0/(M + m_0)$ ; интеграл определяет вклад в положение общего центра инерции частиц  $dm^{yx}\}(\tau)$ , покинувших цистерну в момент времени  $\tau \in [0, t]$ . В момент времени  $\tau$  частицы имели координаты  $X(\tau)$  —  $a$  и приобретали скорости  $\dot{X}(\tau)$ , вследствие чего к моменту времени  $t$  они занимали в проекции на горизонталь положение

$$x(\tau) = X(\tau) - a + \dot{X}(\tau)(t - \tau). \quad (25.5)$$

Масса  $dm^{yx}(\tau)$  частицы, покинувшей цистерну в момент времени  $\tau$ , равна

$$dm^{yx}(\tau) = \dot{m}^{yx}(\tau)d\tau = -\dot{m}(\tau)d\tau, \quad (25.6)$$

учтено:  $m(t) = m_0 - m^{yx}(t)$ ,  $\dot{m}(t) = -\dot{m}^{yx}(t)$ . Подстановка (25.5)) и (25.6) в (25.4) приводит к интегро-дифференциальному уравнению для  $X(t)$ :

$$\{M + m(t)\}X(t) - \int_0^t \left\{ X(\tau) - a + \dot{X}(\tau)(t - \tau) \right\} \dot{m}(\tau) d\tau = C_1 t + C_2,$$

а после двукратного дифференцирования по  $t$  — к дифференциальному уравнению

$$\ddot{X} = -\frac{a\ddot{m}(t)}{M + m(t)}.$$

Подстановка в уравнение закона (25.3) изменения массы  $m(t)$  и интегрирование при начальном условии  $\dot{X}(0) = 0$  приводит к результату

$$V(t) = \dot{X}(t) = a \frac{\pi}{t_1} \left\{ \frac{\pi}{t_1} t - \frac{2M + m_0}{\sqrt{M(M + m_0)}} \operatorname{arctg} \left( \sqrt{\frac{M}{M + m_0}} \operatorname{tg} \frac{\pi t}{2t_1} \right) \right\}.$$

Результат верен при  $t \in [0, t_1]$ . К моменту времени  $t_1$  жидкость полностью покидает цистерну, и её движение в дальнейшем происходит с постоянной скоростью

$$V = V(t_1) = a \frac{\pi^2}{t_1} \left\{ 1 - \frac{2M + m_0}{2\sqrt{M(M + m_0)}} \right\}.$$

Заметим, что, каково бы ни было отношение масс  $M$  и  $m_0$ , при малых значениях  $t$  для скорости выполняется  $V(t) > 0$  ( $\dot{X}(0) = 0$ ,  $\ddot{X}(0) > 0$ ), а при  $t \geq t_1$  — выполняется  $V(t) < 0$ , т.е. сначала цистерна движется вправо (рис. 25.1), а затем направление движения меняется.

# ГЛАВА 8

## ЗАДАНИЕ ПОЛОЖЕНИЯ ТВЁРДОГО ТЕЛА

### § 26. МАТРИЦА ПОВОРОТА. УГЛЫ ЭЙЛЕРА

В § 4 было показано: чтобы знать в момент времени  $t$  положение каждой точки твёрдого тела, нужно знать положение одной из точек  $O$  тела и положение отложенного от точки  $O$  ортонормированного базиса, связанного с телом (рис. 4.1), то есть, знать четыре вектора  $\mathbf{r}_0(t)$ ,  $\mathbf{e}_1(t)$ ,  $\mathbf{e}_2(t)$ ,  $\mathbf{e}_3(t)$ . Задание положения и поведения точки  $O$  было обсуждено в главе 1. В настоящей главе будут обсуждаться способы задания ориентации твёрдого тела: положения связанного с телом базиса  $\mathbf{e}_1(t)$ ,  $\mathbf{e}_2(t)$ ,  $\mathbf{e}_3(t)$ . Одним из способов является задание каждого вектора  $\mathbf{e}_k(t)$  разложением по базису  $\mathbf{i}_1$ ,  $\mathbf{i}_2$ ,  $\mathbf{i}_3$ , связанному с системой отсчёта (рис. 4.1):

$$\mathbf{e}_k = \sum_{l=1}^3 a_{kl} \mathbf{i}_l. \quad (26.1)$$

Матрицу  $A = \|a_{kl}\|$  в (26.1) называют **матрицей поворота** или **матрицей направляющих косинусов** ( $a_{kl} = \cos(\widehat{\mathbf{e}_k, \mathbf{i}_l})$ ) [5, 8]. Так как оба базиса ортонормированы (см. (2.1) и (4.1)), вычисления с учётом (26.1)

$$\delta_{kj} = (\mathbf{e}_k, \mathbf{e}_j) = \sum_{l,s=1}^3 a_{kl} a_{js} (\mathbf{i}_l, \mathbf{i}_s) = \sum_{l,s=1}^3 a_{kl} a_{js} \delta_{ls} = \sum_{l=1}^3 a_{kl} a_{jl}$$

приводят к выводу

$$\sum_{l=1}^3 a_{kl} a_{jl} = \delta_{kj} \quad \text{или} \quad AA^T = E, \quad (26.2)$$

что матрица  $A = \|a_{kl}\|$  ортогональна [3]. Из (26.2) следует, что обратной к матрице  $A$  является ей транспонированная  $A^T$ :  $A^{-1} = A^T$ , то есть, разрешение соотношения (26.1) относительно  $\mathbf{i}_l$  приводит к результату

$$\mathbf{i}_l = \sum_{j=1}^3 a_{jl} \mathbf{e}_j. \quad (26.3)$$

Вследствие движения твёрдого тела орты  $\mathbf{e}_j(t)$  и матрица поворота  $A(t) = \|a_{kl}(t)\|$  зависят от времени  $t$ . Дифференцирование по  $t$  формул (26.2) определяет выражения

$$\sum_{l=1}^3 \dot{a}_{kl} a_{jl} = - \sum_{l=1}^3 a_{kl} \dot{a}_{jl} \quad \text{или} \quad \dot{AA}^T = -A\dot{A}^T. \quad (26.4)$$

Продифференцируем по  $t$  переход (26.1) с последующей заменой при помощи (26.3)  $\dot{\mathbf{i}}_l$  на  $\mathbf{e}_j$ :

$$\dot{\mathbf{e}}_k = \sum_{l=1}^3 \dot{a}_{kl} \dot{\mathbf{i}}_l = \sum_{l=1}^3 \dot{a}_{kl} a_{jl} \mathbf{e}_j = \sum_{l=1}^3 b_{kj} \mathbf{e}_j. \quad (26.5)$$

Обозначено  $B = \|b_{kj}\| = \|\dot{a}_{kl} a_{jl}\| = \dot{A} A^T$ . Матрица  $B$  кососимметрична:

$$B^T = (\dot{A} A^T)^T = A \dot{A}^T \stackrel{(26.4)}{=} -\dot{A} A^T = -B,$$

и поэтому её можно представить в виде [10, гл. I, § 4]

$$B = \begin{pmatrix} 0 & -\omega_3 & \omega_2 \\ \omega_3 & 0 & -\omega_1 \\ -\omega_2 & \omega_1 & 0 \end{pmatrix}.$$

Если с использованием элементов  $\omega_j$  матрицы  $B$  ввести вектор  $\boldsymbol{\omega} = \sum_{l=1}^3 \omega_j \mathbf{e}_j$ , то не трудно непосредственно проверить, что две формулы — (26.5) и (4.6) ( $\dot{\mathbf{e}}_k = [\boldsymbol{\omega}, \mathbf{e}_k]$ ) — приводят к совпадающим результатам. Этот факт есть ещё одно доказательство существования угловой скорости  $\boldsymbol{\omega}$  в лемме 4.1.

Соотношение (26.2) накладывает шесть условий на девять элементов  $a_{kl}$  матрицы  $A = \|a_{kl}\|$ :

$$\begin{aligned} \sum_{l=1}^3 a_{1l}^2 &= 1, & \sum_{l=1}^3 a_{2l}^2 &= 1, & \sum_{l=1}^3 a_{3l}^2 &= 1, \\ \sum_{l=1}^3 a_{1l} a_{2l} &= 0, & \sum_{l=1}^3 a_{1l} a_{3l} &= 0, & \sum_{l=1}^3 a_{2l} a_{3l} &= 0. \end{aligned}$$

Таким образом, существует принципиальная возможность три элемента из девяти  $a_{kl}$  изменять произвольно, а остальные шесть выразить (локально) из приведённых уравнений. Или — все девять выразить через некоторые три переменные. Одна из таких возможностей осуществляется введением **углов Эйлера**.

Базис системы отсчёта  $\mathbf{i}_1, \mathbf{i}_2, \mathbf{i}_3$  и базис  $\mathbf{e}_1, \mathbf{e}_2, \mathbf{e}_3$ , связанный с телом, отложим от общей начальной точкой  $O$  (рис. 26.1, орт  $\mathbf{e}_2$  не изображён). Углы Эйлера вводятся как углы между векторами ( $\mathbf{n}$  — орт на линии узлов:  $\mathbf{n} \perp \mathbf{i}_3, \mathbf{n} \perp \mathbf{e}_3$ ):

$$\begin{aligned} \theta &= \widehat{\mathbf{i}_3, \mathbf{e}_3} \text{ — угол нутации;} \\ \psi &= \widehat{\mathbf{i}_1, \mathbf{n}} \text{ — угол прецессии;} \\ \varphi &= \widehat{\mathbf{n}, \mathbf{e}_1} \text{ — угол собственного вращения.} \end{aligned}$$

Отметим, что конкретный выбор углов  $\theta, \psi, \varphi$  однозначно определяет положение тела, но если положению тела соответствует коллинеарность векторов  $\mathbf{i}_3$  и  $\mathbf{e}_3$  ( $\theta = 0$  или  $\theta = \pi$ ), то не единственным образом определены линия узлов и значения углов  $\psi$  и  $\varphi$ , то есть углы Эйлера не являются глобальными координатами. Несмотря на то, что неглобальность проявляется “по мере нуль”, это

обстоятельство проявляется в сингулярности некоторых уравнений (см. далее (26.9)).

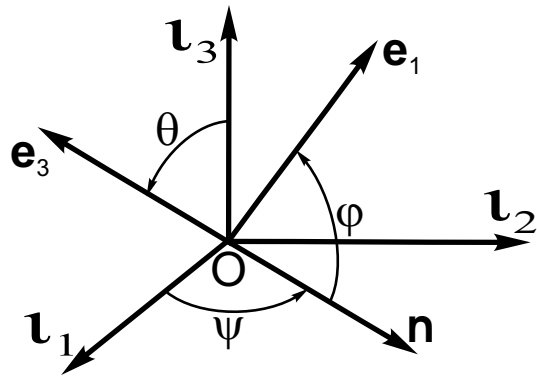


Рис. 26.1

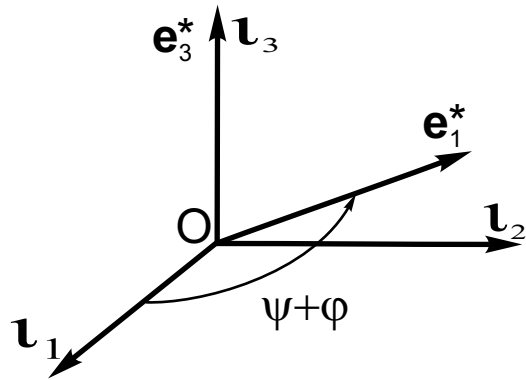


Рис. 26.2

**Теорема 26.1.** Твёрдое тело можно привести в положение, соответствующее углам Эйлера  $\theta$ ,  $\psi$ ,  $\varphi$  двумя поворотами:

1. вокруг  $\mathbf{i}_3$  на угол  $\psi + \varphi$ ;
2. вокруг  $\mathbf{n}$  на угол  $\theta$ .

□ Первый поворот показан на рис. 26.2.  $\mathbf{e}_1^*$  и  $\mathbf{e}_3^*$  — промежуточные положения ортov. Угол  $\psi$  однозначно задаёт положение орта  $\mathbf{n}$ , который определяет второй поворот и окончательное положение тела (рис 26.1). ■

Углы Эйлера задают сложное вращение тела (§ 11): первая подвижная система совершает чистое вращение (определение 11.2) с угловой скоростью  $\boldsymbol{\omega}_1 = \dot{\psi} \mathbf{i}_3$ , другая подвижная система совершает чистое вращение относительно первой с угловой скоростью  $\boldsymbol{\omega}_2 = \dot{\theta} \mathbf{n}$ , тело совершает чистое вращение относительно

последней подвижной системы с угловой скоростью  $\omega_3 = \dot{\varphi}\mathbf{e}_3$ . По теореме 9.1 абсолютная угловая скорость тела равна:

$$\boldsymbol{\omega} = \dot{\psi}\mathbf{i}_3 + \dot{\theta}\mathbf{n} + \dot{\varphi}\mathbf{e}_3. \quad (26.6)$$

Вычислим коэффициенты  $p, q, r$  разложения угловой скорости по базису, связанному с телом:

$$\boldsymbol{\omega} = p\mathbf{e}_1 + q\mathbf{e}_2 + r\mathbf{e}_3. \quad (26.7)$$

Для вычисления, например, коэффициента  $p$  требуется формулу (26.6) скалярно умножить на  $\mathbf{e}_1$ :

$$p = (\boldsymbol{\omega}, \mathbf{e}_1) = \dot{\psi}(\mathbf{i}_3, \mathbf{e}_1) + \dot{\theta}(\mathbf{n}, \mathbf{e}_1) + \dot{\varphi}(\mathbf{e}_3, \mathbf{e}_1).$$

Опуская вычисление скалярных произведений, выпишем результат для  $p$  и для других коэффициентов  $q, r$ :

$$\begin{aligned} p &= \dot{\psi} \sin \theta \sin \varphi + \dot{\theta} \cos \varphi, \\ q &= \dot{\psi} \sin \theta \cos \varphi - \dot{\theta} \sin \varphi, \\ r &= \dot{\psi} \cos \theta + \dot{\varphi}. \end{aligned} \quad (26.8)$$

Уравнения (26.8) называются **кинематическими уравнениями Эйлера**. После разрешения относительно производных уравнения становятся системой обыкновенных дифференциальных уравнений в нормальном виде:

$$\begin{aligned} \dot{\psi} &= (p \sin \varphi + q \cos \varphi) \frac{1}{\sin \theta}, \\ \dot{\theta} &= p \cos \varphi - q \sin \varphi, \\ \dot{\varphi} &= (p \sin \varphi + q \cos \varphi) \operatorname{ctg} \theta. \end{aligned} \quad (26.9)$$

Обращаем внимание на обещанный  $\sin \theta$  в знаменателе.

## § 27. АЛГЕБРА КВАТЕРНИОНОВ

Напомним понятие конечномерной алгебры над полем вещественных чисел [7, гл. VI]. В линейном векторном пространстве с базисом  $\mathbf{i}_1, \dots, \mathbf{i}_n$  и элементами  $\Lambda = \sum_{k=1}^n \lambda_k \mathbf{i}_k$ ,  $M = \sum_{l=1}^n \mu_l \mathbf{i}_l$  ( $\lambda_k$  и  $\mu_l$  — вещественные числа) определено умножение  $\Lambda \circ M$ . Операции сложения и умножения связаны распределительным (дистрибутивным) законом  $\Lambda \circ (M + N) = \Lambda \circ M + \Lambda \circ N$ , вследствие которого для перемножения двух элементов выполняется:  $\Lambda \circ M = \sum_{k,l=1}^n \lambda_k \mu_l \mathbf{i}_k \circ \mathbf{i}_l$ , то есть, для введения умножения в векторное пространство требуется определить таблицу умножения  $\mathbf{i}_k \circ \mathbf{i}_l$ . Введённое таким образом пространство называется алгеброй.

**Алгебра комплексных чисел** — двумерное векторное пространство с элементами  $\Lambda = \lambda_0 \mathbf{i}_0 + \lambda_1 \mathbf{i}_1$  и таблицей умножения  $\mathbf{i}_0 \circ \mathbf{i}_0 = \mathbf{i}_0$ ,  $\mathbf{i}_0 \circ \mathbf{i}_1 = \mathbf{i}_1$ ,  $\mathbf{i}_1 \circ \mathbf{i}_0 = \mathbf{i}_1$ ,  $\mathbf{i}_1 \circ \mathbf{i}_1 = -\mathbf{i}_0$ . Из приведённой таблицы видно, что базисный элемент  $\mathbf{i}_0$  играет роль единицы ( $\Lambda \circ \mathbf{i}_0 = \mathbf{i}_0 \circ \Lambda = \Lambda$ ), он отождествляется с единицей 1 и при умножении опускается:  $\Lambda = \lambda_0 + \lambda_1 \mathbf{i}_1$ . Базисный элемент  $\mathbf{i}_1 = \mathbf{i}$  называется мнимой единицей:  $\mathbf{i} \circ \mathbf{i} = -1$ .

**Алгебра кватернионов** [4, 7] является обобщением алгебры комплексных чисел. Это четырёхмерное векторное пространство с базисом  $\mathbf{i}_0, \mathbf{i}_1, \mathbf{i}_2, \mathbf{i}_3$ . Так же, как у комплексных чисел, базисный элемент  $\mathbf{i}_0$  играет роль единицы ( $\Lambda \circ \mathbf{i}_0 = \mathbf{i}_0 \circ \Lambda = \Lambda$ ), он отождествляется с единицей 1 и при умножении опускается:  $\Lambda = \lambda_0 + \sum_{k=1}^3 \lambda_k \mathbf{i}_k$ . Для прочих базисных элементов ( $k, l = \overline{1, 3}$ ) в таблице умножения принимается

$$\mathbf{i}_k \circ \mathbf{i}_l = \begin{cases} -1, & \text{если } k = l; \\ [\mathbf{i}_k, \mathbf{i}_l], & \text{если } k \neq l. \end{cases} \quad (27.1)$$

Для кватерниона

$$\Lambda = \lambda_0 + \lambda_1 \mathbf{i}_1 + \lambda_2 \mathbf{i}_2 + \lambda_3 \mathbf{i}_3 = \lambda_0 + \boldsymbol{\lambda} \quad (27.2)$$

используются названия:  $\lambda_0$  — скалярная часть,  $\boldsymbol{\lambda} = \lambda_1 \mathbf{i}_1 + \lambda_2 \mathbf{i}_2 + \lambda_3 \mathbf{i}_3$  — векторная часть кватерниона. С учётом (27.1) кватернионное умножение двух кватернионов

$$\Lambda = \lambda_0 + \lambda_1 \mathbf{i}_1 + \lambda_2 \mathbf{i}_2 + \lambda_3 \mathbf{i}_3 = \lambda_0 + \boldsymbol{\lambda}, \quad M = \mu_0 + \mu_1 \mathbf{i}_1 + \mu_2 \mathbf{i}_2 + \mu_3 \mathbf{i}_3 = \mu_0 + \boldsymbol{\mu}$$

приводит к результату

$$\Lambda \circ M = \underbrace{\lambda_0 \mu_0 - (\boldsymbol{\lambda}, \boldsymbol{\mu})}_{\text{скалярная часть}} + \underbrace{\lambda_0 \boldsymbol{\mu} + \mu_0 \boldsymbol{\lambda} + [\boldsymbol{\lambda}, \boldsymbol{\mu}]}_{\text{векторная часть}}. \quad (27.3)$$

Отметим, что кватернионное умножение некоммутативно, из (27.3) следует

$$\Lambda \circ M - M \circ \Lambda = 2[\boldsymbol{\lambda}, \boldsymbol{\mu}]. \quad (27.4)$$

Приведём несколько частных случаев формулы (27.3). Кватернионный квадрат:

$$\Lambda^2 = \Lambda \circ \Lambda = \lambda_0^2 - \sum_{k=1}^3 \lambda_k^2 + 2\lambda_0 \boldsymbol{\lambda}. \quad (27.5)$$

Кватернионное произведение векторов ( $\lambda_0 = 0, \mu_0 = 0$ ):

$$\boldsymbol{\lambda} \circ \boldsymbol{\mu} = -(\boldsymbol{\lambda}, \boldsymbol{\mu}) + [\boldsymbol{\lambda}, \boldsymbol{\mu}]. \quad (27.6)$$

Кватернионный квадрат вектора:

$$\boldsymbol{\lambda} \circ \boldsymbol{\lambda} = - \sum_{k=1}^3 \lambda_k^2 = -|\boldsymbol{\lambda}|^2. \quad (27.7)$$

Кватернионный квадрат орта ( $|\mathbf{e}| = 1$ ):

$$\mathbf{e} \circ \mathbf{e} = -|\mathbf{e}|^2 = -1. \quad (27.8)$$

Из (27.8) видно, что любой орт  $\mathbf{e}$  ведёт себя с кватернионной точки зрения как мнимая единица.

По формуле (27.3) проверяется ассоциативность кватернионного умножения:

$$(\Lambda \circ M) \circ N = \Lambda \circ (M \circ N). \quad (27.9)$$

**Пример 27.1** [12, задача 4.61]. Решить кватернионное квадратное уравнение

$$\Lambda^2 + 2b\Lambda + c = 0,$$

$b$  и  $c$  — действительные числа. Подстановка  $\Lambda^2$  из (27.5) и  $\Lambda$  в уравнение, приведение к нулю векторной и скалярной частей приводит к уравнениям

$$2\boldsymbol{\lambda}(\lambda_0 + b) = 0, \quad \lambda_0^2 - |\boldsymbol{\lambda}|^2 + 2b\lambda_0 + c = 0,$$

из которых следует вывод:

при  $c = b^2$  единственное скалярное решение  $\Lambda = \lambda_0 = -b$ ;

при  $c < b^2$  два скалярных решения  $\Lambda = \lambda_0 = -b \pm \sqrt{b^2 - c}$ ;

при  $c > b^2$  решений бесконечно много,  $\lambda_0 = -b$ , векторная часть — любой вектор  $\boldsymbol{\lambda}$ , для которого выполняется  $|\boldsymbol{\lambda}|^2 = c - b^2$ .

Кватерниону  $\Lambda = \lambda_0 + \boldsymbol{\lambda}$  соответствует **сопряжённый кватернион**  $\tilde{\Lambda} = \lambda_0 - \boldsymbol{\lambda}$ . Отметим свойство, которое будет использовано далее:

$$\left\{ \Lambda = -\tilde{\Lambda} \right\} \Leftrightarrow \left\{ \Lambda = \boldsymbol{\lambda} \quad (\lambda_0 = 0) \right\}. \quad (27.10)$$

Отметим ещё одно свойство, проверяемое по определению сопряжённого кватерниона (учтена ассоциативность (27.9))

$$\widetilde{\Lambda_1 \circ \cdots \circ \Lambda_n} = \tilde{\Lambda}_n \circ \cdots \circ \tilde{\Lambda}_1. \quad (27.11)$$

По формуле умножения (27.3) определяется **норма кватерниона**:

$$\|\Lambda\| = \Lambda \circ \tilde{\Lambda} = \tilde{\Lambda} \circ \Lambda = \lambda_0^2 + \lambda_1^2 + \lambda_2^2 + \lambda_3^2, \quad (27.12)$$

из которой следует, что любой кватернион  $\Lambda \neq 0$  имеет обратный ( $\Lambda^{-1} \circ \Lambda = \Lambda \circ \Lambda^{-1} = 1$ )

$$\Lambda^{-1} = \frac{1}{\|\Lambda\|} \tilde{\Lambda}. \quad (27.13)$$

Для произведения кватернионов выполняется (доказывается по определению (27.12) нормы)

$$\|\Lambda \circ M\| = \|\Lambda\| \|M\|. \quad (27.14)$$

Для **нормированного кватерниона** выполняется

$$\|\Lambda\| = \Lambda \circ \tilde{\Lambda} = \tilde{\Lambda} \circ \Lambda = \lambda_0^2 + \lambda_1^2 + \lambda_2^2 + \lambda_3^2 = 1. \quad (27.15)$$

Из (27.14) следует, что множество нормированных кватернионов — подалгебра. Из формулы (27.13) следует, что для обратного нормированному кватерниону выполняется

$$\Lambda^{-1} = \tilde{\Lambda}. \quad (27.16)$$

Как вытекает из определения (27.15), для нормированного кватерниона справедливо  $|\lambda_0| \leq 1$ , то есть,  $\lambda_0$  можно выразить через угол  $\varphi$ :

$$\lambda_0 = \cos \frac{\varphi}{2},$$

для прочих коэффициентов выполняется

$$\lambda_1^2 + \lambda_2^2 + \lambda_3^2 = 1 - \cos^2 \frac{\varphi}{2} = \sin^2 \frac{\varphi}{2}.$$

Таким образом, нормированный кватернион можно представить следующим образом:

$$\Lambda = \cos \frac{\varphi}{2} + \mathbf{e} \sin \frac{\varphi}{2}, \quad \mathbf{e} — \text{орт.} \quad (27.17)$$

## § 28. СЛОЖЕНИЕ ПОВОРОТОВ. ПАРАМЕТРЫ РОДРИГА–ГАМИЛЬТОНА

При помощи нормированного кватерниона задаётся поворот трёхмерного пространства.

**Теорема 28.1.** *Пусть задан нормированный кватернион (27.17). Тогда операция (учтена ассоциативность (27.9))*

$$\Lambda \circ \mathbf{r} \circ \tilde{\Lambda} = \mathbf{r}^* \quad (28.1)$$

над произвольным вектором  $\mathbf{r}$  ( $\tilde{\Lambda}$  – кватернион, сопряжённый (27.17)) приводит к вектору  $\mathbf{r}^*$ , который есть результат поворота вектора  $\mathbf{r}$  вокруг вектора  $\mathbf{e}$  на угол  $\varphi$ .

□ В простом случае  $\mathbf{r} \parallel \mathbf{e}$  утверждение теоремы вследствие (27.4) и (27.15) очевидно:  $\Lambda \circ \mathbf{r} \circ \tilde{\Lambda} = \mathbf{r} \circ \Lambda \circ \tilde{\Lambda} = \mathbf{r}$ . Далее предполагается  $[\mathbf{e}, \mathbf{r}] = \mathbf{b} \neq 0$ ,  $b = r \sin \gamma$  (рис. 28.1).

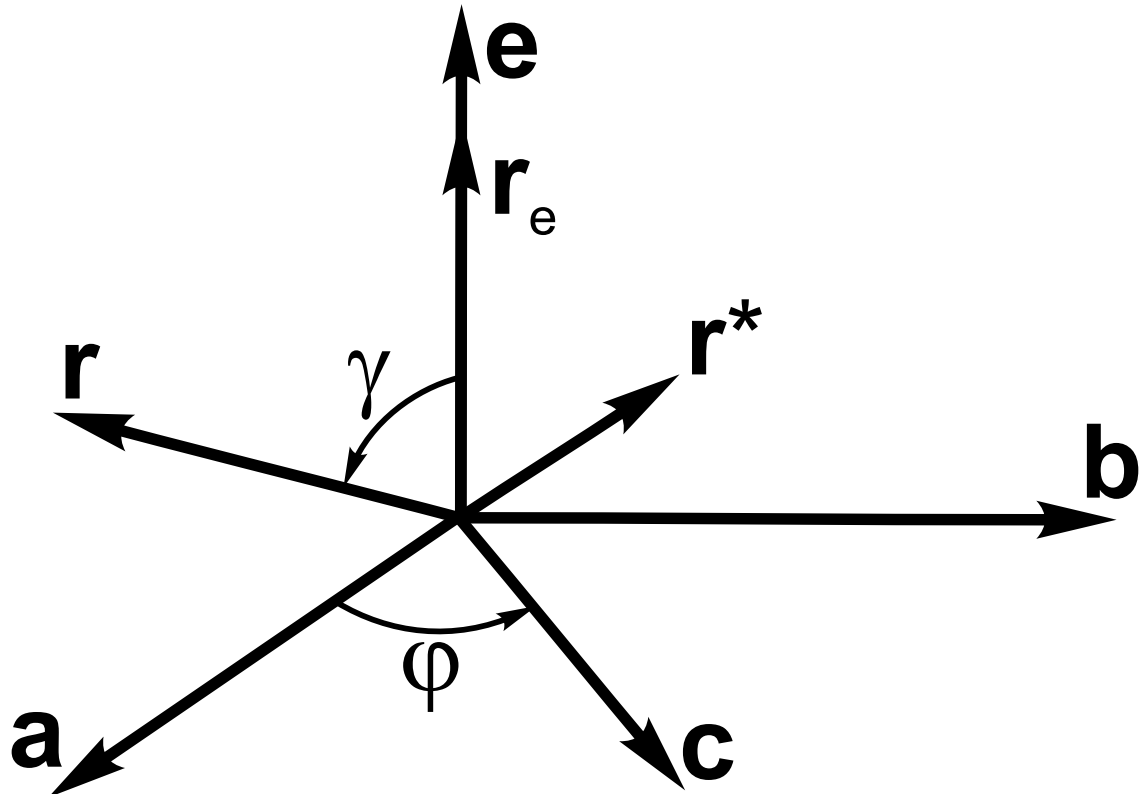


Рис. 28.1

Введём вектор  $\mathbf{a} = [\mathbf{b}, \mathbf{e}]$ ,  $a = b = r \sin \gamma$ . Три вектора  $\mathbf{a}$ ,  $\mathbf{b}$ ,  $\mathbf{e}$  – правый ортогональный базис. Вектор  $\mathbf{r}$  раскладывается по этому базису следующим образом

$\mathbf{r} = \mathbf{a} + \mathbf{r}_e$  (рис. 28.1). Утверждение, которое нужно доказать, при помощи введённых векторов формулируется следующим образом (рис. 28.1):

$$\mathbf{r}^* = \mathbf{r}_e + \mathbf{c} = \mathbf{r}_e + \mathbf{a} \cos \varphi + \mathbf{b} \sin \varphi.$$

Проделаем необходимые для доказательства вычисления

$$\begin{aligned} \mathbf{r}^* &= \Lambda \circ \mathbf{r} \circ \tilde{\Lambda} \stackrel{(27.4)}{=} \left( \mathbf{r} \circ \Lambda + 2[\mathbf{e} \sin \frac{\varphi}{2}, \mathbf{r}] \right) \circ \tilde{\Lambda} = \mathbf{r} \circ \overbrace{\Lambda \circ \tilde{\Lambda}}^1 + 2\mathbf{b} \circ \tilde{\Lambda} \sin \frac{\varphi}{2} = \\ &= \mathbf{r} + 2\mathbf{b} \circ \left( \cos \frac{\varphi}{2} - \mathbf{e} \sin \frac{\varphi}{2} \right) \sin \frac{\varphi}{2} = \mathbf{r} + \mathbf{b} \sin \varphi - \mathbf{a}(1 - \cos \varphi) = \\ &= \underbrace{\mathbf{r}_e}_{\mathbf{r}_e} + \underbrace{\mathbf{a} \cos \varphi + \mathbf{b} \sin \varphi}_{\mathbf{c}}. \end{aligned}$$

Кроме введённых ранее обозначений учтено, что (см. (27.6))

$$\mathbf{b} \circ \mathbf{e} = -(\mathbf{b}, \mathbf{e}) + [\mathbf{b}, \mathbf{e}] = -([\mathbf{e}, \mathbf{r}], \mathbf{e}) + [\mathbf{b}, \mathbf{e}] = [\mathbf{b}, \mathbf{e}] = \mathbf{a}.$$

■

Рассмотрим ситуацию двух последовательных поворотов.

$$\mathbf{r} \xrightarrow{\Lambda} \mathbf{r}^* \xrightarrow{M} \mathbf{r}^{**},$$

$$\mathbf{r} \xrightarrow{N=?} \mathbf{r}^{***}.$$

Кватернион  $\Lambda$  при помощи (28.1) переводит произвольный вектор  $\mathbf{r}$  в вектор  $\mathbf{r}^*$ , Кватернион  $M$  переводит вектор  $\mathbf{r}^*$  в вектор  $\mathbf{r}^{**}$ . Найти кватернион  $N$ , переводящий при помощи (28.1) вектор  $\mathbf{r}$  в вектор  $\mathbf{r}^{***}$ . Из (28.1) следует:  $\mathbf{r}^* = \Lambda \circ \mathbf{r} \circ \tilde{\Lambda}$ ,

$$\mathbf{r}^{***} = M \circ \mathbf{r}^* \circ \widetilde{M} = M \circ \Lambda \circ \mathbf{r} \circ \tilde{\Lambda} \circ \widetilde{M} \stackrel{(27.11)}{=} M \circ \Lambda \circ \mathbf{r} \circ \widetilde{M \circ \Lambda} = N \circ \mathbf{r} \circ \widetilde{N},$$

где обозначено  $N = M \circ \Lambda$ . Таким образом, два последовательных поворота — первый, заданный  $\Lambda$ , второй, заданный  $M$ , — можно заменить одним, заданным при помощи (28.1) кватернионом  $N = M \circ \Lambda$ . По индукции доказывается формула в общем случае:  $n$  последовательных поворотов

$$\mathbf{r} \xrightarrow{\Lambda_1} \dots \xrightarrow{\Lambda_n} \mathbf{r}^*$$

заменяются одним

$$\mathbf{r} \xrightarrow{N} \mathbf{r}^*,$$

заданным при помощи (28.1) кватернионом

$$N = \Lambda_n \circ \dots \circ \Lambda_1. \tag{28.2}$$

Обращаем внимание, что “творцы”  $\Lambda_1, \dots, \Lambda_n$  поворотов расположены в формule (28.2) в обратном порядке.

**Теорема 28.2 (Л. Эйлер)** [6, § 6]. *Два положения твёрдого тела с неподвижной точкой могут быть переведены одно в другое поворотом вокруг некоторой оси, заданной вектором  $\mathbf{k}$ , на некоторый угол  $\beta$ .*

□ Пусть на рис. 26.1 базис  $\mathbf{i}_1, \mathbf{i}_2, \mathbf{i}_3$  связан с одним положением тела, базис  $\mathbf{e}_1, \mathbf{e}_2, \mathbf{e}_3$  — с другим. Теорема 26.1 утверждает, что первое положение тела можно перевести во второе двумя поворотами. В эйлеровых углах этим двум поворотам в соответствии с формулой (28.1) можно сопоставить следующие кватернионы

$$\Lambda_1 = \cos \frac{\psi + \varphi}{2} + \mathbf{i}_3 \sin \frac{\psi + \varphi}{2}, \quad \Lambda_2 = \cos \frac{\theta}{2} + \mathbf{n} \sin \frac{\theta}{2}.$$

Формулы (28.2) и (27.3) определяют кватернион  $N$ , задающий результирующий поворот:

$$N = \Lambda_2 \circ \Lambda_1 = \cos \frac{\theta}{2} \cos \frac{\psi + \varphi}{2} + \\ + \mathbf{i}_3 \cos \frac{\theta}{2} \sin \frac{\psi + \varphi}{2} + \mathbf{n} \sin \frac{\theta}{2} \cos \frac{\psi + \varphi}{2} + [\mathbf{n}, \mathbf{i}_3] \sin \frac{\theta}{2} \sin \frac{\psi + \varphi}{2}. \quad (28.3)$$

Таким образом, если одно положение тела задано относительно другого положения углами Эйлера, то для совмещения положений нужно осуществить поворот второго положения на угол  $\beta$ , заданный уравнением

$$\cos \frac{\beta}{2} = \cos \frac{\theta}{2} \cos \frac{\psi + \varphi}{2}, \quad (28.4)$$

вокруг вектора

$$\mathbf{k} = \mathbf{i}_3 \cos \frac{\theta}{2} \sin \frac{\psi + \varphi}{2} + \mathbf{n} \sin \frac{\theta}{2} \cos \frac{\psi + \varphi}{2} + [\mathbf{n}, \mathbf{i}_3] \sin \frac{\theta}{2} \sin \frac{\psi + \varphi}{2}.$$

Если выразить орт  $\mathbf{n}$  через орты  $\mathbf{i}_1, \mathbf{i}_2, \mathbf{i}_3$  (рис. 26.1):  $\mathbf{n} = \mathbf{i}_1 \cos \psi + \mathbf{i}_2 \sin \psi$ , — и подставить это выражение в (28.3), получим результирующий кватернион в более принятом виде [8, 3.6]:

$$N = \Lambda_2 \circ \Lambda_1 = \cos \frac{\theta}{2} \cos \frac{\psi + \varphi}{2} + \\ + \mathbf{i}_1 \sin \frac{\theta}{2} \cos \frac{\psi - \varphi}{2} + \mathbf{i}_2 \sin \frac{\theta}{2} \sin \frac{\psi - \varphi}{2} + \mathbf{i}_3 \cos \frac{\theta}{2} \sin \frac{\psi + \varphi}{2}.$$

Для совмещения нужно повернуть тело на угол  $\beta$  (см. (28.4)) вокруг вектора

$$\mathbf{k} = \mathbf{i}_1 \sin \frac{\theta}{2} \cos \frac{\psi - \varphi}{2} + \mathbf{i}_2 \sin \frac{\theta}{2} \sin \frac{\psi - \varphi}{2} + \mathbf{i}_3 \cos \frac{\theta}{2} \sin \frac{\psi + \varphi}{2}. \quad (28.5)$$

■

**Пример 28.1** [12, задача 4.71]. Твёрдое тело совершает регулярную прецессию (определение 10.1, рис. 10.1) с параметрами:  $\theta$  — угол нутации,  $\omega^{oth} = \dot{\varphi}$  — угловая скорость собственного вращения,  $\omega^{per} = \dot{\psi}$  — угловая скорость прецессии. Связать начальное и конечное положения тела поворотом на угол  $\beta$  вокруг вектора  $\mathbf{k}$ .

Задачу решает подстановка в формулы (28.4), (28.5) выражений  $\varphi = \omega^{oth}t$ ,  $\psi = \omega^{per}t$ . В случае примера 10.1 — конус катается по плоскости без проскальзывания (рис. 10.2) — параметры регулярной прецессии можно указать конкретней:  $\theta = \alpha + \pi/2$ ,  $\omega^{per} = \Omega$ ,  $\omega^{oth} = \Omega/\sin \alpha$ . В [12, задача 4.71] для конуса уточняется  $\alpha = \pi/4$ .

Нормированный кватернион (27.17) при помощи теоремы 28.1 предоставляет возможность задать ориентацию тела относительно системы отсчёта:

$$\mathbf{e}_k = \Lambda \circ \mathbf{i}_k \circ \tilde{\Lambda}. \quad (28.6)$$

Кватернионное умножение (28.6) слева на  $\tilde{\Lambda}$ , справа на  $\Lambda$  с учётом (27.15) приводит к соотношению

$$\mathbf{i}_k = \tilde{\Lambda} \circ \mathbf{e}_k \circ \Lambda. \quad (28.7)$$

Кватернионное умножение нормированного кватерниона

$$\Lambda = \lambda_0 + \sum_{k=1}^3 \lambda_k \mathbf{i}_k \quad (28.8)$$

слева на  $\Lambda$ , справа на  $\tilde{\Lambda}$

$$\Lambda \circ \underbrace{\Lambda \circ \tilde{\Lambda}}_1 = \lambda_0 \underbrace{\Lambda \circ \tilde{\Lambda}}_1 + \sum_{k=1}^3 \lambda_k \underbrace{\Lambda \circ \mathbf{i}_k \circ \tilde{\Lambda}}_{\mathbf{e}_k}$$

с учётом (27.15) и (28.6) приводит к выражению  $\Lambda = \lambda_0 + \sum_{k=1}^3 \lambda_k \mathbf{e}_k$ , из которого следует, что если два базиса связаны по формуле (28.1) нормированным кватернионом  $\Lambda$ , то этот кватернион раскладывается по векторам этих базисов с одинаковыми коэффициентами разложения.

Из формул (28.6) и (28.8) следует: для того чтобы знать в каждый момент времени  $t$  ориентацию тела — положение связанных с телом ортов  $\mathbf{e}_1, \mathbf{e}_2, \mathbf{e}_3$  — нужно знать четыре числа  $\lambda_0, \lambda_1, \lambda_2, \lambda_3$ . Эти числа — коэффициенты разложения кватерниона (28.8), задающего по формуле (28.6) положения ортов  $\mathbf{e}_1, \mathbf{e}_2, \mathbf{e}_3$ , — называются **параметрами Родрига–Гамильтона**. Задать движение тела (с точки зрения ориентации) — задать четыре скалярных функции  $\lambda_0(t), \lambda_1(t), \lambda_2(t), \lambda_3(t)$ .

Вернёмся к ситуации последовательных поворотов

$$\mathbf{i}_k \xrightarrow{\Lambda = \lambda_0 + \sum_{k=1}^3 \lambda_k \mathbf{i}_k} \mathbf{e}_k \xrightarrow{M = \mu_0 + \sum_{k=1}^3 \mu_k \mathbf{e}_k} \mathbf{n}_k.$$

Кватернион  $\Lambda$  определён в базисе  $\mathbf{i}_k$ , связанном с системой отсчёта, и в каждый момент времени задаёт положение подвижной системы — переносное движение. Кватернион  $M$  определён в базисе  $\mathbf{e}_k$ , связанном с подвижной системой, и в каждый момент времени задаёт относительное движение твёрдого тела (с точки зрения ориентации) — положение базиса  $\mathbf{n}_k$ , связанного с телом. Формула (28.2) даёт ответ на вопрос, как связать базисы  $\mathbf{i}_k$  и  $\mathbf{n}_k$ :  $N = M \circ \Lambda$ . Умножение затруднено, так как кватернионы  $\Lambda$  и  $M$  определены в разных базисах. Проделаем по формуле (28.6) переход в кватернионе  $M$  к базису  $\mathbf{i}_k$ :

$$\begin{aligned} N &= M \circ \Lambda = \left( \mu_0 + \sum_{k=1}^3 \mu_k \mathbf{e}_k \right) \circ \Lambda = \left( \mu_0 + \sum_{k=1}^3 \mu_k \Lambda \circ \mathbf{i}_k \circ \tilde{\Lambda} \right) \circ \Lambda = \\ &= \Lambda \circ \overbrace{\left( \mu_0 + \sum_{k=1}^3 \mu_k \mathbf{i}_k \right)}^{M^*} \circ \underbrace{\tilde{\Lambda} \circ \Lambda}_{1} = \Lambda \circ M^*. \end{aligned}$$

Кватернион  $M^*$  называется **собственным кватернионом** по отношению к  $M$

$$M = \mu_0 + \sum_{k=1}^3 \mu_k \mathbf{e}_k, \quad M^* = \mu_0 + \sum_{k=1}^3 \mu_k \mathbf{i}_k \quad (28.9)$$

— коэффициенты разложения по базису  $\mathbf{e}_k$  приписываются исходному базису  $\mathbf{i}_k$ . По индукции полученная формула доказывается в общем случае:  $n$  последовательных переходов от базису к базису:

$$\mathbf{i}_k \xrightarrow{\Lambda_1} \cdots \xrightarrow{\Lambda_n} \mathbf{n}_k$$

заменяются одним

$$\mathbf{i}_k \xrightarrow{N} \mathbf{n}_k,$$

заданным при помощи (28.1) кватернионом

$$N = \Lambda_1^* \circ \cdots \circ \Lambda_n^*. \quad (28.10)$$

Обращаем внимание, что “творцы”  $\Lambda_1, \dots, \Lambda_n$  переходов в отличие от (28.2) расположены в формуле (28.9) в том же порядке, что и в последовательности переходов, и каждый собственный кватернион  $\Lambda_j^* = \lambda_{0j} + \sum_{k=1}^3 \lambda_{kj} \mathbf{i}_k$  представлен разложением по одному и тому же исходному базису  $\mathbf{i}_1, \mathbf{i}_2, \mathbf{i}_3$ .

## § 29. КИНЕМАТИЧЕСКИЕ УРАВНЕНИЯ В ПАРАМЕТРАХ РОДРИГА–ГАМИЛЬТОНА

Твёрдое тело меняет ориентацию, то есть, параметры Родрига–Гамильтона  $\lambda_0(t)$ ,  $\lambda_1(t)$ ,  $\lambda_2(t)$ ,  $\lambda_3(t)$  и нормированный кватернион  $\Lambda(t)$  — функции времени  $t$ . Дифференцирование по  $t$  условия нормированности  $\Lambda \circ \tilde{\Lambda} = 1$  (см. (27.15)) приводит к соотношению  $\dot{\Lambda} \circ \tilde{\Lambda} + \Lambda \circ \dot{\tilde{\Lambda}} = 0$ , из которого следует  $\dot{\Lambda} \circ \tilde{\Lambda} = -\Lambda \circ \dot{\tilde{\Lambda}} = -\tilde{\Lambda} \circ \dot{\Lambda}$ . Таким образом, кватернион  $\dot{\Lambda} \circ \tilde{\Lambda}$  в силу соотношения (27.10) является вектором:

$$\mathbf{b} = \dot{\Lambda} \circ \tilde{\Lambda} = -\Lambda \circ \dot{\tilde{\Lambda}}. \quad (29.1)$$

Продифференцируем по времени  $t$  связь (28.6) между базисами:

$$\begin{aligned} \dot{\mathbf{e}}_k &= \dot{\Lambda} \circ \mathbf{i}_k \circ \tilde{\Lambda} + \Lambda \circ \dot{\mathbf{i}}_k \circ \dot{\tilde{\Lambda}} \stackrel{(28.7)}{=} \underbrace{\dot{\Lambda} \circ \tilde{\Lambda}}_{\mathbf{b}} \circ \mathbf{e}_k \circ \underbrace{\Lambda \circ \tilde{\Lambda}}_1 + \underbrace{\Lambda \circ \tilde{\Lambda}}_1 \circ \mathbf{e}_k \circ \underbrace{\dot{\Lambda} \circ \tilde{\Lambda}}_{-\mathbf{b}} = \\ &= \mathbf{b} \circ \mathbf{e}_k - \mathbf{e}_k \circ \mathbf{b} \stackrel{(27.4)}{=} 2[\mathbf{b}, \mathbf{e}_k] = [2\mathbf{b}, \mathbf{e}_k]. \end{aligned} \quad (29.2)$$

Лемма 4.1 утверждает, что существует единственный вектор  $\boldsymbol{\omega}$  угловой скорости такой, что выполняется  $\dot{\mathbf{e}}_k = [\boldsymbol{\omega}, \mathbf{e}_k]$ . Сравнение этой формулы с (29.2) приводит к выводу, что, если ориентация твёрдого тела задана кватернионом  $\Lambda(t)$ , то для угловой скорости выполняется (см. (29.1))

$$\boldsymbol{\omega} = 2\mathbf{b} = 2\dot{\Lambda} \circ \tilde{\Lambda} = -2\Lambda \circ \dot{\tilde{\Lambda}}. \quad (29.3)$$

Если воспользоваться для нормированного кватерниона  $\Lambda(t)$  представлением (27.17) и подставить в (29.3)

$$\dot{\Lambda} = \frac{1}{2}\dot{\varphi} \left( -\sin \frac{\varphi}{2} + \mathbf{e} \cos \frac{\varphi}{2} \right) + \dot{\mathbf{e}} \sin \frac{\varphi}{2}, \quad \tilde{\Lambda} = \cos \frac{\varphi}{2} - \mathbf{e} \sin \frac{\varphi}{2},$$

получим для угловой скорости следующие разложение по ортогональному подвижному базису:

$$\boldsymbol{\omega} = \mathbf{e}\dot{\varphi} + \dot{\mathbf{e}} \sin \varphi + [\mathbf{e}, \dot{\mathbf{e}}](1 - \cos \varphi),$$

в частности, если в рассматриваемый момент времени выполняется  $\varphi = 0$ , приходим к дохоччивой школьной формуле  $\boldsymbol{\omega} = \dot{\varphi}\mathbf{e}$ .

Умножив формулу (29.3) справа на  $\Lambda(t)$ , придём с учётом нормированности (27.15) кватерниона  $\Lambda(t)$  к кинематическому уравнению

$$\dot{\Lambda} = \frac{1}{2}\boldsymbol{\omega} \circ \Lambda. \quad (29.3)$$

В приложениях удобно задавать угловую скорость  $\boldsymbol{\omega}$  разложением по базису, связанному с телом (см. (26.7)):

$$\boldsymbol{\omega} = p\mathbf{e}_1 + q\mathbf{e}_2 + r\mathbf{e}_3.$$

Угловой скорости как кватерниону соответствует собственный кватернион (см. (28.9))

$$\boldsymbol{\omega}^* = p\mathbf{i}_1 + q\mathbf{i}_2 + r\mathbf{i}_3,$$

с использованием которого уравнение (29.3) примет вид (см. (28.10))

$$\dot{\Lambda} = \frac{1}{2}\Lambda \circ \boldsymbol{\omega}^* \quad (29.4)$$

или в подробной записи

$$\dot{\lambda}_0 + \sum_{k=1}^3 \dot{\lambda}_k \mathbf{i}_k = \frac{1}{2}(\lambda_0 + \sum_{k=1}^3 \lambda_k \mathbf{i}_k) \circ (p\mathbf{i}_1 + q\mathbf{i}_2 + r\mathbf{i}_3).$$

Умножение кватернионов и покомпонентное приравнивание коэффициентов приводит к кинематическим уравнениям в параметрах Родрига–Гамильтона

$$\begin{pmatrix} \dot{\lambda}_0 \\ \dot{\lambda}_1 \\ \dot{\lambda}_2 \\ \dot{\lambda}_3 \end{pmatrix} = \frac{1}{2} \begin{pmatrix} 0 & -p & -q & -r \\ p & 0 & r & -q \\ q & -r & 0 & p \\ r & q & -p & 0 \end{pmatrix} \begin{pmatrix} \lambda_0 \\ \lambda_1 \\ \lambda_2 \\ \lambda_3 \end{pmatrix}. \quad (29.5)$$

Для элементов кососимметрической квадратной матрицы в правой части далее будут выведены динамические уравнения Эйлера, которые в совокупности с (29.5) составят замкнутую систему для нахождения в каждый момент времени параметров Родрига–Гамильтона — ориентации тела.

# ГЛАВА 9

## ДИНАМИКА ТВЁРДОГО ТЕЛА

### § 30. ГЕОМЕТРИЯ МАСС

Инертность материальной точки определяет масса: чем больше масса, тем меньшее ускорение вызовет у точки одна и та же сила. У твёрдого тела мерой инертности является момент инерции тела относительно оси. Так как осей много, то и множество моментов инерции весьма многообразно. В настоящем параграфе даётся ответ на вопрос: какой минимальной информацией о теле требуется располагать и как этой информацией распорядиться, чтобы вычислить момент инерции относительно произвольной оси (ответ в конце параграфа).

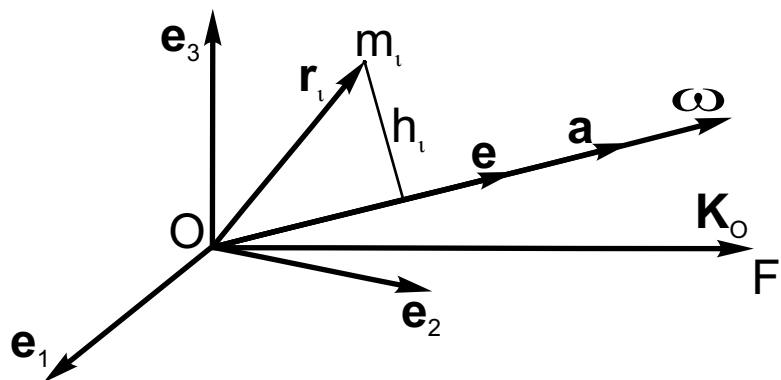


Рис. 30.1

Сначала решим этот вопрос для любой оси, проходящей через фиксированную точку  $O$  (рис. 30.1). Связем с телом ортонормированный базис  $e_1, e_2, e_3$ , начало которого в точке  $O$ . Ось сориентируем ортом  $e$ , расположенным на оси. Орт  $e$  зададим коэффициентами  $\alpha_k$  разложения  $e = \sum_{k=1}^3 \alpha_k e_k$  по базису  $e_1, e_2, e_3$ . Коэффициенты  $\alpha_k = (e, e_k) = \cos\{\widehat{e}, \widehat{e}_k\}$  называются направляющими косинусами, для них выполняется

$$\sum_{k=1}^3 \alpha_k^2 = (e, e) = 1. \quad (30.1)$$

**Момент инерции**  $I_e$  тела относительно оси  $e$  определяет формула

$$I_e = \sum_i m_i h_i^2, \quad (30.2)$$

где  $m_i$  — масса частицы тела,  $h_i$  — расстояние частицы до оси  $\mathbf{e}$  (рис. 30.1). Положение частицы в теле определим радиус-вектором  $\mathbf{r}_i = \sum_{k=1}^3 x_{ik} \mathbf{e}_k$ . По теореме Пифагора справедливо равенство  $h_i^2 = r_i^2 - (\mathbf{r}_i, \mathbf{e})^2$  (рис. 30.1), с учётом которого и следствия  $1 - \alpha_1^2 = \alpha_2^2 + \alpha_3^2$ ,  $1 - \alpha_2^2 = \alpha_1^2 + \alpha_3^2$ ,  $1 - \alpha_3^2 = \alpha_1^2 + \alpha_2^2$  из (30.1) для момента инерции (30.2) выполняется

$$\begin{aligned} I_{\mathbf{e}} &= \sum_i m_i h_i^2 = \sum_i m_i \{r_i^2 - (\mathbf{r}_i, \mathbf{e})^2\} = \\ &= \sum_i m_i \{(x_{i1}^2 + x_{i2}^2 + x_{i3}^2) - (x_{i1}\alpha_1 + x_{i2}\alpha_2 + x_{i3}\alpha_3)^2\} = \\ &= \alpha_1^2 \sum_i m_i (x_{i2}^2 + x_{i3}^2) + \alpha_2^2 \sum_i m_i (x_{i1}^2 + x_{i3}^2) + \alpha_3^2 \sum_i m_i (x_{i1}^2 + x_{i2}^2) - \\ &\quad - 2\alpha_1\alpha_2 \sum_i m_i x_{i1}x_{i2} - 2\alpha_1\alpha_3 \sum_i m_i x_{i1}x_{i3} - 2\alpha_2\alpha_3 \sum_i m_i x_{i2}x_{i3}. \end{aligned}$$

После введения обозначений для моментов инерции относительно базисных осей  $\mathbf{e}_k$ , связанных с телом:

$$I_1 = \sum_i m_i (x_{i2}^2 + x_{i3}^2), \quad I_2 = \sum_i m_i (x_{i1}^2 + x_{i3}^2), \quad I_3 = \sum_i m_i (x_{i1}^2 + x_{i2}^2), \quad (30.3)$$

— и центробежных моментов инерции:

$$\begin{aligned} I_{12} &= I_{21} = \sum_i m_i x_{i1}x_{i2}, & I_{13} &= I_{31} = \sum_i m_i x_{i1}x_{i3}, \\ I_{23} &= I_{32} = \sum_i m_i x_{i2}x_{i3}, \end{aligned} \quad (30.4)$$

— получим формулу для момента инерции твёрдого тела относительно произвольной оси, заданной ортом  $\mathbf{e} = \sum_{k=1}^3 \alpha_k \mathbf{e}_k$ :

$$I_{\mathbf{e}} = \sum_{k=1}^3 I_k \alpha_k^2 - 2 \sum_{k < l} I_{kl} \alpha_k \alpha_l. \quad (30.5)$$

Если к некоторому объекту относимся как к матрице, то будем обозначать его следующим образом

$$\check{\alpha} = \begin{pmatrix} \alpha_1 \\ \alpha_2 \\ \alpha_3 \end{pmatrix} \quad (30.6)$$

со всеми вытекающим из этого матричными последствиями, например:

$$\check{\alpha}^T = (\alpha_1 \alpha_2 \alpha_3), \quad \check{\alpha}^T \check{\alpha} = \alpha_1^2 + \alpha_2^2 + \alpha_3^2, \quad \check{\alpha} \check{\alpha}^T = \begin{pmatrix} \alpha_1^2 & \alpha_1\alpha_2 & \alpha_1\alpha_3 \\ \alpha_2\alpha_1 & \alpha_2^2 & \alpha_2\alpha_3 \\ \alpha_3\alpha_1 & \alpha_3\alpha_2 & \alpha_3^2 \end{pmatrix}.$$

Введём симметричную в силу (30.4) матрицу

$$\check{I} = \begin{pmatrix} I_1 & -I_{12} & -I_{13} \\ -I_{21} & I_2 & -I_{23} \\ -I_{31} & -I_{32} & I_3 \end{pmatrix} \quad (30.7)$$

квадратичной формы (30.5) — **тензор инерции**. Тогда формулу для момента инерции твёрдого тела относительно произвольной оси, заданной ортом  $\mathbf{e} = \sum_{k=1}^3 \alpha_k \mathbf{e}_k$  можно, используя обозначения (30.6), (30.7), записать следующим компактным образом:

$$I_{\mathbf{e}} = \ddot{\alpha}^T \check{I} \ddot{\alpha}. \quad (30.8)$$

Моменты инерции относительно всевозможных осей, проходящих через точку  $O$  тела, наглядно изображаются при помощи **эллипсоида инерции**. Конкретную ось зададим не ортом  $\mathbf{e}$ , а вектором  $\mathbf{a} = \mathbf{e}/\sqrt{I}$ , где  $I$  — момент инерции относительно этой оси (рис. 30.1). Более подробно (с учётом  $\mathbf{e} = \sum_{k=1}^3 \alpha_k \mathbf{e}_k$ ):

$$\mathbf{a} = \frac{\mathbf{e}}{\sqrt{I}} = \sum_{k=1}^3 \frac{\alpha_k}{\sqrt{I}} \mathbf{e}_k = \sum_{k=1}^3 y_k \mathbf{e}_k, \quad y_k = \frac{\alpha_k}{\sqrt{I}}. \quad (30.9)$$

Заменим в соответствии с (30.9) переменные  $\alpha_k$  в (30.5) на переменные  $y_k$ . После сокращения на  $I$  получим уравнение, которому должны удовлетворять координаты  $y_k$  конечной точки вектора  $\mathbf{a}$ :

$$1 = \sum_{k=1}^3 I_{kl} y_k^2 - 2 \sum_{k < l} I_{kl} y_k y_l, \quad (30.10)$$

— уравнение поверхности второго порядка.

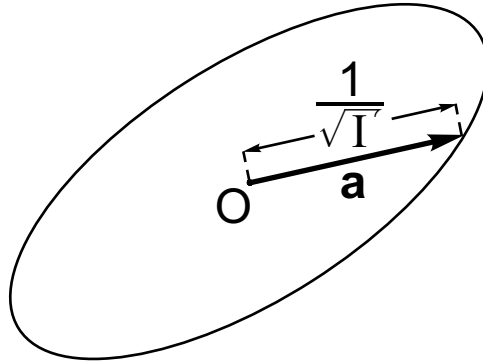


Рис. 30.2

По построению поверхность должна быть ограниченной ( $I > 0$ ,  $1/\sqrt{I} < \infty$ ), а единственной такой поверхностью второго порядка является эллипсоид [3, главы III, IX]. Таким образом, если на каждой оси, проходящей через точку  $O$ , отложить (в обе стороны) отрезок величиной  $1/\sqrt{I}$ , то конечные точки таких отрезков расположатся на поверхности эллипсоида с центром в точке  $O$  — эллипсоида инерции (рис. 30.2). Обратно: если для точки  $O$  известен эллипсоид инерции, то для нахождения момента инерции  $I$  вокруг конкретной оси нужно измерить длину отрезка, начальная точка которого  $O$ , конечная — точка пересечения оси с эллипсоидом. Измеренная длина равна  $1/\sqrt{I}$ .

Выбором связанного с телом и с началом в точке  $O$  ортонормированного базиса  $\mathbf{e}_1, \mathbf{e}_2, \mathbf{e}_3$ , уравнение (30.10) можно упростить — привести к каноническому виду [3, главы III, IX]:

$$\sum_{k=1}^3 I_k y_k^2 = 1, \quad (30.11)$$

орты  $\mathbf{e}_1, \mathbf{e}_2, \mathbf{e}_3$  направлены по осям симметрии эллипсоида инерции. Возврат в (30.11) к координатам  $\alpha_k$  орта  $\mathbf{e}$  (см. (30.9)) приводит к формуле

$$I_{\mathbf{e}} = \sum_{k=1}^3 I_k \alpha_k^2, \quad (30.12)$$

сравнение которой с общей формулой (30.5) приводит к выводу, что, если орты  $\mathbf{e}_1, \mathbf{e}_2, \mathbf{e}_3$  базиса направлены по осям симметрии эллипсоида инерции, то все центробежные моменты инерции (30.4) равны нулю. Верно и обратное: если в некотором базисе все центробежные моменты инерции (30.4) равны нулю, то возврат от формулы (30.12) к формуле (30.11) приводит к выводу, что орты базиса сориентированы по осям симметрии эллипсоида инерции.

**Определение 30.1.** Оси симметрии эллипсоида инерции в точке  $O$  называются **главными осями инерции** в точке  $O$ . Эквивалентное определение: **главные оси инерции** — это когда в ортонормированном базисе, ориентированном по этим осям, все центробежные моменты инерции (30.4) равны нулю. Ось (одна ось), ориентированная по орту  $\mathbf{e}_3$ , называется **главной осью инерции** в точке  $O$ , если она есть ось симметрии эллипсоида инерции или при любом выборе двух других осей выполняется  $I_{13} = 0, I_{23} = 0$ . Одна  $\mathbf{e}_3$  из трёх главных осей инерции называется **осью динамической симметрии** в точке  $O$ , если эллипсоид инерции в точке  $O$  есть эллипсоид вращения вокруг этой оси, то есть, для моментов инерции вокруг двух других главных осей выполняется  $I_1 = I_2$ . Плоскость, перпендикулярная в точке  $O$  осью динамической симметрии, называется **экваториальной плоскостью**. Главные оси инерции в центре масс  $C$  тела называются **главными центральными осями инерции**.

**Теорема 30.1 (Х. Гюйгенс, Я. Штейнер).** Моменты инерции  $I, I_C$  относительно параллельных осей, одна из которых проходит через центр масс  $C$  тела,

связаны формулой

$$I = I_C + md^2, \quad (30.13)$$

где  $m$  — масса тела,  $d$  — расстояние между осями.

□ Для удобства вычислений выберем в центре масс  $C$  базис  $\mathbf{e}_1, \mathbf{e}_2, \mathbf{e}_3$  так, что орт  $\mathbf{e}_3$  направлен по оси, проходящей через  $C$ , а орт  $\mathbf{e}_2$  пересекается с другой осью. Тогда для расстояния  $h_i$  от частицы тела  $\mathbf{r}_i = \sum_{k=1}^3 x_{ik}\mathbf{e}_k$  до другой оси выполняется  $h_i^2 = x_{i1}^2 + (x_{i2} - d)^2$ , что приводит к доказываемому результату (30.13):

$$\begin{aligned} I &= \sum_i m_i h_i^2 = \sum_i m_i \{x_{i1}^2 + (x_{i2} - d)^2\} = \\ &= \sum_i m_i (x_{i1}^2 + x_{i2}^2) + \sum_i m_i d^2 - 2 \sum_i m_i x_{i2} d = I_C + md^2. \end{aligned}$$

Последняя сумма равна нулю, так как в центре масс все координаты равны нулю:  $\sum_i m_i x_{i2} = mx_{C2} = 0$ . ■

Окончательно: для вычисления момента инерции твёрдого тела относительно произвольной оси, проходящей через точку  $O$ , требуется знать или тензор инерции (30.7) в точке  $O$  (момент инерции вычисляется по формуле (30.8)) или главные оси инерции в точке  $O$  и моменты инерции вокруг них (момент инерции вычисляется по формуле (30.12)). Для вычисления момента инерции твёрдого тела относительно произвольной оси требуется знать главные центральные оси инерции и моменты инерции вокруг них. По формуле (30.12) находится момент инерции относительно параллельной оси, проходящей через центр масс, а по теореме 30.1 желаемый результат.

## § 31. КИНЕТИЧЕСКАЯ ЭНЕРГИЯ И КИНЕТИЧЕСКИЙ МОМЕНТ ПРИ ДВИЖЕНИИ ТВЁРДОГО ТЕЛА С НЕПОДВИЖНОЙ ТОЧКОЙ

Твёрдое тело совершает движение с неподвижной точкой  $O$  (рис. 30.1). По следствию из теоремы 4.1 скорости точек  $\mathbf{r}_i$  тела выражаются через угловую скорость  $\boldsymbol{\omega}$  по формуле (4.11):  $\mathbf{V}_i = [\boldsymbol{\omega}, \mathbf{r}_i]$ . Величины скоростей равны  $V_i = h_i \omega$  (рис. 30.1). Предполагаем, что орт  $\mathbf{e} = \sum_{k=1}^3 \alpha_k \mathbf{e}_k$  совпадает по направлению, как показано на рис. 30.1, с вектором угловой скорости  $\boldsymbol{\omega}$ , то есть, выполняется:

$$\boldsymbol{\omega} = \omega \mathbf{e} = \omega \sum_{k=1}^3 \alpha_k \mathbf{e}_k = \sum_{k=1}^3 \omega_k \mathbf{e}_k, \quad \omega_k = \omega \alpha_k. \quad (31.1)$$

С использованием формул (30.2) и (30.5) для момента инерции и определения (18.1) кинетической энергии  $T$  получим выражение

$$T = \frac{1}{2} \sum_i m_i V_i^2 = \frac{1}{2} \left( \sum_i m_i h_i^2 \right) \omega^2 = \frac{1}{2} I_\omega \omega^2 = \frac{1}{2} \left( \sum_{k=1}^3 I_k \alpha_k^2 - 2 \sum_{k < l} I_{kl} \alpha_k \alpha_l \right) \omega^2,$$

и с учётом соотношения (31.1) формулу

$$T = \frac{1}{2} \sum_{k=1}^3 I_k \omega_k^2 - \sum_{k < l} I_{kl} \omega_k \omega_l, \quad (31.2)$$

которая содержит элементы  $I_k$ ,  $I_{kl}$  тензора инерции (30.7) для конкретного ортонормированного базиса  $\mathbf{e}_1$ ,  $\mathbf{e}_2$ ,  $\mathbf{e}_3$ , связанного с телом, и проекции  $\omega_1$ ,  $\omega_2$ ,  $\omega_3$  угловой скорости  $\boldsymbol{\omega}$  на орты этого базиса. Если угловой скорости придать статус матрицы (см. (30.6))

$$\check{\boldsymbol{\omega}} = \begin{pmatrix} \omega_1 \\ \omega_2 \\ \omega_3 \end{pmatrix} \quad (31.3)$$

и использовать тензор инерции (30.7), то формулу (31.2) можно записать компактно

$$T = \frac{1}{2} \check{\boldsymbol{\omega}}^T \check{I} \check{\boldsymbol{\omega}}. \quad (31.4)$$

В случае, когда орты  $\mathbf{e}_1$ ,  $\mathbf{e}_2$ ,  $\mathbf{e}_3$  базиса направлены по главным осям инерции (определение 30.1), приняты обозначения для моментов инерций относительно этих осей

$$I_1 = A, \quad I_2 = B, \quad I_3 = C \quad (31.5)$$

и для проекций угловой скорости на эти оси

$$\omega_1 = p, \quad \omega_2 = q, \quad \omega_3 = r. \quad (31.6)$$

В таких обозначениях формула (31.2) для кинетической энергии принимает вид

$$T = \frac{1}{2} (Ap^2 + Bq^2 + Cr^2). \quad (31.7)$$

Для кинетического момента (момента импульса, момента количества движения) при движении тела с неподвижной точкой ( $\mathbf{V}_i = [\boldsymbol{\omega}, \mathbf{r}_i]$ ) по формуле (17.1) имеем результат

$$\mathbf{K}_O = \sum_i [\mathbf{r}_i, m_i \mathbf{V}_i] = \sum_i m_i [\mathbf{r}_i, [\boldsymbol{\omega}, \mathbf{r}_i]] = \sum_i m_i \{ \boldsymbol{\omega}(\mathbf{r}_i, \mathbf{r}_i) - \mathbf{r}_i(\mathbf{r}_i, \boldsymbol{\omega}) \}.$$

С использованием разложений  $\boldsymbol{\omega} = \sum_{k=1}^3 \omega_k \mathbf{e}_k$ ,  $\mathbf{r}_i = \sum_{k=1}^3 x_{ik} \mathbf{e}_k$  и формул (30.3), (30.4) спроектируем вектор  $\mathbf{K}_O$  на направление орта  $\mathbf{e}_1$ :

$$\begin{aligned} K_1 &= (\mathbf{K}_O, \mathbf{e}_1) = \sum_i m_i \{ \omega_1(x_{i1}^2 + x_{i2}^2 + x_{i3}^2) - x_{i1}(x_{i1}\omega_1 + x_{i2}\omega_2 + x_{i3}\omega_3) \} = \\ &= \omega_1 \sum_i m_i (x_{i2}^2 + x_{i3}^2) - \omega_2 \sum_i m_i x_{i1} x_{i2} - \omega_3 \sum_i m_i x_{i1} x_{i3} = I_1\omega_1 - I_{12}\omega_2 - I_{13}\omega_3. \end{aligned}$$

“Сконструировав” циклическими перестановками индексов две другие проекции, получим коэффициенты  $K_j$  разложения  $\mathbf{K}_O = \sum_{j=1}^3 K_j \mathbf{e}_j$  кинетического момента по ортам ортонормированного базиса, связанного с телом:

$$\begin{aligned} K_1 &= I_1\omega_1 - I_{12}\omega_2 - I_{13}\omega_3, \\ K_2 &= I_2\omega_2 - I_{21}\omega_1 - I_{23}\omega_3, \\ K_3 &= I_3\omega_3 - I_{31}\omega_1 - I_{32}\omega_2. \end{aligned} \quad (31.8)$$

Если относиться к кинетическому моменту как к прямоугольной матрице

$$\check{\mathbf{K}}_O = \begin{pmatrix} K_1 \\ K_2 \\ K_3 \end{pmatrix}, \quad (31.9)$$

то с использованием матриц (30.7), (31.3), (31.9) результат (31.8) можно записать в следующем виде:

$$\check{\mathbf{K}}_O = \check{\mathbf{I}}\check{\boldsymbol{\omega}}. \quad (31.10)$$

Сравнение формул (31.2) и (31.8) приводит ещё к одному, скорее курьёзному результату:

$$K_j = \frac{\partial T}{\partial \omega_j}.$$

Если орты  $\mathbf{e}_1, \mathbf{e}_2, \mathbf{e}_3$  базиса направлены по главным осям инерции (определение 30.1), то в принятых обозначениях для моментов инерций (31.5) относительно этих осей и для проекций угловой скорости (31.6) на эти оси коэффициенты

$K_j$  разложения  $\mathbf{K}_O = \sum_{j=1}^3 K_j \mathbf{e}_j$  кинетического момента в соответствии с (31.8) примут следующий вид:

$$K_1 = Ap, \quad K_2 = Bq, \quad K_3 = Cr. \quad (31.11)$$

Для ответа на вопрос: когда векторы угловой скорости  $\boldsymbol{\omega}$  и кинетического момента  $\mathbf{K}_O$  коллинеарны (рис. 30.1), вычислим их векторное произведение в главных осях инерции:

$$[\boldsymbol{\omega}, \mathbf{K}_O] = \begin{vmatrix} \mathbf{e}_1 & \mathbf{e}_2 & \mathbf{e}_3 \\ p & q & r \\ Ap & Bq & Cr \end{vmatrix} = (C - B)qr\mathbf{e}_1 + (A - C)pr\mathbf{e}_2 + (B - A)pq\mathbf{e}_3. \quad (31.12)$$

Результат вычислений приводит к выводу:

$$\{\boldsymbol{\omega} \parallel \mathbf{K}_O\} \Leftrightarrow \{\boldsymbol{\omega} \in (\text{главная ось инерции}), \text{например, } q = 0, r = 0\}. \quad (31.13)$$

## § 32. ДИНАМИЧЕСКИЕ УРАВНЕНИЯ ЭЙЛЕРА

Твёрдое тело совершает движение с неподвижной точкой  $O$  (рис. 30.1). Предполагаем, что в точке  $O$  задан связанный с телом ортонормированный базис  $\mathbf{e}_1, \mathbf{e}_2, \mathbf{e}_3$ , каждый орт которого направлен по главной оси инерции (определение 30.1). Динамические уравнения должны связать кинематические характеристики тела и характеристики внешнего воздействия на него. В основу этой связи положим закон изменения момента импульса (кинетического момента) (17.4):

$$\mathbf{V}_F = \frac{d\mathbf{K}_O}{dt} = \mathbf{M}_O = \sum_{k=1}^3 M_k \mathbf{e}_k. \quad (32.1)$$

Производную от кинетического момента в (32.1) вычислим по теореме Резаля (теорема 1.1) как скорость  $\mathbf{V}_F$  конечной точки  $F$  вектора  $\mathbf{K}_O$  (рис. 30.1). Точка  $F$  совершает сложное движение (§ 7). В подвижной системе  $\mathbf{e}_1, \mathbf{e}_2, \mathbf{e}_3$  в декартовых координатах (§ 2) определено (31.11) её относительное движение. По координатам вычисляется относительная скорость точки  $F$ :

$$\mathbf{V}_F^{oth} = A\dot{p}\mathbf{e}_1 + B\dot{q}\mathbf{e}_2 + C\dot{r}\mathbf{e}_3. \quad (32.2)$$

В переносном движении точка  $F$  перемещается вместе с телом и имеет скорость  $\mathbf{V}_F^{nep} = [\boldsymbol{\omega}, \mathbf{K}_O]$ , разложение (31.12) которой по базису вычислено в предыдущем параграфе

$$\mathbf{V}_F^{nep} = [\boldsymbol{\omega}, \mathbf{K}_O] = (C - B)qr\mathbf{e}_1 + (A - C)pr\mathbf{e}_2 + (B - A)pq\mathbf{e}_3. \quad (32.3)$$

Для скорости точки в сложном движении выполняется  $\mathbf{V}_F = \mathbf{V}_F^{oth} + \mathbf{V}_F^{nep}$  (см. (7.7)). Проектируя с учётом этого соотношения и равенств (32.2), (32.3) уравнение (32.1) на главные оси инерции, приходим к **динамическим уравнениям Эйлера**:

$$\begin{aligned} A\dot{p} + (C - B)qr &= M_1, \\ B\dot{q} + (A - C)pr &= M_2, \\ C\dot{r} + (B - A)pq &= M_3. \end{aligned} \quad (32.4)$$

Так как проекции  $M_k$  главного момента  $\mathbf{M}_O$  внешних сил могут зависеть от положения тела, уравнения (32.4) в общем случае не являются замкнутыми. Требуется добавить кинематический уравнения: из введённых ранее — или уравнения Эйлера (26.9) или уравнения (29.5) в параметрах Родрига–Гамильтона. Например, с привлечением углов Эйлера замкнутая система уравнений (26.9), (32.4) для нахождения движения тела имеет следующий вид:

$$\begin{aligned} A\dot{p} + (C - B)qr &= M_1(t, \psi, \theta, \varphi, p, q, r), \\ B\dot{q} + (A - C)pr &= M_2(t, \psi, \theta, \varphi, p, q, r), \\ C\dot{r} + (B - A)pq &= M_3(t, \psi, \theta, \varphi, p, q, r), \\ \dot{\psi} &= (p \sin \varphi + q \cos \varphi) \frac{1}{\sin \theta}, \\ \dot{\theta} &= p \cos \varphi - q \sin \varphi, \\ \dot{\varphi} &= (p \sin \varphi + q \cos \varphi) \operatorname{ctg} \theta. \end{aligned} \quad (32.5)$$

Нелинейная система уравнений (32.5) трудно поддаётся аналитическому интегрированию. В частности, в однородном поле силы тяжести Земли известны три случая нахождения в квадратурах общего решения системы (32.5).

1. Случай Эйлера. Главный момент  $\mathbf{M}_O$  внешних сил равен нулю, например, в однородном поле силы тяжести закреплён центр масс. Случай Эйлера обсуждён в §§ 33, 34.

2. Случай Лагранжа. Тело обладает динамической симметрией (определение 30.1), на оси динамической симметрии расположен центр масс. В § 35 рассмотрена регулярная прецессия в случае Лагранжа..

3. Случай Ковалевской. Тело обладает динамической симметрией, для моментов инерции относительно главных осей выполняется  $A = B = 2C$ , центр масс расположен в экваториальной плоскости (определение 30.1). Случай Ковалевской в “Кратком курсе...” не рассматривается.

### § 33. СЛУЧАЙ ЭЙЛЕРА. РЕГУЛЯРНАЯ ПРЕЦЕССИЯ В СЛУЧАЕ ЭЙЛЕРА

Случай Эйлера предполагает, что главный момент (12.4) внешних сил относительно неподвижной точки  $O$  равен нулю:

$$\mathbf{M}_O = \sum_i [\mathbf{r}_i, \mathbf{F}_i] = 0. \quad (33.1)$$

Уравнения Эйлера (32.4) в этом случае принимают вид

$$\begin{aligned} A\dot{p} + (C - B)qr &= 0, \\ B\dot{q} + (A - C)pr &= 0, \\ C\dot{r} + (B - A)pq &= 0. \end{aligned} \quad (33.2)$$

Для элементарной работы  $\delta A$  внешних сил с учётом (33.1) и  $\mathbf{V}_i = \dot{\mathbf{r}}_i = [\boldsymbol{\omega}, \mathbf{r}_i]$  выполняется

$$\begin{aligned} \delta A &= \sum_i (\mathbf{F}_i, d\mathbf{r}_i) = \sum_i (\mathbf{F}_i, \mathbf{V}_i) dt = \sum_i (\mathbf{F}_i, [\boldsymbol{\omega}, \mathbf{r}_i]) dt = \\ &= \sum_i (\boldsymbol{\omega}, [\mathbf{r}_i, \mathbf{F}_i]) dt = (\boldsymbol{\omega}, \sum_i [\mathbf{r}_i, \mathbf{F}_i]) dt = (\boldsymbol{\omega}, \mathbf{M}_O) dt = 0 \end{aligned}$$

(в смешанном произведении сделана циклическая перестановка сомножителей). Таким образом, вследствие (33.1) сохраняются кинетическая энергия (см. (18.5) — (18.7)) и величина кинетического момента (см. (17.4)), что с использованием соотношений (31.7) и (31.11) запишется следующим образом [9, раздел первый, глава IV, § 15]:

$$\begin{aligned} Ap^2 + Bq^2 + Cr^2 &= 2T = \text{const}, \\ A^2p^2 + B^2q^2 + C^2r^2 &= K_O^2 = \text{const}. \end{aligned} \quad (33.3)$$

У твёрдого тела в случае Эйлера в зависимости от формы эллипсоида инерции в неподвижной точке возможны три варианта движения.

1.  $\mathbf{M}_O = 0, A = B = C$ . Эллипсоид инерции — сфера, любая ось — главная ось инерции. Из (33.1) и (31.13) следует:  $\mathbf{K}_O = A\boldsymbol{\omega} = \text{const}, \boldsymbol{\omega} = \mathbf{K}_O/A = \text{const}$ . Из (33.2) следует:  $p = \text{const}, q = \text{const}, r = \text{const}$ . Угловая скорость  $\boldsymbol{\omega}$  постоянна относительно системы отсчёта и относительно тела. Тело равномерно вращается вокруг неподвижной оси.

2.  $\mathbf{M}_O = 0, A = B \neq C$ . Эллипсоид инерции — эллипсоид вращения вокруг оси, соответствующей орту  $\mathbf{e}_3$ . Орт  $\mathbf{e}_3$  определяет ось динамической симметрии. Плоскость  $\{\mathbf{e}_1, \mathbf{e}_2\}$  — экваториальная плоскость (определение 30.1). Пусть телу в начале движения сообщена угловая скорость  $\boldsymbol{\omega}$  под углом  $\alpha$  к оси динамической симметрии (рис. 33.1).

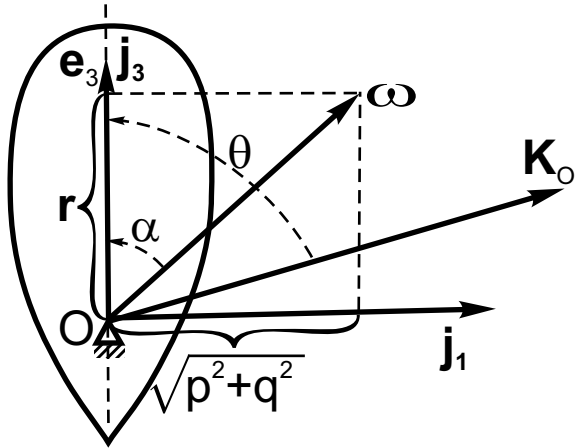


Рис. 33.1

Из третьего уравнения системы (33.2) следует, что проекция угловой скорости на ось динамической симметрии во время движения сохраняется:

$$r = \text{const.} \quad (33.4)$$

Из этого равенства и из законов сохранения (33.3) следует ещё один закон сохранения

$$p^2 + q^2 = \frac{1}{A}(2T - Cr^2) = \text{const.} \quad (33.5)$$

В совокупности равенства (33.4) и (33.5) влечут сохранение величины угловой скорости

$$\omega^2 = p^2 + q^2 + r^2 = \text{const} \quad (33.6)$$

и угла  $\alpha$  между угловой скоростью и осью динамической симметрии (рис 33.1)):

$$\operatorname{tg}\alpha = \frac{\sqrt{p^2 + q^2}}{r} = \text{const.} \quad (33.7)$$

Вычисление (31.11) кинетического момента  $\mathbf{K}_O$  приводит к выводу, что, во-первых, три вектора  $\mathbf{e}_3$ ,  $\boldsymbol{\omega}$  и  $\mathbf{K}_O$  лежат в одной плоскости [3, глава I, § 3]:

$$\begin{vmatrix} 0 & 0 & 1 \\ p & q & r \\ Ap & Bq & Cr \end{vmatrix} = (B - A)pq \stackrel{A=B}{=} 0, \quad (33.8)$$

во-вторых, угол  $\theta$  между векторами  $\mathbf{e}_3$  и  $\mathbf{K}_O$  во время движения не изменяется (рис. 33.1):

$$\operatorname{tg}\theta = \frac{A\sqrt{p^2 + q^2}}{Cr} = \text{const.} \quad (33.9)$$

Законы сохранения (33.6) — (33.9) приводят к выводу, что в начале движения образуется плоскость, в которой расположены орт  $\mathbf{e}_3$ , лежащий на оси динамической симметрии, угловая скорость  $\boldsymbol{\omega}$ , кинетический момент  $\mathbf{K}_O$  и орт  $\mathbf{j}_1$ , задающий линию пересечения указанной плоскости с экваториальной плоскостью (рис. 33.1, 33.2). При дальнейшем движении четыре упомянутых вектора продолжают находиться в одной плоскости, не изменяются ни по величине ни по взаимному расположению. Вектор  $\mathbf{K}_O$  вследствие (33.1) не изменяется в системе отсчёта, поэтому у плоскости  $\{\mathbf{e}_3, \boldsymbol{\omega}, \mathbf{K}_O, \mathbf{j}_1\}$  остаётся единственная возможность — вращаться вокруг вектора  $\mathbf{K}_O$ .

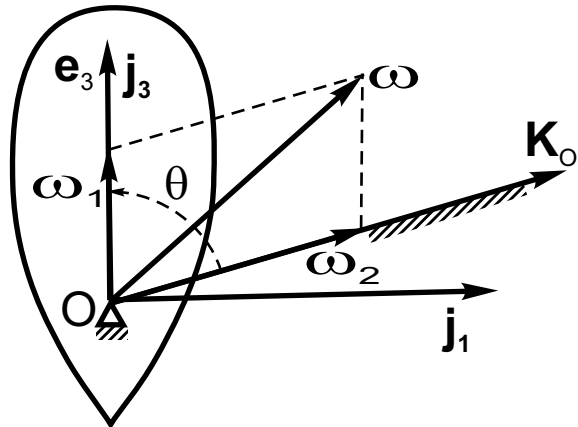


Рис. 33.2

Высказанные соображения дают возможность представить движение тела как сложное (§ 11). Связанная с плоскостью  $\{\mathbf{e}_3, \boldsymbol{\omega}, \mathbf{K}_O, \mathbf{j}_1\}$  подвижная система, определённая ортами  $\mathbf{j}_1, \mathbf{j}_2, \mathbf{j}_3$  (орт  $\mathbf{j}_2$  на рис. 33.2 опущен), вращается вокруг оси  $\mathbf{K}_O$  с угловой скоростью  $\boldsymbol{\omega}_2 = \boldsymbol{\omega}_{\text{пер}}$  (переносное движение), а тело в подвижной системе вращается вокруг своей оси динамической симметрии с угловой скоростью  $\boldsymbol{\omega}_1 = \boldsymbol{\omega}_{\text{отн}}$  (относительное движение). Угловые скорости  $\boldsymbol{\omega}_1, \boldsymbol{\omega}_2$  и  $\boldsymbol{\omega}$  связаны соотношением (9.4):  $\boldsymbol{\omega} = \boldsymbol{\omega}_1 + \boldsymbol{\omega}_2$  (рис 33.2).

Описанное движение является по определению 10.1 регулярной прецессии с параметрами: угловая скорость собственного вращения  $\boldsymbol{\omega}_1 = \boldsymbol{\omega}_{\text{отн}}$ , угловая скорость прецессии  $\boldsymbol{\omega}_2 = \boldsymbol{\omega}_{\text{пер}}$ , угол нутации  $\theta$ . Если орт  $\mathbf{i}_3$  в системе отсчёта связать с неподвижным вектором  $\mathbf{K}_O$ , а прочие орты  $\mathbf{i}_1, \mathbf{i}_2$  определить как-нибудь перпендикулярно  $\mathbf{i}_3$ , то роль орта  $\mathbf{n}$  на линии узлов будет играть опущенный на рис. 33.1, 33.2 орт  $\mathbf{j}_2$ . Углы Эйлера (рис. 26.1) связаны с параметрами  $\boldsymbol{\omega}_1, \boldsymbol{\omega}_2, \theta$  регулярной прецессии следующим образом:  $\omega_1 = \dot{\varphi}, \omega_2 = \dot{\psi}, \theta = \theta$ .

В заключение параграфа сформулируем

**Алгоритм вычисления параметров регулярной прецессии** в случае  $\mathbf{M}_O = 0, A = B \neq C$ .

1. По начальной угловой скорости  $\omega$  вычисляются её проекции  $p, q, r$  на главные оси инерции.

2. Вычисляются проекции  $Ap, Bq, Cr$  кинетического момента  $\mathbf{K}_O$  на главные оси инерции (рис. 33.1, 33.2).

3. Угол между кинетическим моментом  $\mathbf{K}_O$  и осью динамической симметрии с ортом  $\mathbf{e}_3$  — угол нутации  $\theta$  (рис. 33.1, 33.2).

4. Угловая скорость  $\omega$  раскладывается (не проектируется!) по двум направлениям:  $\mathbf{e}_3$  и  $\mathbf{K}_O$  (рис. 33.2). Составляющая  $\omega_1$  по направлению  $\mathbf{e}_3$  — угловая скорость собственного вращения, составляющая  $\omega_2$  по направлению  $\mathbf{K}_O$  — угловая скорость прецессии.

## § 34. СЛУЧАЙ ЭЙЛЕРА. ИНТЕРПРЕТАЦИЯ ПУАНСО

Рассмотрим общий случай формы эллипсоида инерции.

3.  $\mathbf{M}_O = 0$ ,  $A < B < C$ . Уравнения Эйлера (33.2) интегрируются в квадратурах. Представим законы сохранения (33.3) в виде:

$$\begin{aligned} Ap^2 + Bq^2 &= 2T - Cr^2, \\ A^2p^2 + B^2q^2 &= K_O^2 - C^2r^2. \end{aligned} \quad (34.1)$$

Система линейных уравнений (34.1) разрешима относительно  $p^2$ ,  $q^2$  ( $\Delta = AB(B - A) \neq 0$ ):  $p = f(r)$ ,  $q = h(r)$ . Подстановка полученных выражений в третье уравнение системы (33.2) приводит к уравнению

$$\frac{dr}{dt} = \frac{1}{C}(A - B)f(r)h(r) = F(r)$$

с разделяющимися переменными. После взятия интеграла находятся зависимости  $r(t)$  и  $p(t) = f(r(t))$ ,  $q(t) = h(r(t))$ . Но... Интеграл, во-первых, выражается не через элементарные функции, а через эллиптические функции Якоби, во-вторых, для понимания движения тела требуется решить после подстановки  $p(t)$ ,  $q(t)$ ,  $r(t)$  или кинематические уравнения Эйлера (последние три уравнения в (32.5)) или уравнения (29.5) в параметрах Родрига-Гамильтона (подробности в [10, глава VIII, § 2]. В динамике твёрдого тела ценятся геометрические интерпретации: на понятном языке о движении говорится и изображается то, о чём есть возможность сказать и что можно изобразить, а о том, о чём нельзя сказать понятно, — умалчивается. В настоящем параграфе для случая  $\mathbf{M}_O = 0$ ,  $A < B < C$  движения тела с неподвижной точкой  $O$  рассматривается

**Интерпретация Пуансо.** Тело представляется эллипсоидом инерции в неподвижной точке  $O$  (рис. 34.1).

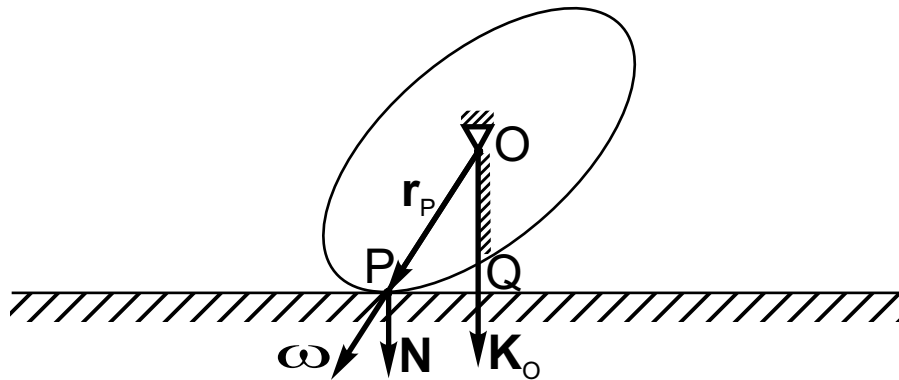


Рис. 34.1

Уравнение (30.11) эллипсоида в главных осях инерции запишем следующим образом

$$f(y) = Ay_1^2 + By_2^2 + Cy_3^2 - 1 = 0. \quad (34.2)$$

Точку пересечения эллипсоида угловой скоростью  $\omega$  обозначим  $P$ , а радиус-вектор, проведённый к ней  $\mathbf{r}_P$  (рис. 34.1). Отметим два обстоятельства:

$$\mathbf{V}_P = [\omega, \mathbf{r}_P] = 0, \quad \mathbf{r}_P = \lambda\omega, \quad (34.3)$$

то есть, для координат векторов  $\mathbf{r}_P$  и  $\omega$  выполняется  $y_1 = \lambda p$ ,  $y_2 = \lambda q$ ,  $y_3 = \lambda r$ . Подстановка в (34.2) с учётом (33.3)

$$Ay_1^2 + By_2^2 + Cy_3^2 - 1 = \lambda^2(Ap^2 + Bq^2 + Cr^2) - 1 = 2\lambda^2 T - 1 = 0$$

приводит к равенству

$$\lambda^2 = \frac{1}{2T} = \text{const.} \quad (34.4)$$

Нормаль  $\mathbf{N}$  к эллипсоиду в точке  $P$  представляется вектором (учтены равенства (34.2) и (31.11))

$$\mathbf{N} = \text{grad}f(y) = \left( \frac{\partial f}{\partial y_1}, \frac{\partial f}{\partial y_2}, \frac{\partial f}{\partial y_3} \right) = 2(Ap, Bq, Cr) = 2\mathbf{K}_O = \text{const}, \quad (34.5)$$

то есть, направление нормали в точке  $P$  пересечения угловой скоростью эллипсоида неизменно, а плоскость, касательная к эллипсоиду в точке  $P$ , перемещается параллельно сама себе. Для того, чтобы показать, что эта плоскость неподвижна, вычислим расстояние  $OQ$  от неподвижной точки  $O$  до плоскости (рис. 34.1, учтены соотношения (34.3), (34.4), (31.6), (31.7), (31.11)):

$$OQ = \left( \mathbf{r}_P, \frac{\mathbf{K}_O}{K_O} \right) = \frac{\lambda}{K_O}(Ap^2 + Bq^2 + Cr^2) = \frac{2\lambda T}{K_O} = \text{const.}$$

Геометрическая интерпретация Пуансо звучит и изображается так (рис. 34.1). В начале движения образуется плоскость, касательная к эллипсоиду инерции в точке пересечения эллипсоида начальной угловой скоростью. В дальнейшем плоскость занимает неизменное положение, а эллипсоид инерции с неподвижным центром  $O$  катается по ней без проскальзывания. О других деталях качения сказать понятно не можем.

## § 35. ВЫНУЖДЕННАЯ РЕГУЛЯРНАЯ ПРЕЦЕССИЯ ТЕЛА С ДИНАМИЧЕСКОЙ СИММЕТРИЕЙ. РЕГУЛЯРНАЯ ПРЕЦЕССИЯ В СЛУЧАЕ ЛАГРАНЖА

В случае Эйлера  $M_O = 0, A = B \neq C$  твёрдое тело при любых начальных условиях совершает регулярную прецессию. Такое движение называется свободной регулярной прецессией. В настоящем параграфе рассматривается вынужденная регулярная прецессия — под воздействием приложенного к телу момента. Предполагаем, что тело, обладающее в неподвижной точке  $O$  динамической симметрией ( $A = B \neq C$ ), совершает регулярную прецессию с заданными параметрами  $\omega_1, \omega_2$  и  $\theta$ , причём угловая скорость собственного вращения  $\omega_1$  располагается на оси динамической симметрии (рис. 35.1).

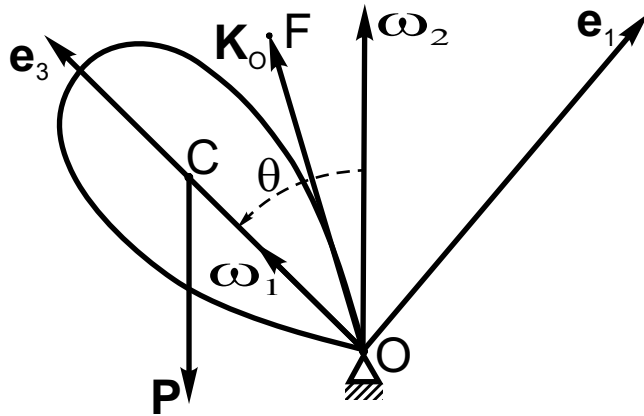


Рис. 35.1

Требуется вычислить момент, который нужно приложить к телу для поддержания регулярной прецессии.

Отложим на оси динамической симметрии орт  $e_3$ , на пересечении экваториальной плоскости (определение 30.1) с плоскостью  $\{\omega_1, \omega_2\}$  — орт  $e_1$  (рис. 35.1). Угловые скорости  $\omega_1, \omega_2, \omega = \omega_1 + \omega_2$  и кинетический момент  $K_O$  следующим образом раскладываются по введённым ортам (см. (31.6), (31.11)):

$$\omega_1 = \omega_1 e_3, \quad \omega_2 = \omega_2 (e_1 \sin \theta + e_3 \cos \theta),$$

$$\omega = \omega_1 + \omega_2 = p e_1 + q e_2 + r e_3 = \omega_2 e_1 \sin \theta + (\omega_1 + \omega_2 \cos \theta) e_3,$$

$$K_O = A p e_1 + B q e_2 + C r e_3 = A \omega_2 e_1 \sin \theta + C (\omega_1 + \omega_2 \cos \theta) e_3.$$

Потребный момент вычисляется по закону изменения момента импульса (кинетического момента) (17.4) с привлечением теоремы Резала (теорема 1.1):

$$M_O = \frac{dK_O}{dt} = V_F = [\omega_2, K_O] = -e_2 \omega_2 \{C \omega_1 + \omega_2 (C - A) \cos \theta\} \sin \theta. \quad (35.1)$$

Формула (35.1) допускает эквивалентное представление

$$\mathbf{M}_O = [\boldsymbol{\omega}_2, \boldsymbol{\omega}_1] \left\{ C + \frac{\omega_2}{\omega_1} (C - A) \cos \theta \right\}. \quad (35.2)$$

Применим выведенные формулы в случае Лагранжа (конец § 32). Центр масс  $C$  — точка приложения равнодействующей  $\mathbf{P}$  сил тяжести — расположен на оси динамической симметрии (рис. 35.1) на расстоянии  $OC = a$  от неподвижной точки  $O$ . Возможна ли в случае Лагранжа регулярная прецессия? Предполагаем, что угловая скорость прецессии  $\boldsymbol{\omega}_2$  направлена вертикальна вверх. Момент силы тяжести относительно неподвижной точки  $O$  равен (рис. 35.1)  $\mathbf{M}_O = -mga\mathbf{e}_2 \sin \theta$ . Подстановка его в формулу (35.1) и приравнивание величин векторов в обеих частях приводит к условию на параметры регулярной прецессии:

$$mga \sin \theta = \omega_2 \{C\omega_1 + \omega_2(C - A) \cos \theta\} \sin \theta.$$

Или выполняется  $\sin \theta = 0$ : вектор  $\overline{OC}$  вертикально вверх, вертикально вниз, на угловые скорости  $\omega_1, \omega_2$  ограничений нет. Или для угла нутации выполняется  $\sin \theta \neq 0$ , и параметры  $\omega_1, \omega_2, \theta$  удовлетворяют уравнению

$$\omega_2^2(C - A) \cos \theta + C\omega_1\omega_2 - mga = 0.$$

Отметим, что, если для параметров прецессии выполняется  $\omega_1 \gg \omega_2$  (типично для технических гироскопов), то формуле (35.2) можно придать упрощённый вид:

$$\mathbf{M}_O = C[\boldsymbol{\omega}_2, \boldsymbol{\omega}_1].$$

Эта формула кладётся в основу **элементарной теории гироскопа**.

## § 36. СВОБОДНОЕ ДВИЖЕНИЕ ТВЁРДОГО ТЕЛА

Твёрдое тело совершает движение в системе отсчёта под действием приложенных к нему сил. Движение центра масс  $C$  тела подчинено закону движения центра инерции (центра масс) (16.5):

$$m\mathbf{W}_C = \mathbf{R}$$

где  $\mathbf{R}$  — главный вектор (определение 12.3) приложенных к телу сил. Для определения ориентации тела вводится подвижная система Кёнига (определение 18.5): поступательная система с началом в центре масс  $C$  тела. Переход в подвижную систему требует приложения к каждой частице твёрдого тела сил инерции (15.3). Кориолисовы силы инерции равны нулю, так как система движется поступательно. Вследствие поступательного движения подвижной системы переносная сила инерции, приложенная к конкретной частице, равна  $-m_i\mathbf{W}_C$ . Вычислим главный момент переносных сил инерции относительно центра масс:

$$\mathbf{M}_C^{nep} = -\sum_i [\mathbf{r}_i, m_i\mathbf{W}_C] = -[\sum_i m_i\mathbf{r}_i, \mathbf{W}_C] = -[m\mathbf{r}_C, \mathbf{W}_C] = 0,$$

использовано определение 16.1 центра инерции (центра масс) и тот факт, что все радиус-векторы  $\mathbf{r}_i$ ,  $\mathbf{r}_C$  имеют своим началом центр масс  $C$  тела. Поведение тела в системе Кёнига есть движение тела с неподвижной точкой. Такое поведение описывается, например, системой (32.5), содержащей моменты относительно центра масс  $C$  приложенных к телу сил. Как было выяснено, силы инерции моментов не добавляют. Например, для тела, брошенного в однородном поле тяжести Земли, в системе Кёнига реализуется случай Эйлера. Тело с динамической симметрией в системе Кёнига будет прецессировать, к произвольному телу можно применить геометрическую интерпретацию Пуансо.

# Литература

- [1] Айзerman M.A. Классическая механика: Учебное пособие. — 2-е изд. перераб. — М.: Наука. Главная редакция физико-математической литературы, 1980. — 368 с.
- [2] Арнольд В.И., Козлов В.В., Нейштадт А.И. Математические аспекты классической и небесной механики. “Современные проблемы математики. Фундаментальные направления. Т. 3 (Итоги науки и техн. ВИНИТИ АН СССР)”. М., 1985. 5—304.
- [3] Беклемишев Д.В. Курс аналитической геометрии и линейной алгебры. — 5 изд., переработ. М.: Наука. Главная редакция физико-математической литературы, 1984. — 320 с.
- [4] Бранец В.Н., Шмыглевский И.П. Применение кватернионов в задачах ориентации твёрдого тела. — М.: Наука, 1973. — 320 с.
- [5] Голдстейн Г. Классическая механика. Главная редакция физико-математической литературы изд-ва “Наука”, 1975. 416 с.
- [6] Журавлёв В.Ф. Основы теоретической механики. Изд. 2-е перераб.—М.: Издательство Физико-математической литературы, 2001.—320 с.
- [7] Калужнин Л.А. Введение в общую алгебру. М.: Наука, 1973. 448 с.
- [8] Лурье А.И. Аналитическая механика. - М.: Физматгиз, 1961. 824 с.
- [9] Ляпунов А.М. Лекции по теоретической механике. — Киев, “Наукова думка”, 1982. — 632 с.
- [10] Маркеев А.П. Теоретическая механика: Учебник для университетов. — Ижевск: НИЦ “Регулярная и хаотическая динамика”, 2001. — 572 с.
- [11] Мещерский И.В. Задачи по теоретической механике: Учебное пособие. 40-е изд., стер./Под ред. В.А. Пальмова, Д.Р. Меркина. — СПб.: Издательство "Лань". 2003. — 448 с.

- [12] Пятницкий Е.С., Трухан Н.М., Ханукаев Ю.И., Яковенко Г.Н. Сборник задач по аналитической механике: Учеб. пособ.: Для вузов. — 3-е изд., перераб. и доп. — М.: ФИЗМАТЛИТ, 2002. — 400 с.
- [13] Тер-Крикоров А.М., Шабунин М.И. Курс математического анализа: Учеб. пособ. для вузов. — М.: Наука. Гл. ред. физ. мат. лит., 1988. — 816 с.
- [14] Четаев Н.Г. Теоретическая механика/Под ред. В.В. Румянцева, К.Е. Якимовой. — М.: Наука. Гл. ред. физ.-мат. лит., 1987. — 308 с.
- [15] Яковенко Г.Н. Краткий курс аналитической динамики — М.: БИНОМ. Лаборатория знаний, 2004. — 238 с.